



SOUHRNNÁ VÝZKUMNÁ ZPRÁVA

Zpráva k problematice hodnocení vztahu
expozice-odezva osob exponovaných
v životním prostředí hlukem z důlní činnosti



T A
Č R

Program **Prostředí pro život**

Souhrnná výzkumná zpráva

Zpráva k problematice hodnocení vztahu expozice-odezva osob exponovaných v životním prostředí hlukem z důlní činnosti



T A
Č R

Program **Prostředí pro život**

27.03.2025

Identifikační údaje

- **Evidenční číslo projektu**

SS05010044

- **Název projektu**

Metodika hodnocení vztahu expozice-odezva osob exponovaných v životním prostředí hlukem z důlní činnosti

- **Poskytovatel dotace**

Technologická agentura České republiky, Evropská 1692/37, 160 00 Praha

- **Příjemce dotace**

Zdravotní ústav se sídlem v Ostravě, Partyzánské nám. 2633/7, 702 00 Moravská Ostrava a Přívoz

Zastoupený: Ing. Eduardem Ježem, ředitelem

a

Ostravská univerzita, Lékařská fakulta, Dvořákova 138/7, 702 00 Moravská Ostrava a Přívoz

Zastoupená: doc. Mgr. Petrem Kopeckým, Ph.D., rektorem

- **Odpovědný řešitel**

Ing. Dana Potužníková, Ph.D.

Dana Potužníková

27.03.2025

- **Řešitelský tým**

Zdravotní ústav se sídlem v Ostravě

Ing. Dana Potužníková, Ph.D.

Ing. Tomáš Hellmuth, CSc.

Ing. David Kresl

Ing. Jiří Michalík, Ph.D.

Ing. Pavel Junek

Mgr. Ondřej Volf

Ing. Aleš Jiráska

Ing. Jiří Michal

Ing. Tomáš Peňáz, Ph.D.

Ostravská univerzita, Lékařská fakulta

doc. Ing. Hana Tomášková, Ph.D.

Mgr. Hana Šlachtová, Ph.D.

Mgr. Markéta Stanovská

- **Aplikační garanti projektu**

Zdravotní ústav se sídlem v Ostravě, Národní referenční laboratoř pro komunální hluk

Ministerstvo zdravotnictví

Ministerstvo životního prostředí

- **Celková doba řešení projektu**

01.03.2022 – 28.02.2025

- **Financování projektu**

Projekt SS5010044 Metodika hodnocení vztahu expozice-odezva osob exponovaných v životním prostředí hlukem z důlní činnosti byl spolufinancována se státní podporou Technologické agentury ČR v rámci Programu Prostředí pro život.

Obsah

| | |
|---|----|
| Identifikační údaje | 2 |
| Obsah..... | 4 |
| Souhrn | 5 |
| 1. Úvod..... | 6 |
| 2. Měření hluku v terénu | 8 |
| 2.1 Zdroje hluku | 9 |
| 2.2 Morfologie terénu..... | 11 |
| 2.3 Místa měření..... | 12 |
| 2.4 Použité přístroje a zařízení..... | 14 |
| 2.6 Vlastní měření..... | 22 |
| 3. Výsledky měření | 24 |
| 3.1 Dlouhodobý monitoring (dlouhodobá hluková zátěž) | 24 |
| 3.2 Krátkodobé měření hluku | 27 |
| 3.3 Meteorologické podmínky | 28 |
| 4. Prostorová interpretace naměřených dat hlukové zátěže v GIS | 30 |
| 4.1 Vytvoření modelu..... | 30 |
| 4.2 Zpřesnění modelu pro vlastní výpočet dotčené populace..... | 33 |
| 4.3 Podklad pro propojení dat z modelových výpočtů a dotazníků..... | 36 |
| 5. Socio-akustická studie | 38 |
| 6. Propojení výstupů socio-akustické studie a akustického modelu | 57 |
| 6.1 Analýzy vztahu výstupů socio-akustické studie a výsledků měření – prostorová interpretace dat 57 | |
| 6.2 Srovnání počtu osob s vysoce rušeným spánkem z exponované oblasti s odhady na základě standardní křivky ERF | 58 |
| 6.3 Doporučený postup pro odhad % HSD | 60 |
| 7. Výstupy projektu..... | 61 |
| 7.1 Hlavní výstupy/výsledky..... | 61 |
| 7.2 Prezentace a publikace nad rámec hlavních výstupů/výsledků | 61 |
| 8. Závěr | 64 |
| 9. Literatura | 65 |
| 10. Použité zkratky a označení | 66 |
| 11. Seznam obrázků a tabulek..... | 67 |
| 11.1 Seznam obrázků | 67 |
| 11.2 Seznam tabulek..... | 68 |
| Přílohy..... | 69 |

Souhrn

Předkládaná souhrnná výzkumná zpráva je komplexní zprávou o průběhu a výsledcích řešení projektu. Projekt byl zahájen v roce 2022 a ukončen v roce 2025. V rámci projektu byly získány akustické podklady (měření zdrojů hluku in situ), na jejichž základě byl vytvořen akustický model území pro následné modelování s ohledem na morfologii terénu a postupné změny hlučnosti v zájmovém území. Dále byly získány a vyhodnoceny informace z dotazníkových šetření v exponované populaci na základě dotazníku pro vytvoření metodiky posuzování hluku z důlní činnosti. Jednotlivé aktivity byly plněny dle harmonogramu. Problémem se v průběhu řešení stalo naplnění výzkumné nejistoty, která byla v návrhu projektu popsána, a to nedostatečném množství reprezentativních dat z dotazníkového šetření díky malé návratnosti. Získaná data o hluku tak příliš nekorelovala s odezvou exponovaných osob získanou z dotazníkového šetření, a proto se analytické vztahy RTF ERF se nedaly smysluplně sestavit. Bez ohledu na tento problém navržená metodika zjišťování a posuzování zdravotních rizik expozice hluku z důlní činnosti Metodika tak popisuje dlouhodobý monitoring hluku, který dosud žádný Metodický návod Ministerstva zdravotnictví pro měření a hodnocení hluku v mimopracovním prostředí neřešil a neupravoval, dává doporučení pro sestavení výpočtového modelu, včetně získání a přípravy vstupních dat pro vlastní výpočet, poskytuje návod k vytvoření vytvoření dotazníku včetně doporučeného postupu realizace dotazníkového šetření, vyhodnocení dat a vlastní interpretace výsledků dotazníkového šetření. Jako výsledek stanovuje atributivní frakce, tj. procento exponovaných osob, u nichž lze negativní zdravotní účinky připsat působení zkoumaného hluku, pro vysoce rušený spánek (HSD) hlukem z důlní činnosti pro oblast $L_n < 40$ dB a doporučený postup odhadu % HSD pro hodnocení zdravotních rizik.

Metodika tak bude sloužit jako doporučený postup k odborné podpoře výkonu veřejné správy v oblasti životního prostředí a veřejného zdraví při posuzování strategických dokumentů a koncepcí SEA i jednotlivých dokumentací EIA při posuzování hluku z důlní činnosti včetně rekultivace a navrhovaných protihlukových technických opatření ke snížení hlukové zátěže obyvatel. Metodiku lze přiměřeně použít i na hodnocení zdravotních rizik libovolného stacionárního zdroje hluku.

Data získaná z monitoringu v letech 2022 až 2024 (hluková data) byla MŽP ČR významně využita také při jednání s Polskou republikou ohledně problematiky hluku z provozu povrchového dolu Turów. V projektu tak bylo zcela naplněno zaměření programu Prostředí pro život a jeho 1. podprogramu.

1. Úvod

Zvuk (či zvukové prostředí) je nedílnou součástí životního prostředí. Jeho podstatou je postupné vlnění v pružném prostředí způsobené kmitáním částic; v pevném prostředí je nazýváme vibrace a v plynném či kapalném je označujeme právě za zvuk. Lidské ucho je schopné vnímat kmitočty v rozsahu 20 Hz až 20 kHz. Akustické vlnění způsobuje v kapalinách a plynech změny tlaku podle hustoty molekul přítomných v daném čase na daném místě a změna tlaku, který nazýváme akustický tlak, je lidským sluchovým orgánem vnímaná jako zvuk. Nejmenší změnou akustického tlaku, kterou je ucho schopné zaznamenat, je 20 μ Pa, přičemž pro práh bolesti je hodnota akustického tlaku více než milionkrát větší. Používání této značně široké stupnice je velmi nepraktické. Proto byla na základě Weber-Fechnerova zákona, popisujícího lidské vnímání externích podnětů, zavedena logaritmická stupnice tzv. hladina akustického tlaku v decibelech. Pro posuzování vlivu zvuku na zdraví, se požívá hladina akustického tlaku vážená filtrem A, který zohledňuje frekvenční citlivosti lidského ucha, označuje se L_A (dB), kdy je práh slyšitelnosti roven 0 dB a práh bolesti 130 dB. Osoby citlivé na změnu zvuku (např. hudebníci) jsou schopny přímým porovnáním poznat změnu hladiny akustického tlaku už o 1 dB. Ostatní osoby rozpoznají změnu hlasitosti o 3 dB. Každý nárůst hladiny akustického tlaku o 10 dB je vnímán jako dvojnásobně vjemově hlasitý zvuk. Každý nežádoucí, rušivý, obtěžující nebo pro člověka škodlivý zvuk se nazývá hlukem. Hluk může být ustálený, proměnný i přerušovaný. Často jeho hladina s časem kolísá a není tak možné stanovit hodnotu LA jedním číslem. Problém vyřešilo zavedení ekvivalentní hladiny akustického tlaku $L_{Aeq,T}$ (dB), která vyjadřuje energetický průměr celkové energie za určitý čas T [1,2].

Hluk je podle WHO druhou nejzávažnější škodlivinou v životním prostředí ovlivňující zdraví člověka. Dle výsledků strategického hlukového mapování v rámci EU ve všech vyspělých státech je nadměrným a nadlimitním zdrojem hlukové zátěže ve více jak 90 % hluk z provozu na pozemních komunikacích [3]. Avšak ani hluk z průmyslových zdrojů není zanedbatelnou součástí expozice obyvatel hlukem. Zatímco hluk z dopravy silniční, železniční i letecké představuje hluk z liniových zdrojů, hluk z průmyslových zdrojů (areálů) je stacionárním plošným, lokálním zdrojem v území.

Ochrana životního prostředí i s ohledem na lidské zdraví a dlouhodobou udržitelnost těžby potřebných nerostných surovin představuje výzvu k řešení environmentální hlukové zátěže, resp. hodnocení zdravotních rizik v exponovaném území prostřednictvím metodiky, která bude uplatnitelná při hodnocení dalších průmyslových (stacionárních) zdrojů environmentální zátěže hlukem. Stěžejní publikace WHO „*Environmental Noise Guidelines for the European Region*“ [4] obsahuje přehled dostupných důkazů o vlivu hluku z dopravy, z provozu větrných elektráren a z hlučných volnočasových aktivit na zdraví. Uvedené publikaci je uvedeno vyhodnocení kvality důkazů pro vztahy mezi hlukem liniových zdrojů hluku a zdravotními účinky, jako jsou kardiovaskulární onemocnění, obtěžování, rušení spánku, kognitivní poruchy (poruchy poznávacích schopnosti) a zhoršení sluchu. Avšak nezabývá se průmyslovými (stacionárními) zdroji hluku, ke kterým se řadí i hluk z důlní činnosti.

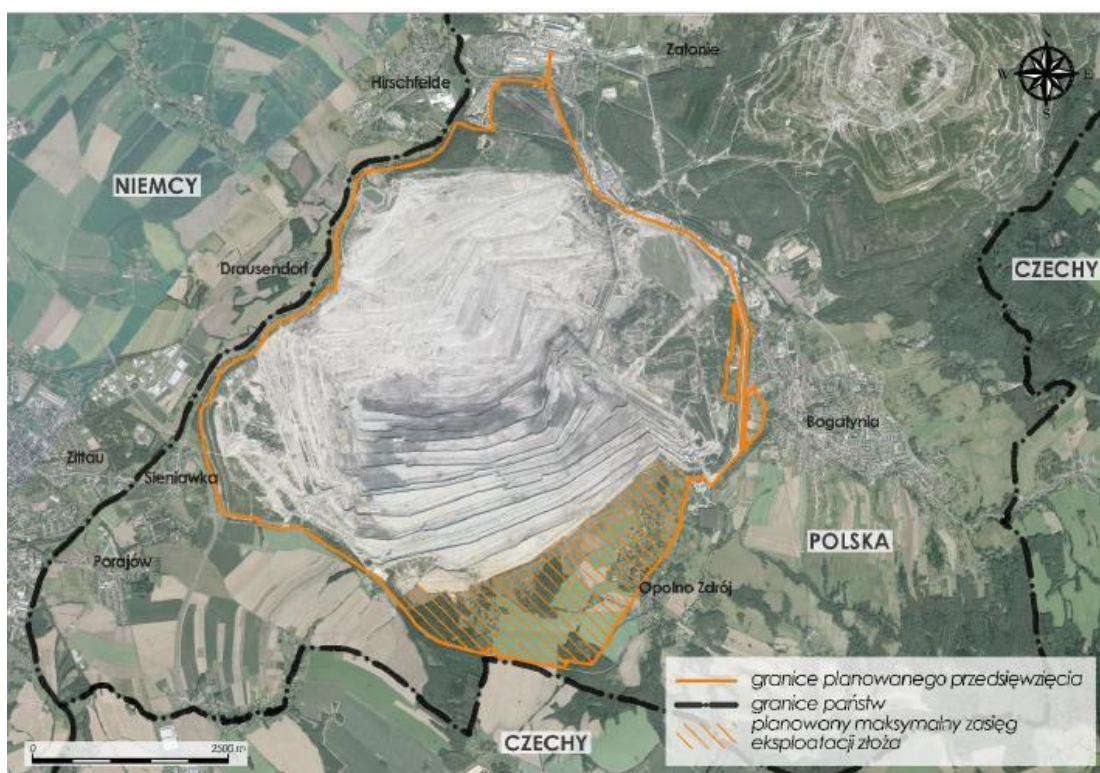
Z literatury jsou známy výstupy zaměřené především na část akustickou (měření, modelování a výpočty vlastního hluku od různých zdrojů) [5, 6, 7, 8, 9, 10], ale většinou neuvažují subjektivní negativní účinky hluku (obtěžování, rušení spánku). Tj. nezaměřují se na získání dat o hlučnosti (expozici osob) dlouhodobým monitoringem hluku i krátkodobým měřením v kombinaci s aplikací mezinárodně validovaného dotazníku pro socioekonomický průzkum v území spojený s prostorovou interpretací dat. Výzkum vlivu hluku z důlní činnosti na životní prostředí a zdraví lidí, zejména s ohledem na morfologii terénu a možná technická opatření je proto v rámci projektu řešen komplexně, tj. měření hluku, modelová prostorová interpretace naměřených dat a socioekonomický průzkum pomocí dotazníku zaměřeného na hluk a další faktory spojené s důlní činností (světelný smog, obavy z úbytku pitné vody apod.). Všechna získaná data, obdržené

informace a poznatky v rámci projektu budou sloužit k aktualizaci příslušných závislostí expozice–odezva (Exposure–Response function – ERF) pro hluk z důlní činnosti, případně pro průmyslový hluk. Získané znalosti budou využity nejen orgány státní správy při běžné činnosti v oblasti ochrany životního prostředí a veřejného zdraví při posuzování strategických dokumentů a koncepcí, ale i aplikačním garantem (MŽP ČR) při jednání s Polskou republikou v konkrétním případě problematiky zátěže území České republiky hlukem z činností v dole Turów.

2. Měření hluku v terénu

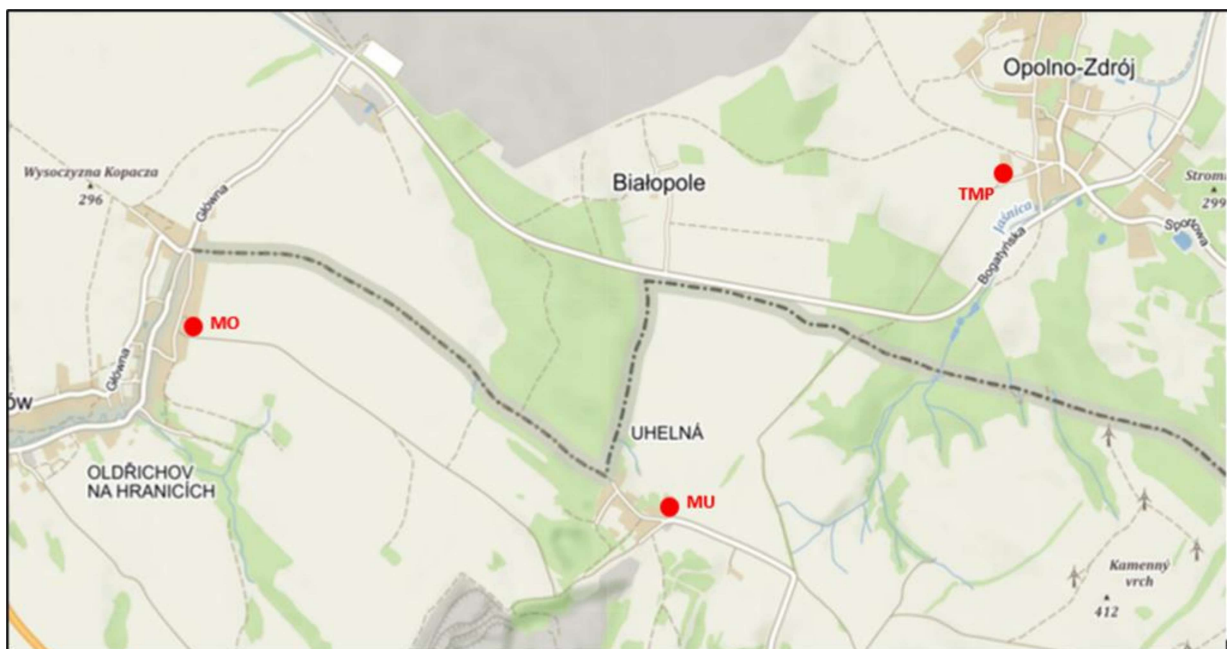
Hluk působený technologií dolu Turów je prakticky nepřetržitý a má proměnný charakter. Vzhledem ke změnám provozu a polohy jednotlivých těžebních zařízení v dole Turów i změnám meteorologických podmínek na místech měření během roku byl dlouhodobý monitoring v průběhu každého kalendářního roku rozvržen do pěti vzorkovacích týdenních kol. Měření bylo provedeno v roce 2020 a 2021 jako pilotní studie a v letech 2022 až 2024, kdy probíhala vlastní realizace projektu. Jednotlivá kola, vždy v délce minimálně sedmi kalendářních dní, byla v závislosti na meteorologických podmínkách a místní situaci přibližně rovnoměrně rozdělena po dobu kalendářního roku s výjimkou zimního období. Taková organizace monitoringu zajistila reprezentativní podmínky pro zjištění dlouhodobého zatížení nejbližší obytné zástavby hlukem z dolu Turów během kalendářního roku. Přítomnost pracovníků laboratoře při instalaci a při odvozu monitorovacích stanic po ukončení daného kola měření umožnila sledování akustické situace během noci přímo na místě. Protože prakticky nepřetržitý hluk z dolu Turów představuje v monitorovaném území v podstatě zbytkový hluk, který díky rušení jinými zdroji není v daném prostoru v denní době spolehlivě identifikovatelný, bylo měření realizováno pouze v noční době, tj. od 22:00 do 6:00 hod. V noční době dochází k nejmenšímu rušení akustického signálu a zároveň dochází k možnému nejvýraznějšímu negativnímu působení na exponované obyvatele, tj. k možnému rušení spánku.

Na obrázku č. 1 je situace dolu Turów se zakresleným rozšířením k hranici ČR do roku 2044 – rozšíření vyznačeno oranžovou linií.



Obrázek 1: Situace dolu Turów [11]

Nejbližší obytnou zástavbou na území ČR jsou dvě části města Hrádek nad Nisou – Oldřichov na Hranicích a Uhelná (obrázek č. 2). Mapa zobrazuje rovněž polohu míst měření vyznačených červenými symboly Oldřichov na Hranicích (MO), Uhelná (MU) a technické místo měření na území Polska (TMP).



Obrázek 2: Situace obytné zástavby na území ČR s vyznačenými místy měření (MO, MU, TMP) a se zakreslenou státní hranicí a nejbližší hranou Dolu Turów před rozšířením (zdroj: www.mapy.cz)

2.1 Zdroje hluku

Dokumentace EIA „Kontynuacja eksploatacji zloza węgla brunatnego Turów, Raport o oddziaływaniu na środowisko“ z roku 2018 [11] uvádí jako hlavní zdroje hluku těžební zařízení technologie dolu Turów, kterými jsou kolesová rypadla a zakladače. Od roku 2020 je v dole nasazeno i rypadlo korečkové. Zdrojem hluku jsou i pásové dopravníky, jejichž celková délka činí cca 90 km. Podle informací polské strany byla v roce 2022 provozována těžební zařízení uvedená v tabulce č. 1.

Tabulka 1: Těžební zařízení provozovaná v dole Turów v roce 2022 [11]

| Těžební zařízení – hlavní zdroje hluku | | | | |
|--|------|-------------------|------------|-------------|
| Poř.č. | Ozn. | Název | Typ | L_{WA} dB |
| 1 | K-9 | Kolesové rypadlo | KWK-1500 S | 116 |
| 2 | K-11 | Kolesové rypadlo | KWK-1500 S | 116 |
| 3 | K-14 | Kolesové rypadlo | KWK-1200 M | 122 |
| 4 | K-15 | Kolesové rypadlo | KWK-1500 S | 116 |
| 5 | K-17 | Kolesové rypadlo | KWK 910 | 119 |
| 6 | K-18 | Kolesové rypadlo | KWK-1500.1 | 116 |
| 7 | K-20 | Korečkové rypadlo | KWL-800 | 120 |
| 8 | K-22 | Kolesové rypadlo | SchRs | 125 |
| 9 | K-24 | Kolesové rypadlo | SchRs 1200 | 118 |
| 10 | K-26 | Kolesové rypadlo | KWK-1200 M | 122 |
| 11 | K-27 | Kolesové rypadlo | KWK-1200 M | 122 |
| 12 | K-28 | Kolesové rypadlo | KWK-1200 M | 122 |
| 13 | Z-45 | Zakladač | ARsP | 118 |
| 14 | Z-46 | Zakladač | ZGOT-6300 | 121 |
| 15 | Z-48 | Zakladač | ZGOT-11500 | 120 |
| 16 | Z-49 | Zakladač | neuvedeno | neuvedeno |
| 17 | Z-6 | Zakladač | ZSOT-4500 | 112 |

Rypadla i zakladače jsou umístěny na 13 zahloubených patrech dolu Turów, a to až do hloubky cca 300 m pod úrovní terénu, a v různé vzdálenosti od posuzované obytné zástavby v ČR. Jedná se o rozměrná zařízení dosahující výšky až 30 m. Rypadla a zakladače se při své činnosti pohybují horizontálně poměrně malou rychlosí, takže změna jejich polohy během jednotlivých kol měření není významná. Změna polohy mezi jednotlivými koly však už může být významná, protože šíření hluku, zejména nejbližších rypadel, je s různou účinností stíněno (tlumeno) nejen proměnnou výškou těžebních řezů (umístění těchto strojů na patrech dolu Turów), ale i zvlněným, a v některých místech částečně zalesněným terénem, jehož nadmořská výška ve směru k nejbližší obytné zástavbě na území ČR mírně stoupá.

Polská strana na základě oficiální žádosti aplikačního garanta (MŽP ČR) sdělovala typy a umístění jednotlivých strojů a zařízení během měření včetně informace, která z těchto zařízení byla daného dne měření v provozu. Z těchto informací vyplýnulo, že nejbliže k území ČR se nacházela skupina rypadel K-9, K-15 a K-22, přičemž rypadlo K-22 je ze všech provozovaných rypadel nejhlučnější. Tato skupina rypadel byla umístěna na nejvyšších patrech čelní, jihovýchodní strany dolu, takže jsou stíněna hranou dolu a dalším terénem méně než ostatní rypadla a zakladače, které jsou umístěny dál nebo hlouběji až o cca 200 m. Tato skupina se bude s dalším rozširováním těžby dolu přibližovat k hranici ČR a lze tak očekávat, že jejich vliv na celkovou hlučnost v nejbližším obydleném území ČR poroste.

Z informací polské strany také vyplývá, že počet zařízení, která jsou daného dne v provozu, se prakticky každý den mění. Znamená to, že se také mění výsledná denní hluková emise dolu. Ukazuje se také, že v žádný den monitoringu nebyla v provozu všechna instalovaná zařízení současně. Z poskytnutých informací však nelze zjistit, zda zařízení, které bylo daného dne v provozu, bylo v provozu opravdu nepřetržitě celý den a zejména noc a zda nebyly v jeho provozu nějaké přestávky nebo výpadky.

Dalším možným zdrojem hluku ve zkoumané lokalitě může být silniční doprava na komunikaci Bogatynia – Sieniawka, která vede po jižním okraji dolu Turów, tedy mezi dolem a státní hranicí. Sčítání dopravy na této komunikaci provedené v roce 2021 poskytlo dostatečné informace vedoucí k závěru, že hluk dopravy na této komunikaci nemůže v žádném případě ovlivnit posouzení překračování hygienických limitů hluku z provozu těžebních zařízení dolu Turów na území ČR. Stejně tak byla vyloučena možnost ovlivnění měření provozem větrného parku na Kamenném vrchu, 2,5 km od Uhelné východním směrem.

V rámci hluku pozadí se může projevovat i doprava na silnici I/35 k hraničnímu přechodu do Polska, vedoucí cca 1,7 km jižně od obou měřicích míst. Z tohoto důvodu bylo v létě 2024 provedeno měření hluku na komunikaci I/35 včetně sčítání dopravy s následným výpočtem očekávané hladiny akustického tlaku v obou místech měření (MM) monitoringu. Měření a následný výpočet prokázaly, že hluk z dopravy na komunikaci I/35 se na MM výrazněji neprojeví a v žádném případě nemůže ovlivnit hodnocení překročení HL pro noční dobu na obou MM.

V rámci posuzování vlivu vedlejších zdrojů hluku pozadí byl v létě 2024 proměřen i hluk z průmyslové zóny Hrádek nad Nisou, zejména hluk, který se šíří do obytné zástavby obce Oldřichov na Hranicích směrem k MM. I toto měření prokázalo, že hluk z průmyslové zóny se na obou MM nijak neprojeví a nemůže proto ovlivnit hodnocení překračování HL. Hluk z dolu Turów se v daném území subjektivně projevuje jako dlouhodobý dominantní zdroj hluku, sluchově snadno identifikovatelný jak svojí hlasitostí, tak směrem, ze kterého přichází.

2.2 Morfologie terénu

Základní představu o morfologii terénu poskytují profily terénu procházející místy měření (obrázek č. 3 až č. 5). Zejména obr. 5 ukazuje, že stínění terénem je v případě skupiny nejbližších rypadel směrem k Oldřichovu na Hranicích velmi diskutabilní. Zobrazené profily je třeba brát pouze jako informativní, protože použitá ortofotomapka z portálu Mapy.cz v době pořízení již plně neodpovídá situaci v době měření.



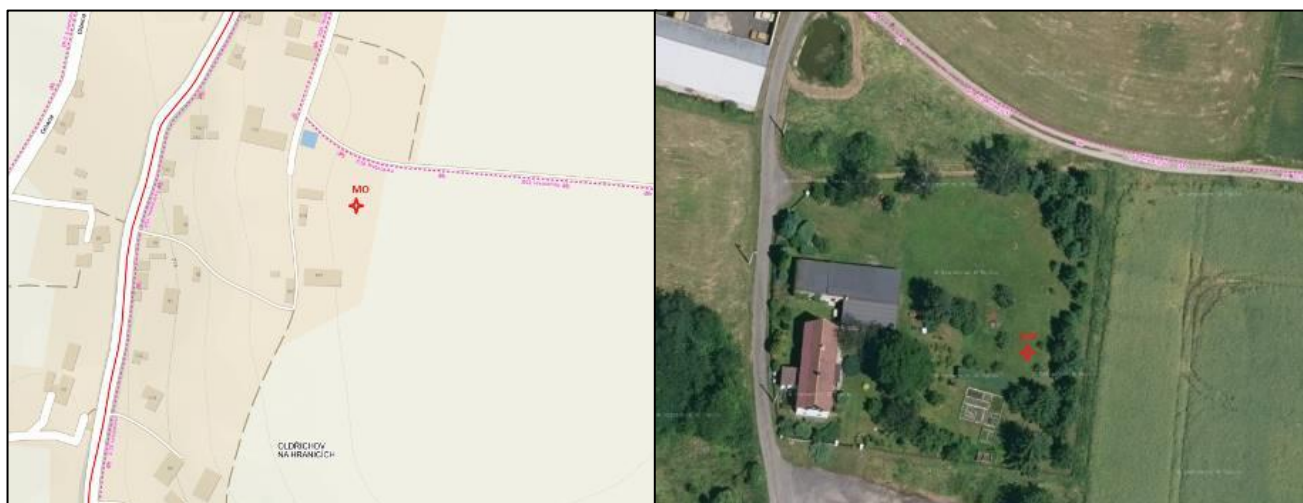
2.3 Místa měření

Místa měření (dále i „MM“) na území ČR byla vybrána tak, aby reprezentovala nejbližší obytnou zástavbu, zajišťovala co nejmenší rušení měření zdroji hluku v jejich nejbližším okolí, co nejmenší akustické stínění a umožňovala bezpečný provoz monitorovacích stanic. Poloha MM byla odsouhlasena aplikačním garantem (MŽP ČR). Technické místo měření na polské straně bylo zvoleno na základě konzultací s polskou stranou v těsné blízkosti polského trvalého monitorovacího terminálu, který byl následně trvale v provozu od roku 2023. Umístění MM je patrné z obrázků č.6, 7 a 8.

MO – Oldřichov na Hranicích, zahrada rodinného domu (dále RD) č.p. 100

Nejbližší objekt je hospodářské stavení (25 m od MO), důl Turów se nachází severním až severovýchodním směrem, nejbližší vzdálenost je 1,8 km. Souřadnice GPS: 50,8731444N, 14,8669414E.

Mikrofon upevněn na stativu ve volném poli, 3,0 m nad úrovní terénu, nasměrován svisle vzhůru, opatřen krytem proti větru a se zvukoměrem propojen mikrofonním kabelem.



Obrázek 6: Situace místa měření MO (zdroj: www.mapy.cz)

MU – Uhelná, zahrada RD č.p. 4

Vzdálenost od severní hrany obytné budovy č.p. 4 je 25 m, důl Turów se nachází severozápadním až severovýchodním směrem, nejbližší vzdálenost je 2 km. Souřadnice GPS: 50,8659208N, 14,9010364E.

Mikrofon upevněn na stativu ve volném poli, 3,0 m nad úrovní terénu, nasměrován svisle vzhůru, opatřen krytem proti větru a se zvukoměrem propojen mikrofonním kabelem.

ZDRAVOTNÍ ÚSTAV SE SÍDLEM V OSTRAVĚ

SOUHRNNÁ VÝZKUMNÁ ZPRÁVA projektu SS05010044 „PROBLEMATIKA HODNOCENÍ VZTAHU EXPOZICE-ODEZVA OSOB EXPONOVANÝCH V ŽIVOTNÍM PROSTŘEDÍ HLUKEM Z DŮLní ČINNOSTI“

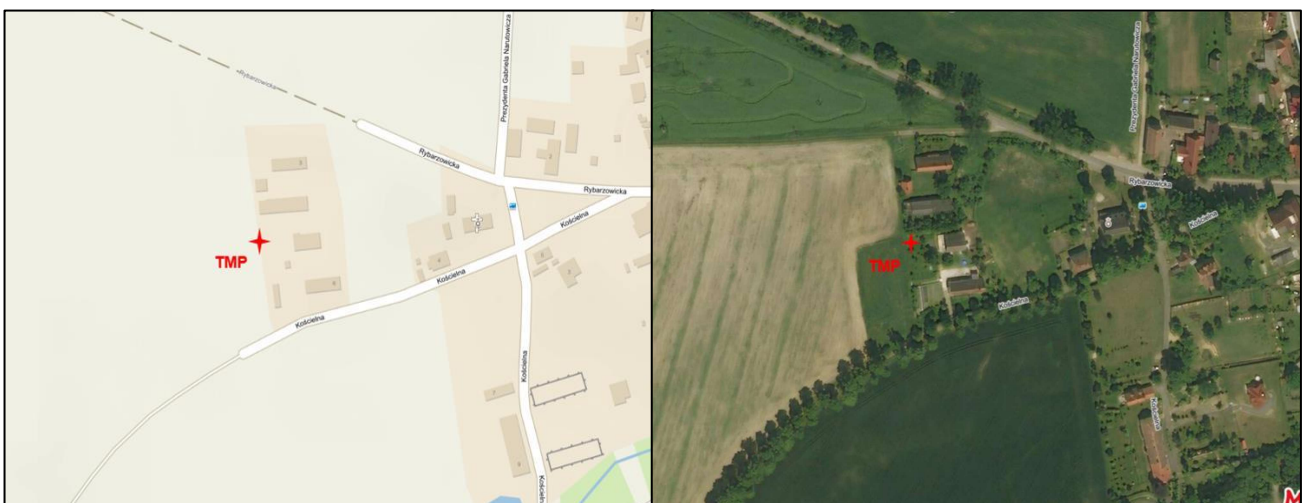


Obrázek 7: Situace místa měření MU (zdroj: www.mapy.cz)

TMP (technické místo měření) - Opolno-Zdrój (Polsko), RD čp. 6, ul. Koscielna

Nejbližší objekt je RD 25 m od TMP, důl Turów se nachází severozápadním směrem, nejbližší vzdálenost je cca 1,3 km. Souřadnice GPS: 50,880865725N; 14,9258615190E.

Mikrofon upevněn na stativu ve volném poli, 4,0 m nad úrovní terénu, nasměrován svisle vzhůru, opatřen krytem proti větru a se zvukoměrem propojen mikrofonním kabelem.



Obrázek 8: Situace místa měření TMP (zdroj: www.mapy.cz)

V roce 2024 došlo ke změně MM Uhelná, kdy měřící technika byla přesunuta na vedlejší pozemek, zahradu RD č.p. 41 viz obrázek č. 9. Vzdálenost od severní hrany obytné budovy č.p. 41 je 25 m, důl Turów se nachází severozápadním až severovýchodním směrem, nejbližší vzdálenost je 1,5 km. Souřadnice GPS: 50,8660714N, 14,9014333E.

Mikrofon upevněn na stativu ve volném poli, 3,0 m nad úrovní terénu, nasměrován svisle vzhůru, opatřen krytem proti větru a se zvukoměrem propojen mikrofonním kabelem.



Obrázek 9: Situace nového místa měření MU (zdroj: www.mapy.cz)

2.4 Použité přístroje a zařízení

Tabulka 2: Použité přístroje a zařízení k dlouhodobému monitoringu v roce 2022

| Monitorovací stanice SV 279 [1] (stanice C83927) | |
|---|--------------|
| zvukoměr Svantek 979 | v.č. 35805 |
| mikrofon Svantek 40AE | v.č. 183421 |
| Monitorovací stanice SV 279 [2] (stanice C83929) | |
| zvukoměr Svantek 979 | v.č. 35807 |
| mikrofon Svantek 40AE | v.č. 183523 |
| Monitorovací stanice SV 279 [3] (stanice C83928) | |
| zvukoměr Svantek 979 | v.č. 35806 |
| mikrofon Svantek 40AE | v.č. 183434 |
| Ostatní přístroje | |
| akustický kalibrátor SC 30A | v.č. 38160 |
| meteostanice Kestrel 5000 | v.č. 2186685 |

Tabulka 3: Použité přístroje a zařízení k dlouhodobému monitoringu v roce 2023

| Monitorovací stanice SV 279 [1] (stanice C83927) | |
|---|-------------|
| zvukoměr Svantek 979 | v.č. 35805 |
| mikrofon Svantek 40AE | v.č. 183421 |
| Monitorovací stanice SV 279 [2] (stanice C83929) | |
| zvukoměr Svantek 979 | v.č. 35807 |
| mikrofon Svantek 40AE | v.č. 183523 |
| Monitorovací stanice SV 200A [3] | |
| analyzátor Svantek SV 200A | v.č. 119256 |
| mikrofon Microtech Geffel MK255 | v.č. 20597 |
| Monitorovací stanice SV 200A [4] | |
| analyzátor Svantek SV 200A | v.č. 119257 |
| mikrofon Microtech Geffel MK255 | v.č. 20791 |

| Ostatní přístroje | |
|-----------------------------|------------|
| akustický kalibrátor SC 30A | v.č. 38160 |

Tabulka 4: Použité přístroje a zařízení k dlouhodobému monitoringu v roce 2024

| Monitorovací stanice SV 279 [1] (stanice C83927) | |
|--|---------------|
| zvukoměr Svantek 979 | v.č. 35805 |
| mikrofon Svantek 40AE | v.č. 183421 |
| Monitorovací stanice SV 279 [2] (stanice C83929) | |
| zvukoměr Svantek 979 | v.č. 35807 |
| mikrofon Svantek 40AE | v.č. 183523 |
| Monitorovací stanice SV 200A [3] | |
| analyzátor Svantek SV 200A | v.č. 119256 |
| mikrofon Microtech Geffel MK255 | v.č. 20597 |
| Monitorovací stanice SV 200A [4] | |
| analyzátor Svantek SV 200A | v.č. 119257 |
| mikrofon Microtech Geffel MK255 | v.č. 20791 |
| Ostatní přístroje | |
| akustický kalibrátor SC 30A | v.č. 38160 |
| kombinovaný měřicí přístroj GILL, typ MaxiMet GMX600 | v.č. 22380087 |
| kombinovaný měřicí přístroj GILL, typ MaxiMet GMX600 | v.č. 22380086 |

Pro krátkodobá měření v chráněném venkovním a vnitřním prostoru staveb byly vždy použity zvukoměry fy Brüel & Kjaer (Dánsko). Všechna použitá měřící zařízení měla v době jejich použití platné ověření ČMI, případně externí kalibraci.

2.5 Měřené akustické veličiny a jejich význam

Byly vyhodnocovány následující akustické veličiny:

a) **Ekvivalentní hladina hluku A, $L_{Aeq,T}$ (dB)**, časově průměrovaná hladina akustického tlaku A. Průměrování probíhá na základě tzv. energetického principu, tj. že proměnný akustický signál s okamžitými hodnotami $L_A(t)$ má v posuzovaném časovém intervalu T (s) stejnou energii jako ustálený signál o hodnotě $L_{Aeq,T}$.

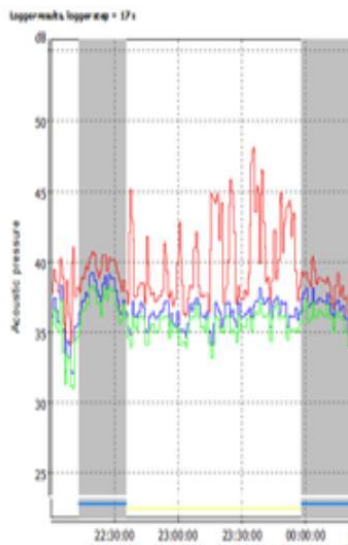
b) **N-procentní hladina L_{AN} (dB)**, časově a frekvenčně vážená hladina akustického tlaku A, která je překročena pro N % uvažovaného časového intervalu nebo pro N % uvažovaných akustických událostí. V rámci monitoringu byly posuzovány N-procentní hladiny pro $N = 10, 90$ a 99 , tj. L_{A10} , L_{A90} a L_{A99} .

Hladina L_{A90} představuje určité statistické minimum uvažovaného akustického signálu. Hladina L_{A10} představuje určité statistické maximum uvažovaného akustického signálu. Hladina L_{A99} představuje statisticky nejnižší hodnotu, kterou uvažovaný akustický signál v uvažovaném časovém intervalu dosahuje.

Pokud je ustálený akustický signál měřeného zdroje hluku rušen proměnným hlukem pozadí, lze, za určitých podmínek, hladinu L_{A90} rušeného signálu ztotožnit s hladinou $L_{Aeq,T}$ nerušeného ustáleného signálu měřeného zdroje (12, 13).

Pokud ustálený akustický signál měřeného zdroje hluku nelze jednoznačně oddělit od ustáleného zbytkového hluku, pak hladina L_{A90} představuje **dolní odhad** hladiny $L_{Aeq,T}$ měřeného zdroje v posuzovaném časovém intervalu. Dolní odhad znamená, že hladina hluku předmětného zdroje není nižší než uvedená hodnota, může však nabývat vyšších hodnot. Skutečná hladina hluku z Dolu Turów se pohybuje mezi hodnotami L_{A90} a $L_{Aeq,T}$.

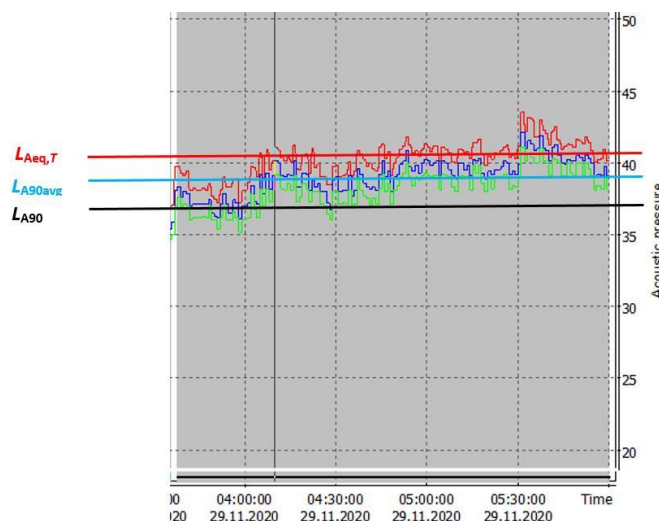
Z tohoto hlediska se pak jeví jako vhodná veličina reprezentující nerušené hodnoty hluku průměrná hodnota hladin L_{A90} jednominutových náměrů ve vybraném Bloku, $L_{A90\text{avg}}$. Na rozdíl od ekvivalentní hladiny $L_{Aeq,T}$ nejsou jednominutové hladiny L_{A90} ovlivněny rušivými akustickými událostmi trvajícími dobu kratší než 1 minuta. Ekvivalentní hladina může být těmito krátkodobými akustickými událostmi ovlivněna, protože o její hodnotě rozhodují právě vyšší hladiny těchto událostí. Názorně je to ukázáno na obrázku č. 10, kde je patrné, že hladiny L_{A90} nereagují na rušení působené štěkáním psa, zatímco pro hladinu $L_{Aeq,T}$ je tento štěkot určující.



Obrázek 10: Reakce 1 minutových hladin $L_{Aeq,T}$ (červená křivka) a L_{A90} (modrá křivka) na krátkodobé rušivé události – štěkot psa

Průměrná hladina $L_{A90\text{avg}}$ tak dobře approximuje ekvivalentní hladinu zbytkového hluku, „očištěného“ od specifických rušivých událostí.

Na obrázku č. 11 je názorně ukázán význam jednotlivých posuzovaných veličin.

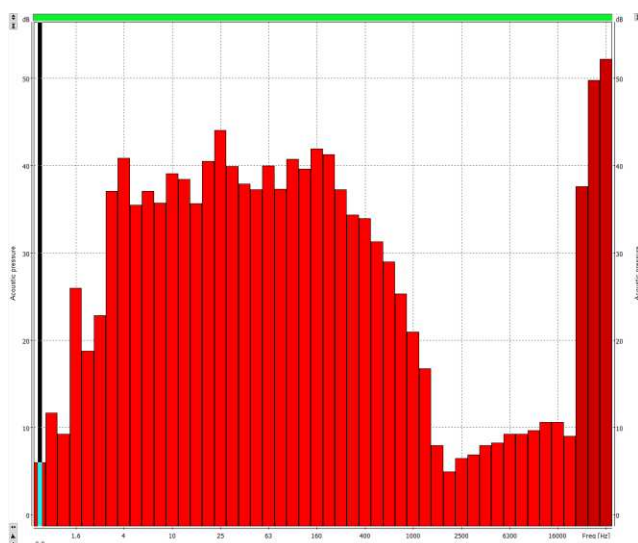


Obrázek 11: Ukázka průběhu akustického tlaku ve vybraném Bloku a odpovídající hladina $L_{Aeq,T}$ (40,4 dB), $L_{A90\text{avg}}$ (39,2 dB)

Hluk z Dolu Turów je součástí zbytkového hluku. Zbytkový hluk na MM je tak sumou hluku Dolu Turów a ostatních nespecifických (neidentifikovatelných) zdrojů hluku pozadí.

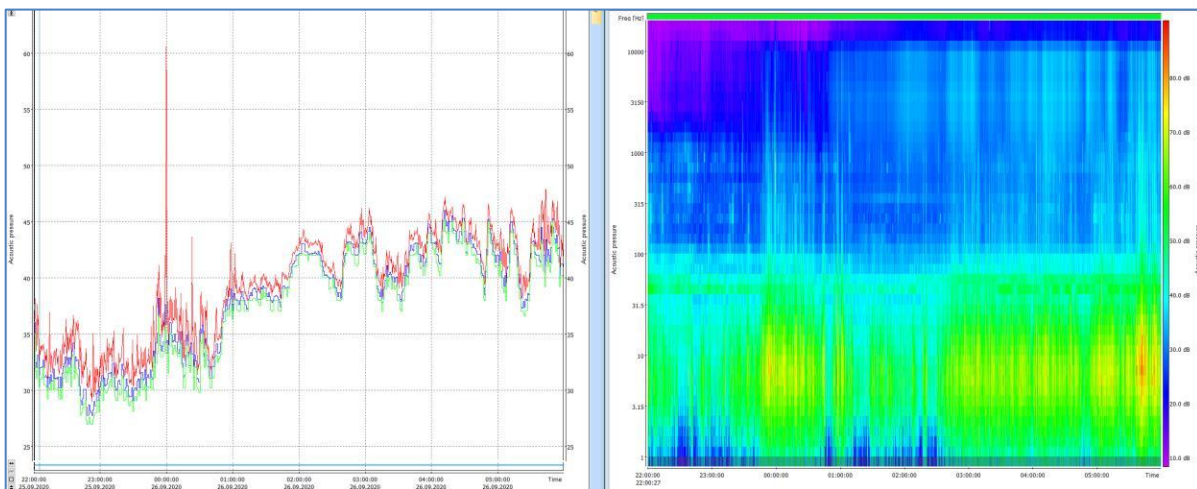
Sumární hodnoty sledovaných akustických veličin jsou v této zprávě uváděny jako energeticky průměrné časově vážené hodnoty.

c) **Frekvenční spektrum**, vyjádření hladin akustického tlaku v závislosti na frekvenci. Vedle časového průběhu hladin akustického tlaku (historie) je akustický signál charakterizován i svým frekvenčním obsahem. Frekvenční spektrum, tj. vztah mezi hladinami akustického tlaku a frekvencí se nejčastěji vyjadřuje graficky nebo tabelárně jako hodnota hladin akustického tlaku L_t (dB) v třetinooktávových pásmech se střední frekvencí f_t (Hz). Ilustrace třetinooktávového frekvenčního spektra ve formě sloupcového grafu je na obrázku č. 12.



Obrázek 12: Příklad grafu třetinooktávového frekvenčního spektra

Komplexnější zobrazení spekrálního obsahu představuje tzv. spektrogram, který zobrazuje průběh frekvenčních spekter v čase. Vyhodnocovací programy umožňují prezentovat paralelní časově synchronizované zobrazení časového průběhu hladin akustického tlaku a odpovídajícího spektrogramu viz obrázku č. 13.

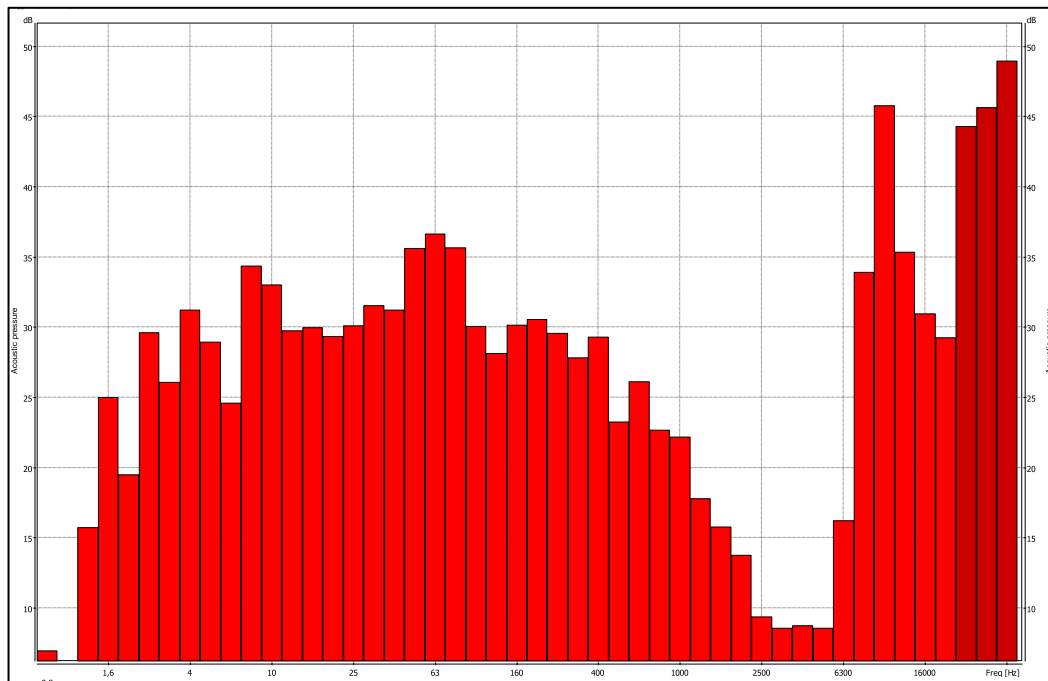


Obrázek 13: Časově synchronizovaná (čas na ose x) prezentace časového průběhu hladin akustického tlaku (vlevo) a odpovídajícího spektrogramu (vpravo)

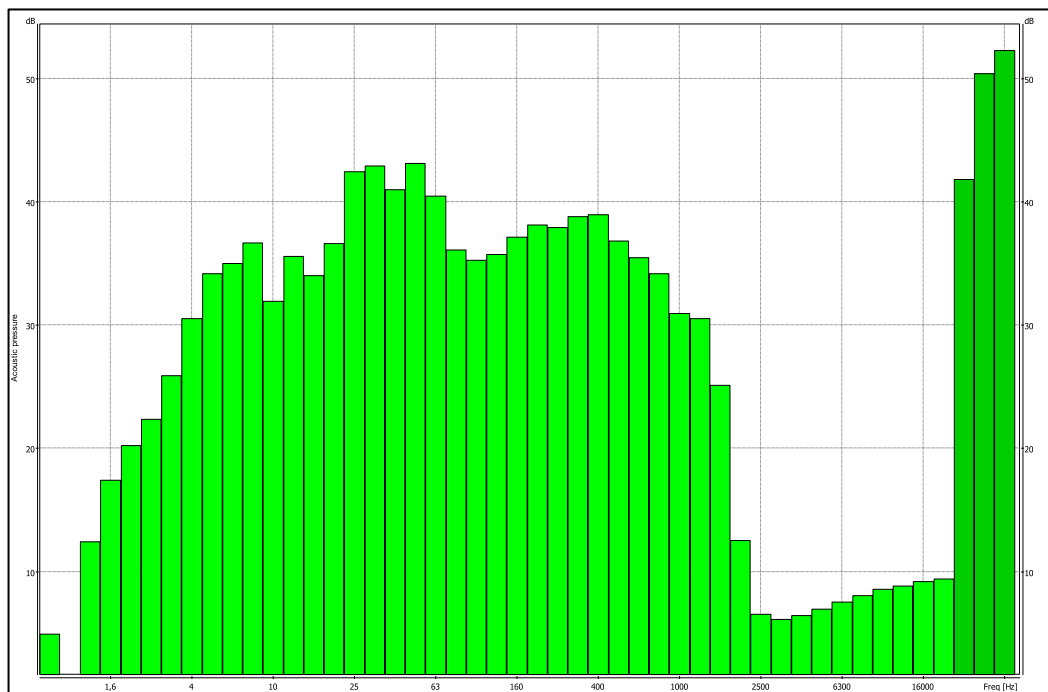
Spektrogram v podstatě představuje „půdorys“ 3D zobrazení, kdy na ose x je čas (h), na ose y frekvence (Hz) a hodnoty hladiny akustického tlaku na ose z jsou prezentovány barevnými odstíny. Škála barev, a jím odpovídající hodnoty hladin v dB, je umístěna na okraji spektrogramu zcela vpravo.

Spektrogram na obrázku č. 13 dokumentuje frekvenční různorodost akustické situace v MM, která je způsobena především tím, že zde působí různé zdroje hluku.

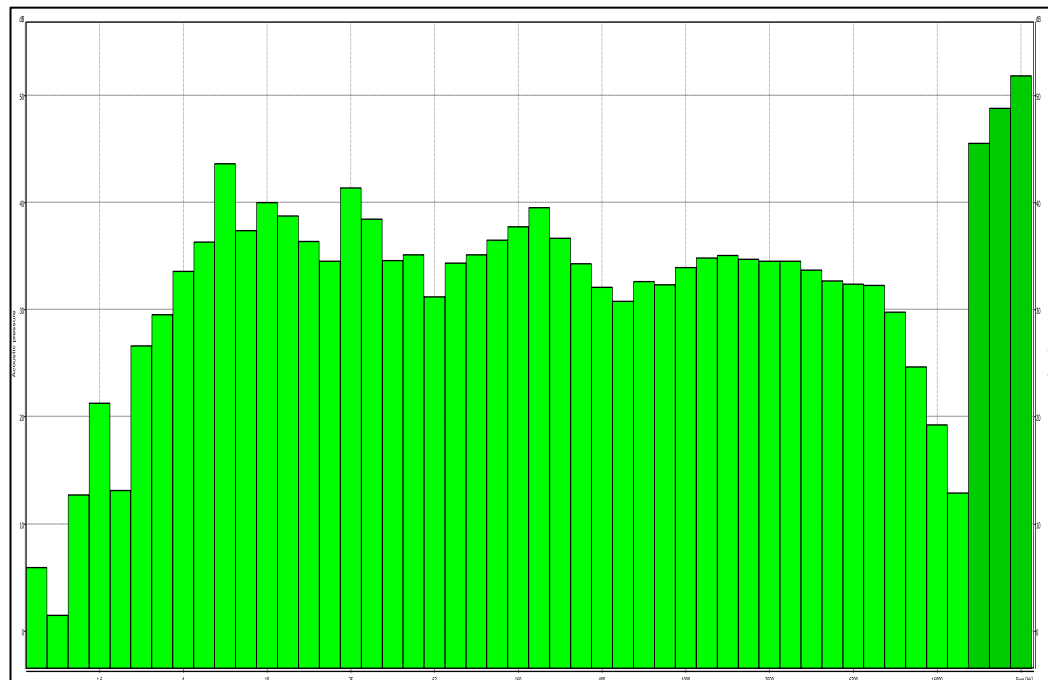
Na základě dlouhodobého monitoringu lze identifikovat frekvenční spektra některých specifických akustických událostí. Tato typická frekvenční spektra, jejich charakteristický průběh, jsou dobrou pomůckou při identifikaci specifických zdrojů hluku. Jsou uvedena na obrázcích č. 14 až 18.



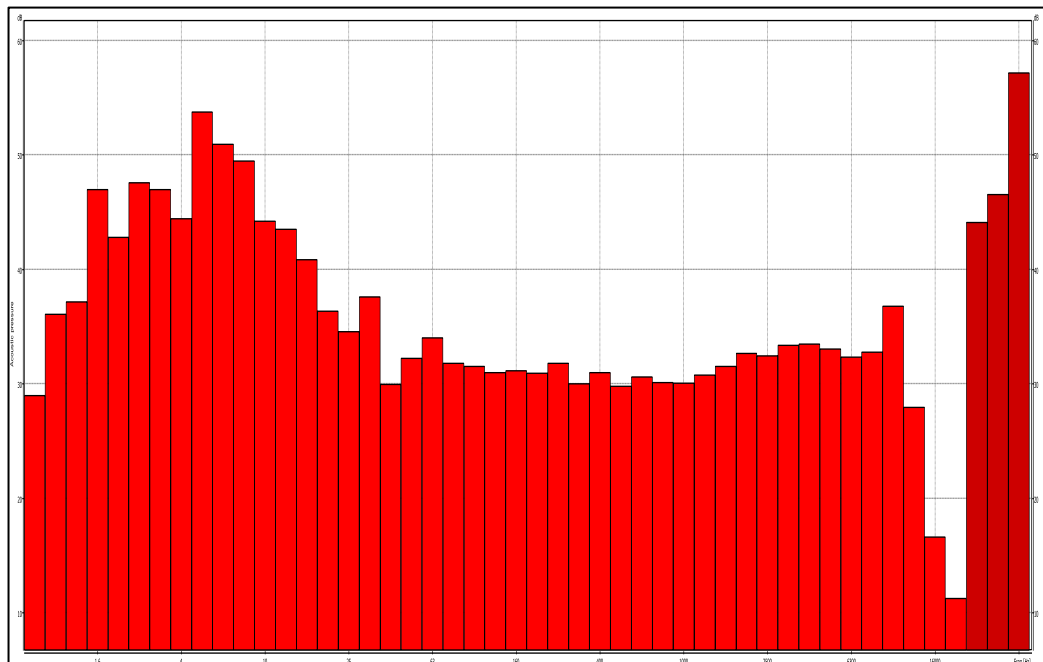
Obrázek 14: Frekvenční spektrum zvuku cvrčků – zvýšené hladiny v úzké oblasti vysokých frekvencí s maximem v pásmu $f_t = 10\text{kHz}$



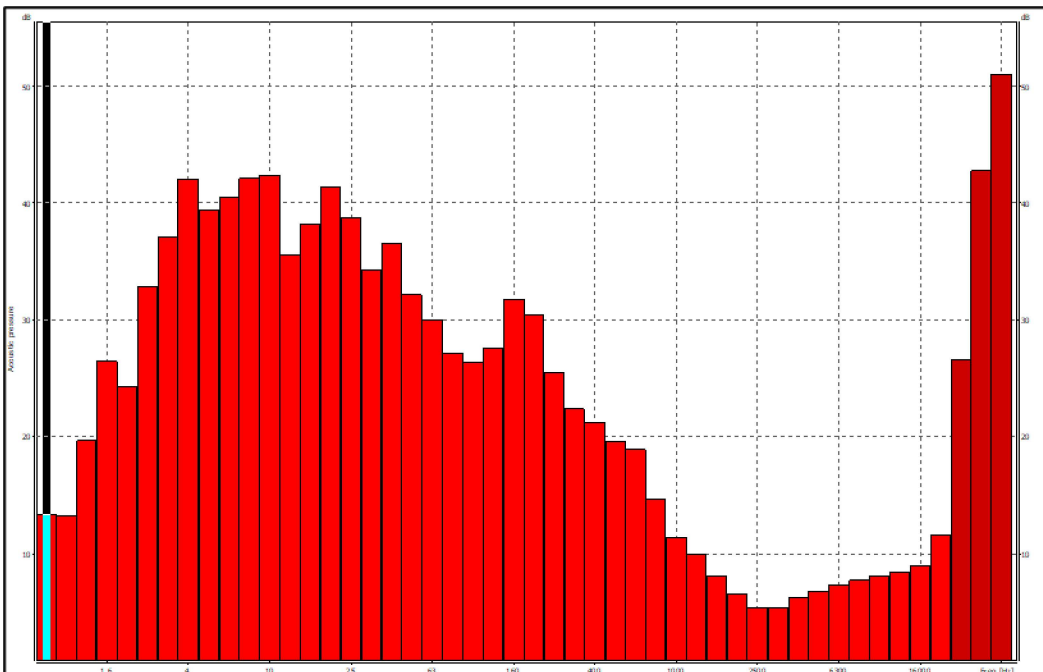
Obrázek 15: Frekvenční spektrum hluku Dolu Turów – výrazný pokles (cut-off) frekvencí od $f_t = 1600$ Hz, absence velmi nízkých frekvencí je dána i rozsahem měřící techniky.



Obrázek 16: Frekvenční spektrum zvuku deště – vyrovnané spektrum až do vysokých frekvencí $f_t = 8$ kHz. Absence velmi nízkých frekvencí je dána i rozsahem měřící techniky.

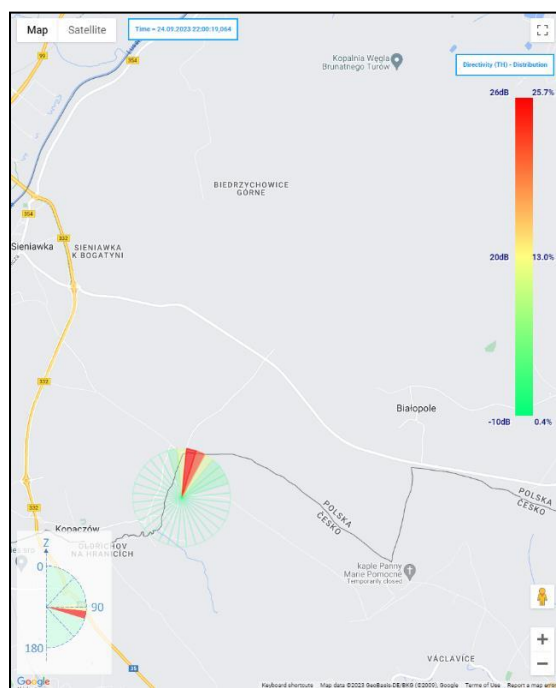


Obrázek 17: Frekvenční spektrum zvuku deště s výskytem velmi nízkých frekvencí způsobených větrem



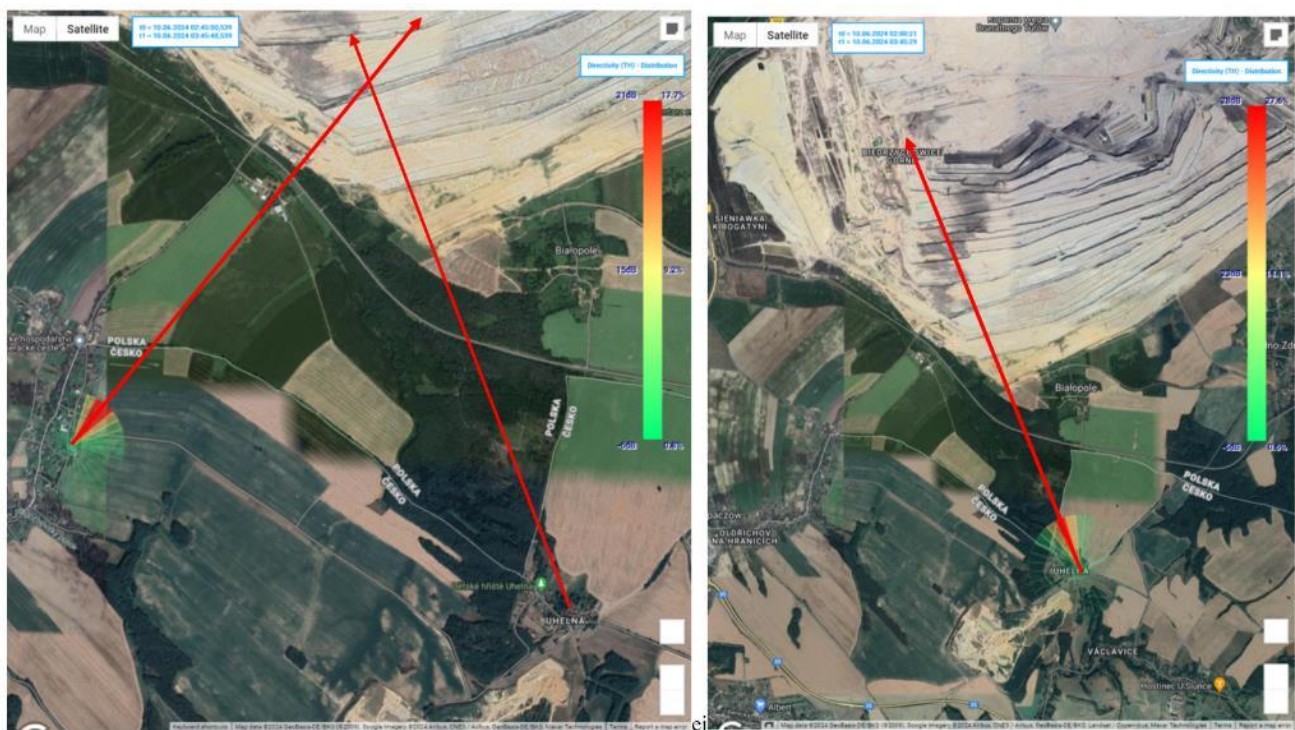
Obrázek 18: Frekvenční spektrum hluku pozadí neovlivněného Dolem Turów, deštěm a větrem – přibližně lineární pokles hladin v oblasti vyšších frekvencí

d) Direktivita (směrovost) (používaná u dlouhodobého monitoringu od roku 2023) obecně označuje úhlovou závislost emise akustické energie ze zdroje hluku. Ukazuje, jak velká část emise akustické energie se ze zdroje vyzáří v určitém směru, resp. úhlu. Je možný i obrácený postup – zjistit rozložení z jakého úhlu akustická energie do daného místa dopadá. Tak je možné např. zjistit směr ke zdrojům s největším příspěvkem akustické energie do daného místa. Příklad zobrazení směrové distribuce akustické energie je uveden na obrázku č. 19.



Obrázek 19: Koláčový graf jako příklad zobrazení úhlového rozložení akustické energie. Osa výseče směruje ke zdroji hluku. Červená výseč reprezentuje směr s největším příspěvkem akustické energie do daného místa, zelená s nejmenším.

e) **Triangulace**, pokud je znám směr k jednomu zdroji alespoň ze dvou míst, lze v průsečíku těchto směrů přibližně určit místo zdroje hluku.



Obrázek 20: Příklad triangulace na základě směrovosti na místech MO (vlevo) a MU (vpravo) (zdroj: www.mapy.cz)

2.6 Vlastní měření

Dlouhodobý monitoring na výše uvedených MM probíhal pouze v noční době vždy v intervalu od 22:00 do 6:00 hod. Součástí měření hluku bylo i měření relevantních meteorologických parametrů: průměrná a maximální rychlosť větru ve výšce 1,5 m nad terénem, směr větru ve výšce 1,5 m nad terénem, teplota vzduchu, relativní vlhkost, atmosférický tlak a srážky. K dlouhodobému monitoringu byly použity 3 monitorovací stanice fy Svantek (Polsko), v roce 2023 doplněné na MM na území České republiky ještě novými monitorovacími stanicemi Svantek SV200 umožňujícími měřit i směrovost. Všechny stanice byly připojeny k el. síti a dálkově on-line kontrolovány prostřednictvím sítě internet. Měření bylo naprogramováno automaticky na noční dobu, tj. 22:00 – 6:00 h.

Měření bylo provedeno formou kontinuálního 1s záznamu včetně audiozáznamu hlukové situace. Současně byly zaznamenávány všechny relevantní meteorologické parametry. Ze všech měření byly archivovány na samostatném datovém úložišti veškeré záznamy primárních (naměřených) dat pro případné další analýzy a využití. V souladu se směrnicí Zdravotního ústavu se sídlem v Ostravě byly audiozáznamy po jejich zpracování smazány. Výjimkou byly záznamy používané při jednáních s Polskou republikou v souladu s Dohodou mezi vládou České republiky a vládou Polské republiky o spolupráci k řešení vlivů těžební činnosti v povrchovém hnědouhelném dole Turów v Polské republice na území České republiky.

Měření bylo provedeno v souladu s Metodickým návodem Ministerstva zdravotnictví pro měření a hodnocení hluku v mimopracovním prostředí (dále MNKom) [12,13], mezinárodními normami ISO a hodnoceno podle MNKom a nařízení vlády č. 272/2011 Sb., o ochraně zdraví před nepříznivými účinky hluku a vibrací, ve znění pozdějších předpisů (dále NV) [14]. Vzhledem k tomu, že měření probíhalo ve volném poli, nebyla použita korekce na odraz. Protože měřený nepřetržitý hluk dolu Turów odpovídal v podstatě zbytkovému hluku, nebyla použita korekce na zbytkový hluk.

Krátkodobé měření hluku uvnitř vybraných obytných objektů (v chráněném vnitřním prostoru staveb) bylo zaměřeno na analýzu přítomnosti nízkofrekvenčního hluku, na jehož projevy si někteří obyvatelé stěžovali. Měření bylo zároveň provedeno venku a uvnitř obytných objektů uvedených v tabulce č. 5.

Tabulka 5: Přehled objektů pro krátkodobé měření hluku

| Místo měření |
|---------------------------------|
| Václavice č.p. 12 |
| Václavice č.p. 139 |
| Uhelná č.p. 1 |
| Uhelná č.p. 4 |
| Uhelná č.p. 41 |
| Oldřichov na Hranicích č.p. 94 |
| Oldřichov na Hranicích č.p. 100 |
| Oldřichov na Hranicích č.p. 142 |
| Oldřichov na Hranicích č.p. 165 |

Vlastní měření na MM probíhalo v červnu 2023 v noční době vždy v intervalu od 22:00 do 6:00 hod. Akreditovaní měřiči hluku byli vždy přítomni u zvukoměrů ve venkovním prostoru. Měření bylo provedeno formou kontinuálního 1s záznamu včetně audiozáznamu. Byly zaznamenávány relevantní meteorologické parametry. Měření bylo provedeno v souladu s MNKom [12,13], mezinárodními normami ISO a hodnoceno podle MNKom a NV [14].

2.7 Hluk pozadí a zbytkový hluk

Zbytkový hluk po vyloučení všech nesouvisejících specifických zdrojů hluku pozadí je, pokud je důl v provozu, zároveň i měřeným hlukem z Dolu Turów. Vzhledem k nepřetržitému hluku z činnosti Dolu Turów nelze standardním postupem zjistit zbytkový hluk, tj. hluk, který by v lokalitě existoval, pokud by byl Důl Turów včetně elektrárny zcela mimo provoz, resp. neexistoval. Hodnotu zbytkového hluku lze tak pouze odhadnout z hodnot hluku pozadí v intervalech, kdy hluk z dolu je minimální. Z dosud provedených měření od roku 2020 lze konstatovat, že zbytkový hluk se pohybuje v rozmezí hodnot $L_{Aeq,T} = 20 - 30$ dB a v žádném případě tak nemůže ovlivnit hodnocení případného překročení hladiny $L_{Aeq,T} = 40$ dB.

2.8 Nejistota měření

Rozšířená kombinovaná nejistota měření $U = 1,8$ dB.

V tabulkách a grafech není z důvodu lepší přehlednosti nejistota měření uváděna.

2.9 Způsob zpracování měření a vyhodnocení

Zvukoměrem zaznamenané a v paměti přístroje uložené hodnoty akustických veličin byly zpracovány a následně vyhodnoceny v rámci postprocesingu programem Svan PC++ s environmentálním akustickým modulem, verze 3.4.12.

Zvolené akustické veličiny byly vyhodnocovány jednak pro celou dobu měření 22:00-6:00 hod, tedy včetně veškerého rušení, a jednak pro časové intervaly s nejmenším rušením akustického signálu („Bloky“), tj. s minimálním, avšak nenulovým rušením. Hladina L_{A90avg} zbytkového hluku v těchto Blocích může být považována za dolní odhad ekvivalentní hladiny akustického tlaku A, $L_{Aeq,T}$ z Dolu Turów.

V některých dnech, zejména v případě dlouhodobého deště, setrvalého prudkého nárazového větru nebo při déletrvajících nočních venkovních aktivitách obyvatel, ale i při dlouhodobém (i několik hodin trvajícím) štěkotu psů v okolí MM, byla v řadě případů možnost výběru nerušených Bloků výrazně omezena. Stejně tak tomu bylo v teplém období roku v ranních hodinách od rozbřesku, kdy bylo měření rozhodujícím způsobem ovlivněno zejména hlasovými projevy ptactva, a v letním období také zvukem hmyzu (cvrčci).

Výběr nerušených časových intervalů měření – Bloků

Časové Bloky byly v rámci postprocesingu vybírány tak, aby nezahrnovaly „nežádoucí akustické jevy“, tj. jevy nesouvisející s hlukem z provozu Dolu Turów, tzn. hluk způsobený jinými specifickými zdroji, které bylo možné identifikovat ze záznamu průběhu hodnot hladin akustického tlaku A. Jde především o hlas lidí a zvířat, zejména štěkot psů, hluk z činnosti obyvatel obce, průjezdy vozidel v blízkosti MM, ale i průlety letadel nad MM. Pokud se nepodařilo danou akustickou událost spolehlivě identifikovat (specifikovat), byla jako hluk nespecifického zdroje v rámci Bloku ponechána.

Do Bloků nebyly také zahrnuty okamžité hodnoty akustických veličin, které korelovaly s okamžitými vysokými hodnotami maximální rychlosti větru. Z Bloků byly vyloučeny i intervaly ovlivněné deštěm, který byl identifikován jednak podle změny charakteru časového záznamu a frekvenčního spektra, jednak poslechem audiozáznamu, a pokud byl intenzivní, tak i meteosondou.

3. Výsledky měření

3.1 Dlouhodobý monitoring (dlouhodobá hluková zátěž)

K identifikaci dolu Turów jako zdroje hluku na území ČR byla mj. použita analýza direktivity (směrovosti) a souběhu časového průběhu hladin akustického tlaku na všech třech MM. V následujících tabulkách č. 6 až 11 jsou uvedeny naměřené průměrné časově vážené hodnoty hladin akustického tlaku A na místech měření MO (Oldřichov na Hranicích) a MU (Uhelná) v jednotlivých kolech monitoringu v letech 2022 až 2024, přičemž není zohledněna nejistota měření $\pm 1,8$ dB.

Tabulka 6: Místo měření MO – naměřené průměrné časově vážené hodnoty hladin akustického tlaku A v roce 2022

| Kolo | MO | | | | | | | |
|---------------|--------------------|-------------------|--------------------|-----------------|--------------------|-------------------|--------------------|-----------------|
| | Celé měření | | | | Bloky | | | |
| | Doba trvání h:m | $L_{Aeq,T}$ dB | L_{A90avg} dB | L_{A90} dB | Doba trvání h:m | $L_{Aeq,T}$ dB | L_{A90avg} dB | L_{A90} dB |
| 11.-20.04. | 72:00:00 | 41,0 | 36,9 | 33,6 | 38:18:00 | 37,1 | 35,5 | 32,7 |
| 20.-28.06. | 64:00:00 | 43,8 | 37,7 | 29,0 | 52:03:00 | 34,8 | 32,8 | 28,4 |
| 11.-19.07. | 64:00:00 | 39,6 | 39,6 | 33,1 | 37:24:00 | 35,7 | 34,6 | 32,2 |
| 12.-20.09. | 64:00:00 | 40,4 | 38,7 | 29,9 | 45:29:00 | 33,7 | 32,7 | 29,6 |
| 27.10.-01.11. | 64:00:00 | 37,4 | 35,4 | 30,6 | 48:48:00 | 34,7 | 33,7 | 30,1 |
| Celkem | 328:00:00 | 40,9 | 37,9 | 31,6 | 222:02:00 | 35,3 | 33,8 | 30,7 |

Tabulka 7: Místo měření MU – naměřené průměrné časově vážené hodnoty hladin akustického tlaku A v roce 2022

| Kolo | MU | | | | | | | |
|---------------|--------------------|-------------------|--------------------|-----------------|--------------------|-------------------|--------------------|-----------------|
| | Celé měření | | | | Bloky | | | |
| | Doba trvání h:m | $L_{Aeq,T}$ dB | L_{A90avg} dB | L_{A90} dB | Doba trvání h:m | $L_{Aeq,T}$ dB | L_{A90avg} dB | L_{A90} dB |
| 11.-20.04. | 72:00:00 | 46,1 | 38,8 | 33,9 | 39:28:00 | 38,2 | 36,7 | 32,6 |
| 20.-28.06. | 64:00:00 | 46,8 | 42,5 | 29,9 | 34:27:00 | 34,0 | 32,9 | 29,2 |
| 11.-19.07. | 64:00:00 | 41,7 | 38,8 | 34,6 | 41:48:00 | 38,8 | 38,3 | 34,1 |
| 12.-20.09. | 64:00:00 | 40,4 | 42,1 | 31,2 | 45:29:00 | 33,7 | 34,1 | 30,6 |
| 27.10.-01.11. | 64:00:00 | 38,1 | 35,7 | 31,8 | 48:33:00 | 35,2 | 34,4 | 30,9 |
| Celkem | 328:00:00 | 43,8 | 40,2 | 32,6 | 209:45:00 | 36,5 | 35,1 | 31,8 |

ZDRAVOTNÍ ÚSTAV SE SÍDLEM V OSTRAVĚ

SOUHRNNÁ VÝZKUMNÁ ZPRÁVA projektu SS05010044 „PROBLEMATIKA HODNOCENÍ VZTAHU EXPOZICE-ODEZVA OSOB EXPONOVANÝCH V ŽIVOTNÍM PROSTŘEDÍ HLUKEM Z DŮLní ČINNOSTI“

Tabulka 8: Místo měření MO – naměřené průměrné časově vážené hodnoty hladin akustického tlaku A v roce 2023

| Kolo | MO | | | | | | | |
|---------------|--------------------|-------------------|--------------------|-----------------|--------------------|-------------------|--------------------|-----------------|
| | Celé měření | | | | Bloky | | | |
| | Doba trvání h:m | $L_{Aeq,T}$ dB | L_{A90avg} dB | L_{A90} dB | Doba trvání h:m | $L_{Aeq,T}$ dB | L_{A90avg} dB | L_{A90} dB |
| 17.-25.04. | 64:00 | 40,1 | 34,4 | 29,5 | 47:21 | 34,2 | 33,2 | 29,5 |
| 19.-26.06. | 56:00 | 43,1 | 37,9 | 31,1 | 31:08 | 35,0 | 33,8 | 30,3 |
| 21.-28.08. | 56:00 | 44,0 | 43,4 | 31,9 | 25:49 | 35,4 | 34,2 | 30,7 |
| 18.-25.09. | 56:00 | 41,4 | 39,9 | 34,5 | 30:29 | 38,4 | 37,4 | 34,6 |
| 23.-30.10. | 56:00 | 40,6 | 36,3 | 30,3 | 36:25 | 34,0 | 32,7 | 28,6 |
| Celkem | 288:00 | 42,1 | 39,5 | 31,8 | 171:12 | 35,5 | 34,4 | 31,1 |

Tabulka 9: Místo měření MU – naměřené průměrné časově vážené hodnoty hladin akustického tlaku A v roce 2023

| Kolo | MU | | | | | | | |
|---------------|--------------------|-------------------|--------------------|-----------------|--------------------|-------------------|--------------------|-----------------|
| | Celé měření | | | | Bloky | | | |
| | Doba trvání h:m | $L_{Aeq,T}$ dB | L_{A90avg} dB | L_{A90} dB | Doba trvání h:m | $L_{Aeq,T}$ dB | L_{A90avg} dB | L_{A90} dB |
| 17.-25.04. | 64:00 | 43,3 | 38,1 | 34,7 | 45:41 | 37,2 | 36,3 | 32,9 |
| 19.-26.06. | 56:00 | 44,5 | 40,4 | 33,4 | 29:34 | 35,5 | 34,4 | 30,6 |
| 21.-28.08. | 56:00 | 41,6 | 41,3 | 31,2 | 32:41 | 35,0 | 33,9 | 30,3 |
| 18.-25.09. | 56:00 | 43,9 | 38,7 | 33,4 | 33:15 | 37,0 | 36,1 | 33,0 |
| 23.-30.10. | 56:00 | 40,3 | 38,8 | 31,7 | 36:02 | 35,1 | 34,4 | 30,3 |
| Celkem | 288:00 | 43,0 | 39,6 | 33,1 | 177:13 | 36,2 | 34,4 | 31,7 |

Tabulka 10: Místo měření MO – naměřené průměrné časově vážené hodnoty hladin akustického tlaku A v roce 2024

| Kolo | MO | | | | | | | |
|---------------|--------------------|-------------------|--------------------|-----------------|--------------------|-------------------|--------------------|-----------------|
| | Celé měření | | | | Bloky | | | |
| | Doba trvání h:m | $L_{Aeq,T}$ dB | L_{A90avg} dB | L_{A90} dB | Doba trvání h:m | $L_{Aeq,T}$ dB | L_{A90avg} dB | L_{A90} dB |
| 22.-29.04. | 56:00 | 40,2 | 37,0 | 33,4 | 32:19 | 37,8 | 36,4 | 33,6 |
| 13.-20.05. | 56:00 | 37,9 | 33,3 | 28,2 | 37:18 | 32,7 | 30,2 | 27,6 |
| 03.-10.06. | 56:00 | 46,5 | 43,2 | 28,5 | 30:31 | 33,6 | 31,5 | 28,5 |
| 23.-30.09. | 56:00 | 42,2 | 38,1 | 34,8 | 26:50 | 37,5 | 35,9 | 33,9 |
| 14.-21.10. | 56:00 | 54,4 | 49,9 | 44,7 | 9:21 | 38,1 | 36,5 | 33,4 |
| Celkem | 280:00 | 49,4 | 45,2 | 39,6 | 136:19 | 36,0 | 34,3 | 31,8 |

ZDRAVOTNÍ ÚSTAV SE SÍDLEM V OSTRAVĚ

SOUHRNNÁ VÝZKUMNÁ ZPRÁVA projektu SS05010044 „PROBLEMATIKA HODNOCENÍ VZTAHU EXPOZICE-ODEZVA OSOB EXPONOVANÝCH V ŽIVOTNÍM PROSTŘEDÍ HLUKEM Z DŮLní ČINNOSTI“

Tabulka 11: Místo měření MU – naměřené průměrné časově vážené hodnoty hladin akustického tlaku A v roce 2024

| Kolo | MU | | | | | | | |
|---------------|--------------------|-------------------|--------------------|-----------------|--------------------|-------------------|--------------------|-----------------|
| | Celé měření | | | | Bloky | | | |
| | Doba trvání h:m | $L_{Aeq,T}$ dB | L_{A90avg} dB | L_{A90} dB | Doba trvání h:m | $L_{Aeq,T}$ dB | L_{A90avg} dB | L_{A90} dB |
| 22.-29.04. | 56:00 | 42,4 | 36,8 | 33,3 | 39:13 | 36,9 | 35,6 | 33,3 |
| 13.-20.05. | 56:00 | 42,3 | 34,7 | 25,5 | 35:21 | 30,6 | 28,6 | 25,0 |
| 03.-10.06. | 56:00 | 41,0 | 36,3 | 30,9 | 36:02 | 35,4 | 34,0 | 30,4 |
| 23.-30.09. | 56:00 | 39,9 | 37,1 | 31,5 | 40:25 | 37,2 | 35,6 | 31,1 |
| 14.-21.10. | 56:00 | 50,4 | 47,4 | 43,0 | 9:47 | 38,8 | 37,5 | 32,6 |
| Celkem | 280:00 | 46,2 | 42,6 | 38,0 | 160:48 | 36,0 | 34,0 | 31,1 |

Z analýzy dat dlouhodobého monitoringu (hodnoty $L_{Aeq,T}$, L_{A90avg} a L_{A90}) vyplývá, že celková hluková situace bez ohledu na rozptyl hodnot v jednotlivých dnech měření se na obou MM (Oldřichov na Hranicích - MO a Uhelná - MU) během roku výrazně nemění. Znamená to, že četnost vzorkování a jeho rozložení v čase (jednotlivá kola monitoringu) byly zvoleny správně a pokryly jak průběžné změny v provozu zdrojů hluku v dole Turów, tak proměnné meteorologické podmínky. Dlouhodobá hluková zátěž (expozice) je určujícím faktorem pro možné negativní zdravotní účinky hluku. Dlouhodobá zátěž, resp. její průběh za roky 2020 až 2024 je uveden v tabulce č. 12. Z dat vyplývá, že největší hlučnost byla v roce 2020, v roce 2021 došlo k poklesu a prakticky stejná úroveň zátěže je v letech 2022, 2023 i 2024.

Tabulka 12: Naměřené průměrné časově vážené hodnoty hladin akustického tlaku A (nezohledněna nejistota $\pm 1,8$ dB)

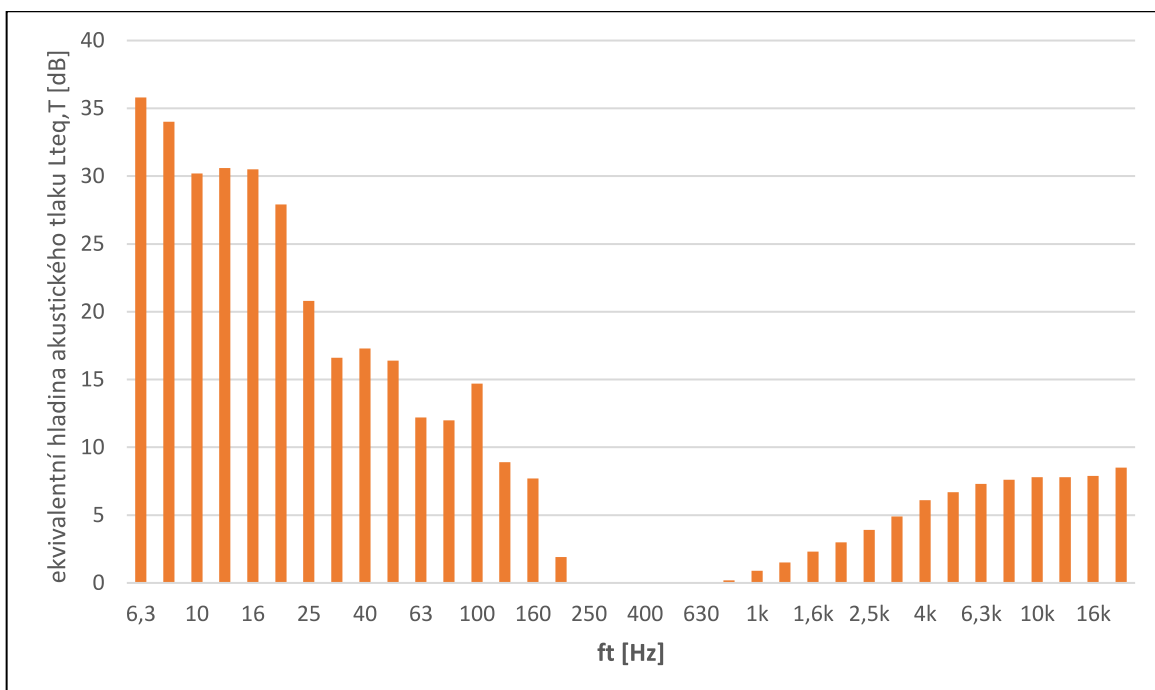
| Rok | Bloky | | | | | |
|-------------|--------|-------------------|--------------------|--------|-------------------|--------------------|
| | MO | | | MU | | |
| | T h | $L_{Aeq,T}$ dB | L_{A90avg} dB | T h | $L_{Aeq,T}$ dB | L_{A90avg} dB |
| 2024 | 136 | 36,0 | 34,3 | 161 | 36,0 | 34,0 |
| 2023 | 171 | 35,5 | 34,4 | 177 | 36,2 | 34,4 |
| 2022 | 222 | 35,3 | 33,8 | 210 | 36,5 | 34,6 |
| 2021 | 200 | 35,4 | 33,6 | 175 | 36,0 | 34,5 |
| 2020 | 148 | 37,4 | 35,3 | 144 | 37,7 | 36,1 |

T = celkový hodnocený čas v rámci ročního dlouhodobého monitoringu, $L_{Aeq,T}$ = průměrná časově vážená hodnota hladin akustického tlaku A, L_{A90avg} = průměrná hladina 1 min. náměrů L_{A90} v hodnocených (nerušených) Blocích

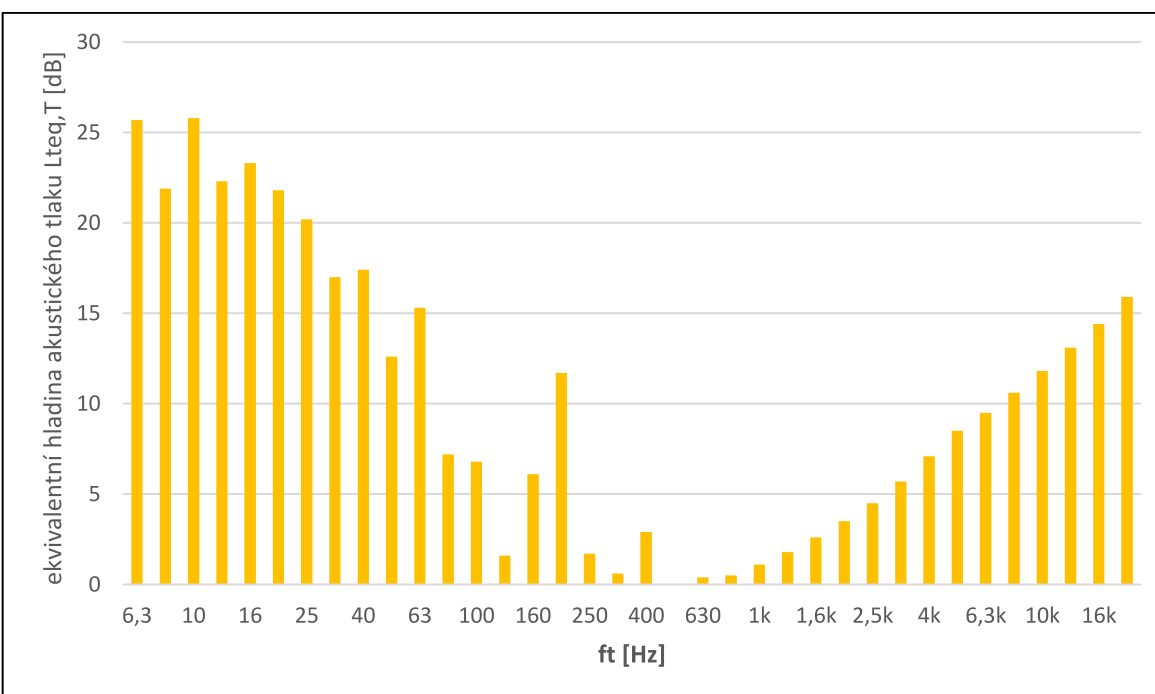
Z měřených dat dále vyplývá významné kolísání akustického signálu z důlní činnosti v čase. Tyto změny hluku nejsou „okamžité“, ale probíhají v nezanedbatelně dlouhém časovém intervalu a mohou mít významný vliv na rušení spánku během noci.

3.2 Krátkodobé měření hluku

Z analýzy dat krátkodobých měření je patrné, že na všech místech měření ve všech třech obcích se v třetinooktávovém spektru naměřených akustických signálů vyskytuje vyšší podíl nízkofrekvenčních složek. Avšak tento nízkofrekvenční hluk dosahuje velmi nízkých hodnot, které jsou v této oblasti spektra neslyšitelné (viz nařízení vlády č. 272/2011 Sb., příloha 1 [14]). Ukázka je na obrázcích č. 21 a 22. To však neznamená, že citliví jedinci nemohou tyto zvuky vnímat.



Obrázek 21: Třetinooktávové spektrum akustického signálu z vnitřního prostoru č.p. 4, Uhelná



Obrázek 22: Třetinooktávové spektrum akustického signálu z vnitřního prostoru č.p. 100, Oldřichov na Hranicích

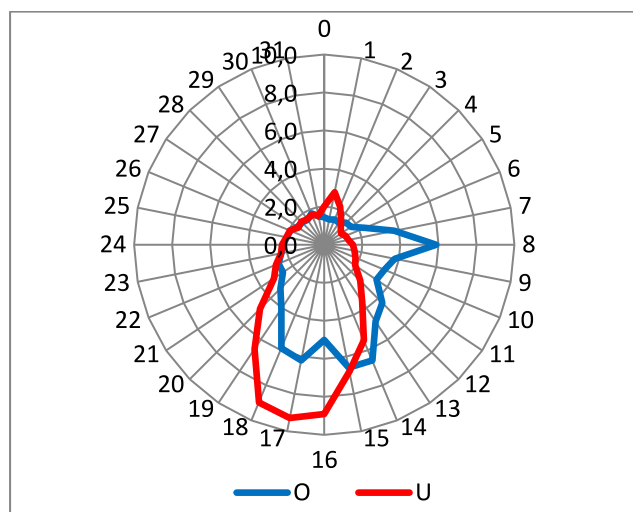
3.3 Meteorologické podmínky

Průběžně s akustickými parametry byly sledovány i meteorologické parametry, a to:

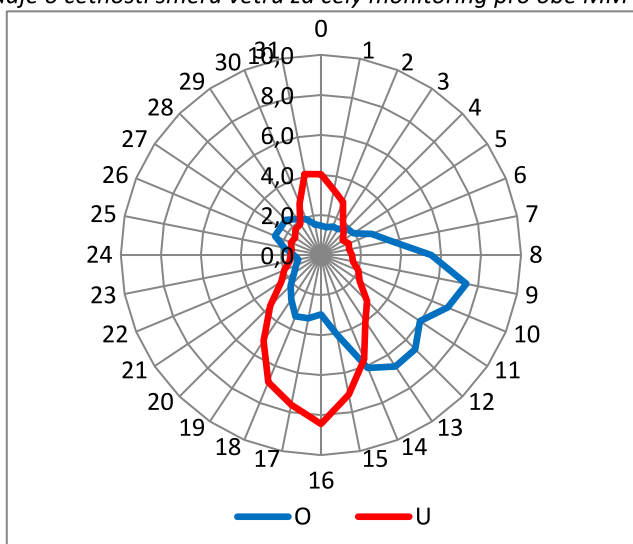
- průměrná a maximální rychlosť větru ve výšce 2 m nad terénem,
- směr větru ve výšce 2 m nad terénem,
- teplota vzduchu,
- relativní vlhkost,
- atmosférický tlak,
- srážky.

Z naměřených dat vyplývá, že četnost směru větru je v obou lokalitách rozdílná viz obrázky č. 23 až 25. Tyto rozdíly jsou způsobeny místními podmínkami morfologie terénu a jeho porostem. Celkově však v obou lokalitách převažují větry jižních směrů. To potvrzují i údaje ČHMÚ zpracované pro danou oblast, z nichž vyplývá, že větry severních směrů (od Dolu Turów) jsou celoročně poměrně málo zastoupeny. I v tomto případě lze soudit, že monitoring pokryl dostatečně i změny směru větru v dané oblasti.

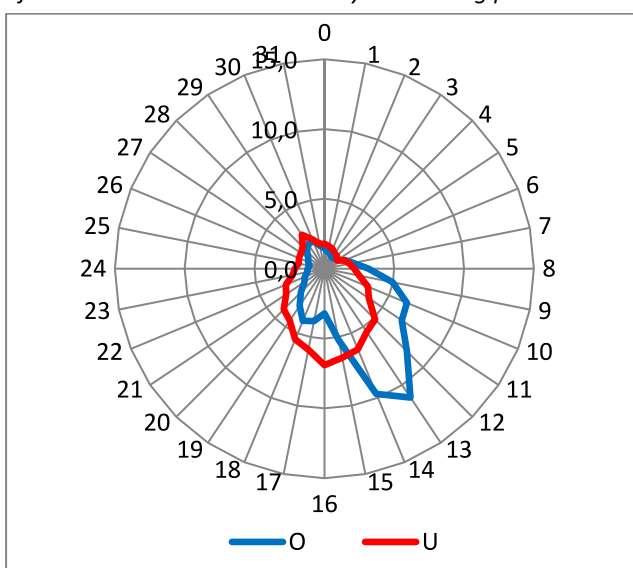
Z výhodnocení hodnot akustických i meteorologických parametrů zjištěných v jednotlivých dnech (nocích) měření vyplývá, že průměrné rychlosti větru byly velmi nízké a akustickou situaci neovlivnily. Aniojedině okamžité nárazy větru o rychlostech přibližně do $4,5 \text{ m.s}^{-1}$ neměly výrazný vliv na průměrné naměřené hodnoty. Při převážně nízkých rychlostech větru panujících v době vybraných Bloků monitoringu nebyl zjištěn významnější vliv směru větru, což je v souladu s analýzou výsledků pilotní studie v letech 2020 až 2022. Jiná situace nastala v případě setrvalého prudkého nárazového větru o rychlostech nad $5,0 \text{ m.s}^{-1}$, který v tomto případě měření časově omezil nebo i zcela znemožnil. Z výše uvedeného lze usoudit, že meteorologické podmínky v rozsahu zjištěném při vlastním dlouhodobém monitoringu měřené hodnoty ve vybraných Blocích nijak významně neovlivnily. Určitou roli však může hrát i odraz zvuku od nízké souvislé oblačnosti. To však nelze v daném případě nijak prokázat.



Obrázek 23: Souhrnné údaje o četnosti směru větru za celý monitoring pro obě MM za celé měření v roce 2022



Obrázek 24: Souhrnné údaje o četnosti směru větru za celý monitoring pro obě MM za celé měření v roce 2023



Obrázek 25: Souhrnné údaje o četnosti směru větru za celý monitoring pro obě MM za celé měření v roce 2024

4. Prostorová interpretace naměřených dat hlukové zátěže v GIS

Vzhledem k terénní členitosti lokality na straně dotčených (posuzovaných) obytných objektů a také samotných zdrojů hlukové zátěže, byl pro prostorovou interpretaci zvolen postup, který předpokládal vytvoření validovaného výpočetního modelu šíření hladin akustického tlaku.

4.1 Vytvoření modelu

Model šíření hladin akustického tlaku byl zpracován v prostředí SW LimA verze 2019.3. Veškerá vstupní data do modelu bylo nejprve zapotřebí připravit v prostředí geografického informačního systému (GIS) – ArcGIS Pro.

Vytvoření modelu zahrnovalo území o rozloze 20 km² (5 km x 4 km), které v dostatečném rozsahu pokrývalo lokalizaci zdrojů hlukové zátěže na polské straně a dotčené území na české straně. Pro sestavení výpočtového modelu je nezbytným předpokladem, aby byl použit co nejpřesnější digitální model reliéfu (DMR), který má v našem případě, kdy se jedná o velmi členité území, na šíření hlukové zátěže významný vliv. Potřebná data DMR pro Českou republiku jsme měli k dispozici. Problém byl na polské straně, kdy bylo zapotřebí velmi přesně vytvořit DMR výrazně členitého terénu vlastního dobývacího prostoru a jeho okolí až po státní hranici s ČR.

Příprava vrstevnicového plánu terénního reliéfu území dolu Turów

Zdrojem dat pro přípravu digitálního vrstevnicového plánu terénního reliéfu území dolu Turów byly webové stránky Geoportal Infrastruktury Informacji Przestrzennej (geoportal.gov.pl) geodetické a kartografické služby (Państwowy Zasob Geodezyjny i Kartograficzny) Polské republiky. Portál publikuje Numeryczny model terenu (NMT), tedy digitální model terénu, který je systematicky aktualizován technologií laserového leteckého skenování a stereofotogrammetrickým zpracováním dvojic leteckých snímků. Data NMT lze získat bezplatně ve formátu ASCII grid, nebo GeoTIFF s prostorovým rozlišením 1 metr.

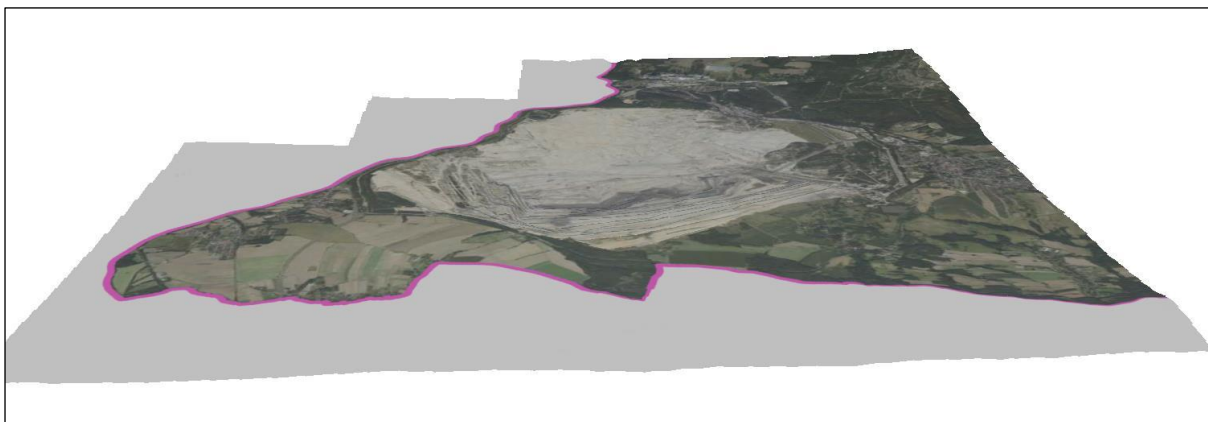
Datovou sadu NMT charakterizuje horizontální souřadnicový systém ETRS 1989 Poland CS92. Pro výškový souřadnicový systém je možné zvolit PL-KRON86-NH (*Balt po vyrovnání BpV*) nebo PL-EVRF2007-NH (*European Vertical Reference Frame*). Výškové souřadnice bodů obou rastrových formátů jsou uloženy v metrech jako reálná čísla s plovoucí desetinou čárkou na dvě desetinná místa. Data jsou strukturovaná po mapových listech 1 : 5 000, odpovídajících kladu odvozenému od Mezinárodní mapy světa 1:1 000 000. Mapové listy NMT pokrývající zájmovou oblast, byly staženy samostatně, jako jednotlivé datové soubory.

Zpracování vstupních dat s cílem vytvořit digitální vrstevnicový plán terénního reliéfu území dolu Turów, bylo provedeno v prostředí ArcGIS Pro 3.0.3. Dílčí výsledky postupných kroků zpracování byly ukládány ve formátu ESRI File geodatabase.

Získaná data NMT (v systému PL-KRON86-NH) byla nejprve mozaikováním (příkaz Mosaic To New Raster) spojena do rozsáhlejšího souvislého rastru, pokrývajícího zájmové území. Takto vytvořený rastr se stal vstupním souborem pro nástroj generující vrstevnice (příkaz Contours). Výstupem jsou lomené čáry, které reprezentují vrstevnice s vrstevnicovým intervalom 1 m. Základní vrstevnice byla zvolena pro kótou -11 m (BpV), neboť dno spodního patra dolu Turów se nachází více než 10 m pod úrovní hladiny Baltského moře.

Získané vrstevnice byly transformovány do formátu ESRI Shape File (SHP), souřadnicového systému S-JTSK, který byl následně importován do hlukového modelu.

Ukázka vizualizace vytvořeného 3D modelu terénu zájmové oblasti je uvedena na následujícím obrázku č. 26.



Obrázek 26: Vizualizace vytvořeného digitálního modelu reliéfu na polské straně území

Ostatní digitální data objektů pro model

Následně byly do modelu na základě podkladů poskytnutých polskou stranou zadány zdroje hlukové zátěže a objekty domů na české straně. Zadání polohy objektů domů a typů povrchů terénu z hlediska odrazivosti lze využít kartografický zdroj ZABAGED®. V modelu musí být jednoznačně identifikovány obytné objekty budov včetně počtu trvale bydlících obyvatel, pro které se výpočet bude provádět. V poslední fázi tvorby modelu byla ověřena jeho funkčnost výpočtem s fiktivním zdrojem lokalizovaným uvnitř dobývacího prostoru, čímž byla potvrzena rámcová funkčnost takto připraveného modelu.

Validace modelu

Pro následné použití výpočtového modelu na finální posouzení vlivu hlukové zátěže z provozu dolu Turów v dotčeném území na české straně bylo zapotřebí provést jeho alespoň rámcovou validaci.

Pro účely validace výpočtového modelu byla v prostředí GIS a s pomocí mapových služeb Google a Mapy.cz provedena analýza výběru vhodných technických míst měření (TMM), které byly před započetím vlastního měření in situ adaptovány na místní podmínky. Celkem bylo zvoleno 6 technických míst měření TMM 1 – TMM 6. Jejich lokalizace v území je patrná na obrázku č. 27.



Obrázek 27: Umístění TMM na leteckém snímku (mapy.cz)

Vlastní validační měření v TMM proběhlo ve dnech 11.–12.7.2022. Měření probíhalo paralelně na všech šesti TMM v čase 18.00 – 4.00 hod, aby bylo zajištěno, že bude zaznamenán dostatečně dlouhý časový interval, kdy bude na všech TMM zaznamenán ustálený provoz hodnoceného zdroje bez ovlivnění jinými hlukovými událostmi. Pro validační měření byly použity zvukoměry fy Brüel & Kjaer (Dánsko). Měření bylo provedeno v souladu MNKom [12] a normami ISO. Výsledky modelových výpočtů a jejich srovnání s naměřenými hodnotami je uvedeno v tabulce č. 13.

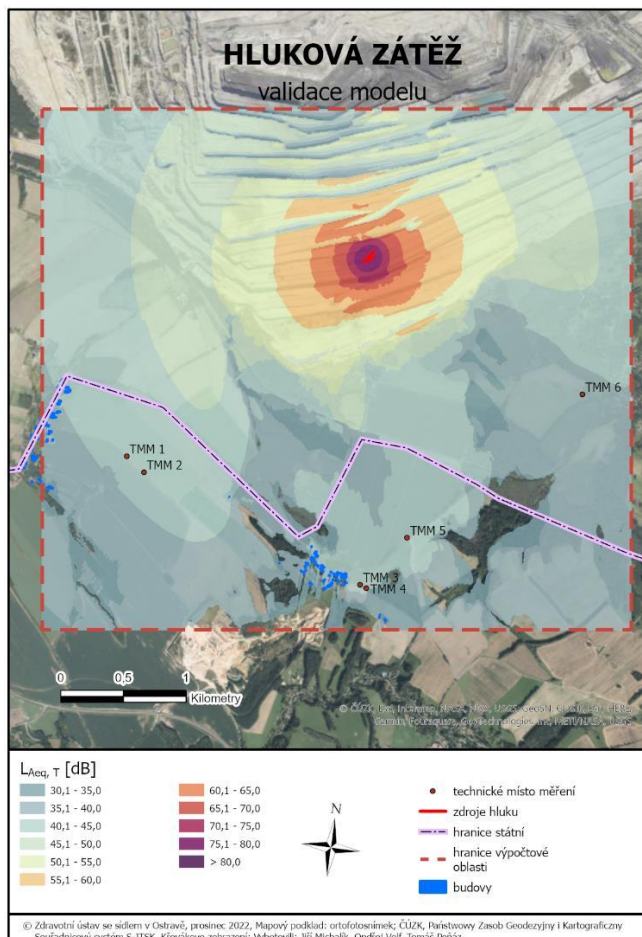
Tabulka 13: Výsledky modelových výpočtů a jejich srovnání s naměřenými hodnotami

| TMM | Model | Měření | Rozdíl |
|-----|-------------------|--------|--------|
| | $L_{Aeq,T}$ dB | | |
| 1 | 42,0 | 42,0 | 0,0 |
| 2 | 42,1 | 41,2 | 0,9 |
| 3 | 41,1 | 38,5 | 2,6 |
| 4 | 40,9 | 39,2 | 1,7 |
| 5 | 41,8 | 42,0 | -0,2 |
| 6 | 39,0 | 38,1 | 0,9 |

Z výsledků srovnání v tabulce 13 je patrné, že vykazují dostatečnou shodu pro následné zpřesňující měření, kdy rozdíl modelovaných a naměřených hodnot činí u záporných hodnot -0,2 dB a u kladných hodnot v průměru 1,3 dB. Detailní porovnání s modelovými výpočty bylo provedeno po dalším technickém měření, které zohlednilo podrobné charakteristiky všech zdrojů hlukové zátěže provozované v době měření.

Validační modelové výpočty pro následné zpracování do map byly provedeny v pravidelné síti s krokem 10 m a výpočetní výškou 4 m nad terénem. Výstupy modelu byly v prostředí SW LimA interpretovány do

5 dB pásem hlukové zátěže a následně převedeny do GIS formátu SHP. Výsledná mapa byla zpracována v prostředí SW ArcGIS Pro 3.0.3 a je uvedena na obrázku č. 28.



Obrázek 28: Znázornění výstupu modelu hlukové zátěže

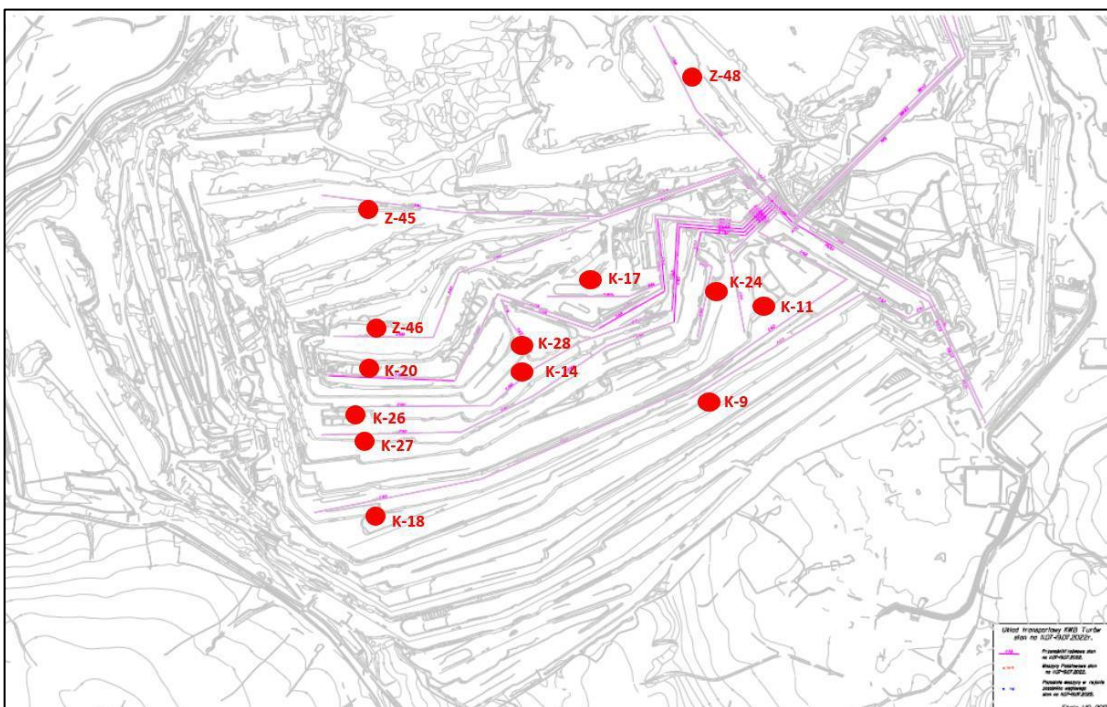
4.2 Zpřesnění modelu pro vlastní výpočet dotčené populace

V roce 2023 pokračovala v souladu s harmonogramem prostorová interpretace dat validací modelu na základě výsledků pro tento účel zaměřeného monitoringu hluku. Oproti validaci modelu v roce 2022 byla validace modelu tentokrát zaměřena na zpřesnění lokalizace jednotlivých zdrojů hluku na základě poskytnutých podkladů o evidenci činností v dole ze strany jeho provozovatele. I pro tuto zpřesňující validaci modelu byla použita data z měření ve dnech 11.-12.07.2022, která koresponduje s dotazníkovým šetřením.

Významné zpřesnění modelu bylo provedeno především na straně akustické a prostorové specifikace jednotlivých zdrojů hluku. Tyto jsou tvořeny především následně uvedenými skupinami zdrojů hluku:

- Základní důlní stroje – rypadla, zakládkové stroje, nakladače;
- Dopravníky k odběru a jejich pohonné stanice;
- Dopravníky rypadel a zakladkových strojů a jejich pohonné stanice;
- Pomocné stroje a zařízení.

Přesná lokalizace zdrojů hluku byla do digitální podoby v systému GIS (vhodný formát pro následný import do modelu) zanesena z poskytnutých podkladových mapek a tabulek, a jejich akustické parametry z přehledových tabulek akustické studie [11].



Obrázek 29: Umístění velkých zdrojů hluku v dole Turów v průběhu validačního měření

Tabulka 14: Přehled velkých zdrojů hluku v dole Turów v průběhu validačního měření

| Těžební zařízení - zdroj hluku | | | | 3.kolo | | | | | | | |
|--------------------------------|------|-------------------|-------------|--------|-------|-------|-------|-------|-------|-------|-------|
| | | | | Provoz | | | | | | | |
| Poř.č. | Ozn. | Název | Typ | 11.7. | 12.7. | 13.7. | 14.7. | 15.7. | 16.7. | 17.7. | 18.7. |
| 1. | K-9 | Kolesové rypadlo | KWK-1500 S | ■ | | | | | | | ■ |
| 2. | K-11 | Kolesové rypadlo | KWK-1500 S | ■ | | | | | | | ■ |
| 3. | K-14 | Kolesové rypadlo | KWK-1200 M | ■ | | | | | | | ■ |
| 4. | K-15 | Kolesové rypadlo | KWK-1500 S | ■ | ■ | ■ | ■ | ■ | ■ | ■ | ■ |
| 5. | K-17 | Kolesové rypadlo | KWK-910 | ■ | ■ | ■ | ■ | ■ | ■ | ■ | ■ |
| 6. | K-18 | Kolesové rypadlo | KWK-1500.1 | ■ | ■ | ■ | ■ | ■ | ■ | ■ | ■ |
| 7. | K-20 | Korečkové rypadlo | KWL-800 | ■ | ■ | ■ | ■ | ■ | ■ | ■ | ■ |
| 8. | K-22 | Kolesové rypadlo | SchRs 1200 | ■ | ■ | ■ | ■ | ■ | ■ | ■ | ■ |
| 9. | K-24 | Kolesové rypadlo | SchRs 1200 | ■ | ■ | ■ | ■ | ■ | ■ | ■ | ■ |
| 10. | K-26 | Kolesové rypadlo | KWK-1200 M | ■ | ■ | ■ | ■ | ■ | ■ | ■ | ■ |
| 11. | K-27 | Kolesové rypadlo | KWK-1200 M | ■ | ■ | ■ | ■ | ■ | ■ | ■ | ■ |
| 12. | K-28 | Kolesové rypadlo | KWK-1200 M | ■ | ■ | ■ | ■ | ■ | ■ | ■ | ■ |
| 13. | Z-45 | Zakladač | ARsP | ■ | ■ | ■ | ■ | ■ | ■ | ■ | ■ |
| 14. | Z-46 | Zakladač | ZGOT-6300 | ■ | ■ | ■ | ■ | ■ | ■ | ■ | ■ |
| 15. | Z-48 | Zakladač | ZGOT-11 500 | ■ | ■ | ■ | ■ | ■ | ■ | ■ | ■ |
| 16. | Z-49 | Zakladač | ? | ■ | ■ | ■ | ■ | ■ | ■ | ■ | ■ |
| 17. | Z-6 | Zakladač | ZSOT-4500 | ■ | ■ | ■ | ■ | ■ | ■ | ■ | ■ |

Poznámka: Zdroje v provozu (zelené podbarvení), mimo provoz (červené podbarvení). Žlutě jsou podbarvena rypadla umístěná nejblíž k ČR a současně nejvyšší za jihovýchodní hranou dolu.

Pro účely zpřesněné validace výpočtového modelu byla použita identická technická místa měření (TMM). Celkem bylo k validaci použito 8 technických míst měření označených TMM 1 – TMM 8. Data pro TMM 7 a TMM 8 byla převzata z dlouhodobého stacionárního monitoringu pro lokality Oldřichov na Hranicích a Uhelná. Lokalizace TMM v zájmovém území je patrná z následujícího obrázku č. 30. Vlastní validační měření na TMM proběhlo ve dnech 11. až 12.07.2022. Měření probíhalo paralelně na všech TMM 1 až 6 v čase 18.00 – 4.00 hod, aby bylo zajištěno, že bude zaznamenán dostatečně dlouhý časový interval, kdy bude na všech TMM zaznamenán ustálený provoz hodnoceného zdroje bez ovlivnění jinými hlukovými událostmi.



Obrázek 30: Umístění TMM na leteckém snímku (mapy.cz)

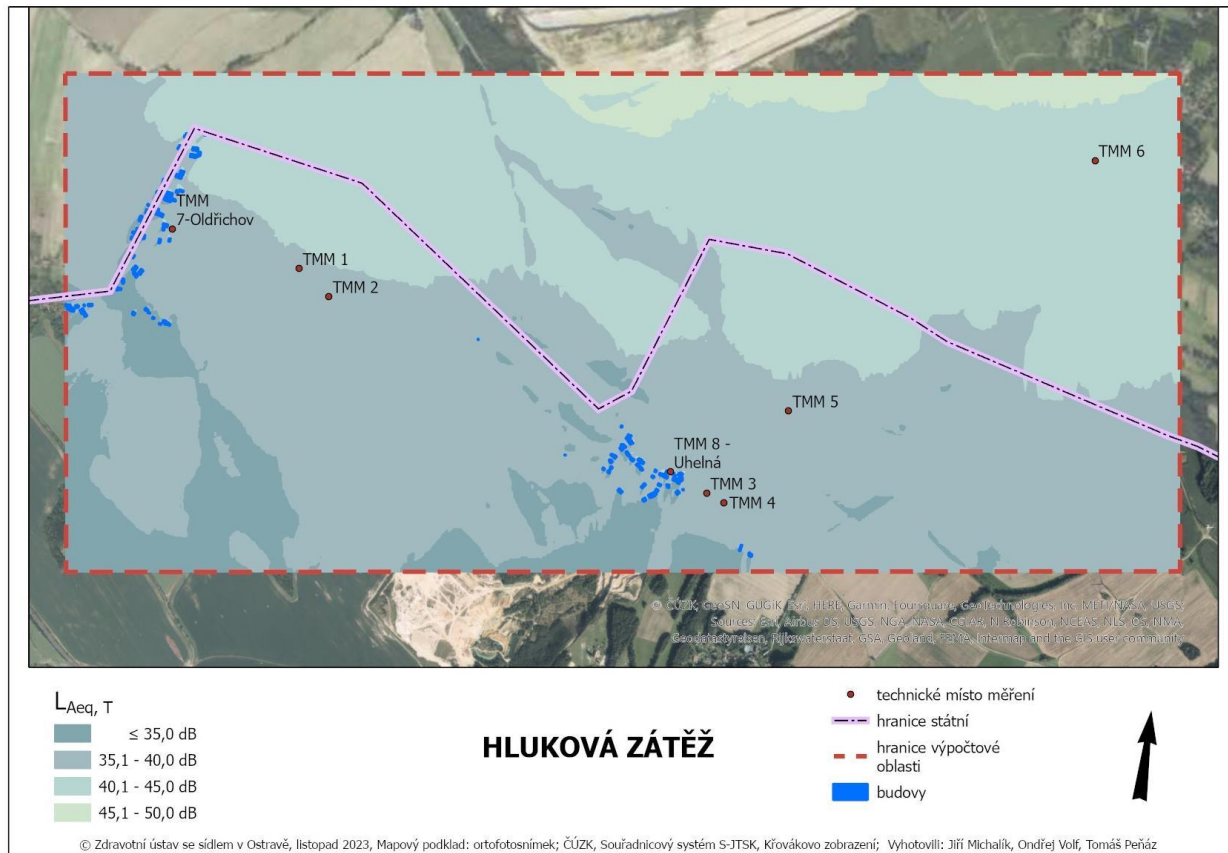
Tabulka 15: Výsledky modelových výpočtů a jejich srovnání s naměřenými hodnotami

| TMM | Model | Měření | Rozdíl |
|-----|-------------------|--------|--------|
| | $L_{Aeq,T}$ dB | | |
| 1 | 39,8 | 39,7 | 0,1 |
| 2 | 39,6 | 40,4 | -0,8 |
| 3 | 38,3 | 37,5 | 0,8 |
| 4 | 37,5 | 37,6 | -0,1 |
| 5 | 39,5 | 41,1 | -1,6 |
| 6 | 44,0 | 39,1 | 4,9 |
| 7 | 38,4 | 38,9 | -0,5 |
| 8 | 38,8 | 39,0 | -0,2 |

Z výsledků srovnání v tabulce 15 je patrné, že vykazují dobrou shodu, kromě bodu TMM 6 (rozdíl 4,9 dB), který se nachází na polském území nejbliže dolu a v jiném kvadrantu než ostatní hodnocené TMM. Pokud bychom vyhodnotili rozptyl modelovaných a měřených hodnot (vyjma bodu TMM 6), tak rozpětí rozdílu mezi modelovanými a měřenými hodnotami se pohybuje v intervalu $\leq -1,6; 0,8 \geq$ dB.

Zpřesněný modelový výpočet pro následné zpracování do map byl proveden v pravidelné síti s krokem 10 m a výpočetní výškou 4 m nad terénem. Výstup modelu byl v prostředí SW LimA interpretován do 5 dB

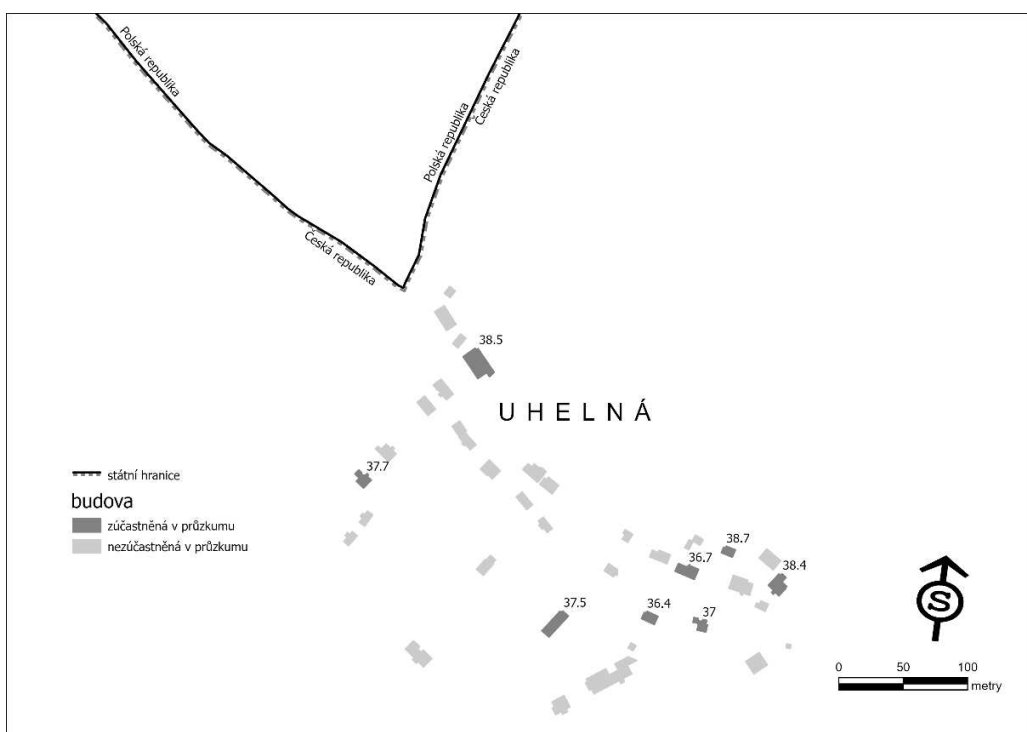
pásem hlukové zátěže a následně převeden do GIS formátu SHP. Takto zpracované výsledky modelových výpočtů budou použity pro propojení dat z dotazníků a modelu. Výsledné mapy byly zpracovány v prostředí SW ArcGIS Pro 3.1.3 a ukázka je uvedena na obrázku č. 31.



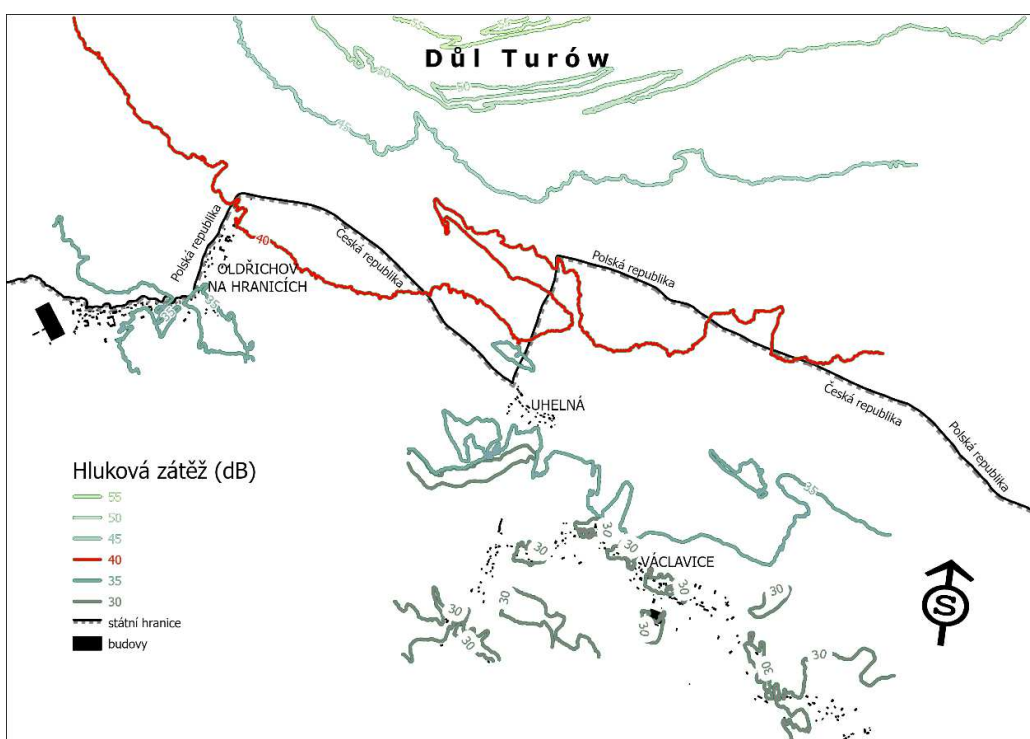
Obrázek 31: Znázornění jednoho z výstupů zpřesněného modelu hlukové zátěže

4.3 Podklad pro propojení dat z modelových výpočtů a dotazníků

Výstup modelu byl v prostředí SW LimA interpretován do 5 dB pásem hlukové zátěže a následně převeden do GIS formátu SHP. Výsledky modelových výpočtů byly použity pro propojení dat z dotazníkového šetření a modelu. Výsledné mapy byly zpracovány v prostředí SW ArcGIS Pro 3.1.3, ukázka je uvedena na obrázku č. 32 a č. 33.



Obrázek 32: Znázornění jednoho z výstupů prostorové interpretace naměřených dat hlukové zátěže



Obrázek 33: Hluková zátěž z provozu povrchového dolu Turów

Byl proveden výpočet expozice dotčených objektů. V daném výpočtovém SW se stanoví hladina L_n (dB) 2 m před daným zdrojem hluku nejvíce exponovanou fasádou obytných objektů v zájmovém území. Výpočet byl proveden pro cirkulační body pro výšku 3 m nad úrovní terénu, popř. i v jednotlivých podlažích. Byl vyloučen odraz od fasády objektů. Byl zvolen výpočet formou cirkulačních bodů na fasádách objektů, aby bylo možno vyhodnotit komplexní expoziční dotčených objektů budov. Tyto výsledky tvoří podklad pro následnou analýzu ve vztahu k dotazníkovým šetřením.

5. Socio-akustická studie

Pro zjištění vnímání obtěžování hlukem dotčeného obyvatelstva se realizují socio-akustické studie, které hodnotí subjektivní vnímání expozice hlukem. Jako jeden z hlavních indikátorů se vyhodnocuje rušení spánku. Neexistuje žádná univerzální přijatá definice vysoké míry obtěžování nebo standardizovaný způsob jejího měření; nejčastějším způsobem je zjišťování obtěžování hlukem na 5stupňové Likertově škále a za vysokou míru obtěžování jsou považovány 2 horní kategorie škály [15].

Hlavním cílem socio-akustické studie bylo vyhodnotit vztah mezi naměřenými hodnotami hluku z důlní činnosti a subjektivním vnímáním rušení spánku. Sekundárním cílem bylo vyhodnotit, jak je tento indikátor významný ve srovnání s dalšími problémy v zájmových lokalitách a také ve srovnání s kontrolní oblastí. Dále zjistit faktory, které mohou vnímání tohoto problému ovlivňovat.

5.1 Metodická část

5.1.1 Příprava dotazníků a metodiky sběru dat

Pro studii byl vytvořen dotazník, který vycházel ze standardizovaných dotazník různých studií (HELEN, EHIS, CESAR, SF12, PSQI9), některé otázky byly mírně modifikovány. Dotazník (Příloha 1) obsahoval 6 domén:

- A. Všeobecná část – zahrnuje základní sociodemografické charakteristiky
- B. Vnímání rizik – Otázka B1 zjišťuje, za jak závažné považuje respondent jednotlivé obecné problémy (20 problémů), v otázce B2 je respondent vyzván, aby hodnotil již konkrétní problémy životního prostředí, které ho v místě bydliště obtěžují. Je zde uvedeno 14 problémů, které nesledují jen hluk, ale další problémy, jež mohou být zdrojem obtěžování. V případě vyšší míry obtěžování hlukem (3-5 na 5stupňové Likertově škále) jsou respondenti vyzváni ke specifikaci hluku. V této části respondenti uvádějí i trend vývoje hlukové situace za posledních 5 let a instituce, které za řešení problémů zodpovídají.
- C. Zdravotní stav
- D. Životní styl
- E. Spokojenost se životem/kvalita života
- F. Délka pobytu v dané exponované/kontrolní oblasti

Pro zajištění maximální návratnosti byla připravena i elektronická verze dotazníku s využitím SW Click4survey (<https://www.click4survey.cz/s4/50588/5a06ddb8>). Byl zpracován informovaný souhlas pro respondenty dotazníkového šetření a metodika projektu byla schválena Etickou komisí LF OU pod č. 07/2022. Informace o projektu pro respondenty byly umístěny na webových stránkách LF OU. Byla zahájena jednání s místostarostou Hrádku nad Nisou o podpoře Městského úřadu v průběhu projektu a dohodnuto osobní jednání s řešiteli. To proběhlo v rámci pilotní studie. Vedení města operativně zařídilo informování veřejnosti o právě zahajované pilotní fázi šetření v časopisu Městského úřadu Hrádecko č. 5/2022 https://www.hradek.eu/archiv/prilohy/m_clanek/439-5029-05--LLHwrg.pdf a informaci o zahájení hlavní fáze dotazníkového šetření v Hrádecku č. 6/2022. Hrádek nad Nisou má systém informování svých občanů prostřednictvím SMS zpráv, i tento kanál byl využit pro informování o právě zahajovaném dotazníkovém šetření v aktuální den. Z Matriky Městského úřadu byly získány upřesněné počty obyvatel zájmového území – Tabulka č. 16.

Tabulka 16: Počet trvale obydlených budov, počet obyvatel a obyvatel starších 15 let v obcích zájmového území

| Název obce | Počet domů* | Celkový počet obyvatel* | Počet obyvatel nad 15 let** | Charakteristika území v projektu |
|------------------------|-------------|-------------------------|-----------------------------|----------------------------------|
| Oldřichov na Hranicích | 75 | 229 | 178 | zájmové území |
| Uhelná | 15 | 50 | 42 | zájmové území |
| Václavice | 129 | 441 | 360 | kontrolní oblast |
| Celkem | 219 | 720 | 580 | |

*Zdroj: ČSÚ. Výkaz 130084150513, rok 2011

**Matrika města Hrádek nad Nisou

5.1.2 Zaškolení osob zajišťujících distribuci dotazníků a jejich kontrolu a sběr

V průběhu zpracování metodiky pro školení tazatelů dospěl autorský tým k závěru, že koordinace a řízení terénních prací na dálku by bylo mimořádně obtížné a řešitelé upustili i od původně zamýšleného roznosu dotazníků prostřednictvím spolupracující poštovní doručovatelky. Došlo ke změně původně zamýšlené metody distribuce a sběru dotazníků a tato činnost byla svěřena na projektu se podílející mladé výzkumnici. Pro poslední úpravy metodiky byla proto nutná osobní účast celého řešitelského týmu LF OU.

5.1.3 Pilotní studie

Pilotní studie proběhla ve dnech 3. až 5.05.2022. Z osobního kontaktu s obyvateli obcí v zájmové oblasti bylo zřejmé, že jejich ochota k zapojení se do studie je minimální. Na základě výsledků pilotní studie byl modifikován způsob vyplnění dotazníků a doručení informovaných souhlasů tak, aby to bylo pro respondenty co nejjednodušší. Také došlo ke zkrácení dotazníku a upuštění od otázek, jejichž vyplnění bylo negativně hodnoceno ze strany respondentů.

5.1.4 Hlavní dotazníková studie – 1. fáze (2022)

Hlavní fáze dotazníkového šetření byla zahájena v červnu. Z důvodu nízkého zapojení obyvatel bylo rozhodnuto o navýšení odměny za vyplnění dotazníku z 200,- Kč na 400,- Kč a dodatečné proplacení rozdílu i respondentům z pilotní studie a červnové fáze šetření. Další fáze distribuce a sběru dotazníků byla realizována v červenci, srpnu a následně v září s cílem navýšit velmi nízkou návratnost (13,3 %).

5.1.5 Opakovací studie

Cílem opakovací studie bylo ověřit reliabilitu odpovědí, a to jednak u faktických otázek (pohlaví, věk, vzdělání apod.) a dále u percepčních otázek B1 a B2. Z výsledků opakovací studie je možné konstatovat, že u faktických otázek byla zjištěna naprostá shoda a u percepčních je shoda značná. Z rozdílů procent shody je možno usuzovat, nakolik je možno se spolehnout na informace označené respondenty a nakolik se jedná o nahodilé stanovení, v tomto případě míry závažnosti uvedených problémů. Z percepce závažnosti různých obecných problémů měli respondenti nejkonstantnější názor na významnost zdraví (vlastního i rodiny) a stav podzemních vod, z problémů životního prostředí názor na znečištění veřejných prostranství, prašnost v okolí bydliště, zápach v okolí bydliště a nedostatek pitné vody v místě bydliště. Naopak vysokou míru nahodilého označení odpovědí vykazovala z obecných problémů percepce závažnosti problematiky větrných elektráren a z problémů životního prostředí závažnosti automobilové dopravy v místě bydliště. Limitací opakovací studie byl poměrně malý vzorek.

5.1.6 Vyhodnocení 1. fáze hlavní dotazníkové studie

Analýza dat dotazníkového šetření probíhala v měsíci září tak, aby bylo možno upravit dotazníky před zahájením 2. fáze v roce 2023.

Na základě velmi nízké návratnosti dotazníků v 1. hlavním dotazníkovém šetření, po osobním kontaktu s obyvateli a jejich zpětné vazbě lze odhadnout, že obyvatelé zájmových obcí se dlouhodobým řešením této problematiky již cítí být obtěžováni a ztrácí důvěru ve zlepšení stavu životního prostředí v lokalitě jejich bydliště. Za dlouhou dobu řešení této situace byli také osloveni mnoha institucemi, médií a správními orgány.

Z předběžných výsledků 1. hlavního dotazníkového šetření vyplývá, že hluk z důlní činnosti, resp. hluk z průmyslových zdrojů, hodnotí obyvatelé sledované oblasti jako velmi rušivý. Stavební hluk, pouliční nebo sousedský hluk je v zájmových oblastech hodnocen obyvateli jako méně závažný problém. Obyvatelům kontrolní oblasti činí problém naopak nedostatek pitné vody vzhledem k absenci veřejného vodovodu a využívání podzemních vod jako hlavního zdroje pitné vody. Dále je problémem kontrolní oblasti i znečištění vodních toků v okolí bydliště. Úbytek spodních vod i znečištění vodních toků lze přisuzovat právě těžební činnosti v dole Turów.

Mimo námi zkoumaná rizika uvádějí respondenti ze sledované i kontrolní oblasti jako velmi závažný problém světelné znečištění pocházející z přilehlého pěstování rajčat ve sklenících využívajících odpadní teplo z hnědouhelné elektrárny, které přirovnávají k celonoční záři zapadajícího slunce i přesto, že se provozovatel již před několika lety zavázal k odstínění skleníků speciálními roletami. Do dotazníku byla doplněna otázka týkající se světelného znečištění provozem dolu Turów, které obyvatelé exponované oblasti zmiňovali.

5.1.7 Příprava 2. fáze dotazníkové studie

Pro zvýšení motivace k zapojení do dotazníkového šetření byla navýšena odměna za vyplnění dotazníku na 500,- Kč. Do místního časopisu Hrádecko byla připravena informace o výsledcích 1. dotazníkového šetření a zároveň byla uvedena informace o navýšení odměny.

Na základě výsledků 1. dotazníkového šetření byl dotazník rozšířen o další faktor, který byl obyvateli vnímán, a to je světelné znečištění.

Na základě zkušeností z prvního kola dotazníkového šetření bylo pro rok 2023 rozhodnuto, že se již dotazníky nebudou sbírat formou odpovědných obálek, ale obyvatelé budou opět osloveni osobně a bude proveden i kvalitativní výzkum, v němž budou zjišťovány hlavně důvody neochoty se zapojit do dotazníkového šetření, byl připraven dotazník pro ne-respondenty (Příloha 2).

5.1.8 Druhé dotazníkové šetření (2023)

Opět před zahájením dotazníkového šetření byla ve spolupráci s vedením města Hrádek nad Nisou obyvatelům sledovaných obcí rozeslána SMS informace o připravovaném dotazníkovém šetření.

Druhé dotazníkové šetření probíhalo v období červenec-září 2023. V tomto období byli osloveni všichni obyvatelé, kteří se v danou dobu nacházeli v místě svého bydliště a byli ochotni komunikovat. Občané, kteří odmítli vyplnit dotazník, ale komunikovali, byli dotázáni na důvod neochoty se do šetření zapojit.

5.2 Vyhodnocení

Vyhodnocení proběhlo na třech úrovních:

- vyhodnocení ne-respondentů (n = 22)
- vyhodnocení na souboru osob, které odpověděly v 1. i 2. šetření (n = 21)
- vyhodnocení hlavních výstupů osob zapojených do dotazníkového šetření celkem (n = 113)

5.2.1 Vyhodnocení důvodů ne-responsence

Důvody ne-responsence byly zjišťovány ve druhém dotazníkovém šetření, celkem bylo získáno 22 dotazníků pro ne-respondenty – Tabulka č. 17.

Tabulka 17: Počty ne-respondentů dle oblastí

| Obec (místo trvalého bydliště) | Pohlaví | |
|--------------------------------|----------|-----------|
| | Muž | Žena |
| Václavice | 1 | 3 |
| Oldřichov na Hranicích | 4 | 9 |
| Uhelná | 4 | 1 |
| Celkem | 9 | 13 |

Mezi hlavní důvody ze strany ne-respondentů patřil obecně nezájem zapojit se do dotazníkového šetření – Tabulka č. 18.

Tabulka 18: Hlavní důvody nezájmu zapojit se do dotazníkového šetření

| Obec (místo trvalého bydliště) | Důvod nezájmu | Počet |
|---|---|-------|
| Václavice – kontrolní oblast | 1. Nezajímá mě toto téma | 1 |
| | 2. Bydlím zde po krátkou dobu – nemám zatím názor | 2 |
| | 3. Nevěřím státním institucím – nepomůžou mé obci | 1 |
| Oldřichov na Hranicích – sledovaná oblast | 1. Nezajímá mě toto téma | 4 |
| | 4. Již jsem dotazník vyplňoval/a | 1 |
| | 5. Nemám čas dotazník vyplnit | 2 |
| | 6. Dotazník nemá smysl vyplňovat, více mě trápí nedostatek vody | 1 |
| | 7. Nemá smysl dotazník vyplňovat, k ničemu to nepovede | 2 |
| | 8. Problém Turówa není v lokalitě významný | 1 |
| | 9. Obávám se, že nebude zachována anonymita | 1 |
| | 10. Kvalita v obci je dobrá, nic mě netrápí | 2 |
| | 11. Nemožnost finanční kompenzace | 1 |
| | 10. Kvalita v obci je dobrá, nic mě netrápí | 3 |
| | 12. Nebydlím zde trvale, pouze dojíždím na chatu | 1 |
| | 13. Aktuálně nevím, vrátil/a jsem se z dovolené | 1 |

5.2.2 Srovnání 1. a 2. dotazníkového šetření – studie reliability

Cílem tohoto vyhodnocení bylo zjistit, zda se lišily odpovědi respondentů v čase bez ohledu na oblast. Do druhého šetření se zapojilo 54 osob, z nichž se 21 zapojilo do výzkumu i v roce 2022 – Tabulka č. 19. Sledovaný soubor tedy tvořilo 21 osob, z toho 13 ze sledované oblasti a 8 z kontrolní oblasti, do šetření se zapojilo 13 (52 %) žen a 8 (32 %) mužů.

Pro vyhodnocení byl použit Kappa index a párový Wilcoxonův test.

U pohlaví byla zjištěna 100% shoda, v rodinném stavu byla zjištěna 76% shoda a u vzdělání 95% shoda. V hlavních výstupech (otázka B1 a B2) byly zjištěny rozdíly u hodnocení závažnosti Zdraví ($p = 0,039$), došlo k poklesu hodnoty, také u Ekonomické situace a Zdražování energií došlo ke statisticky významnému snížení v hodnocení závažnosti ($p = 0,0498$ resp. $p = 0,046$). U dalších otázek tykajících se vnímání závažnosti různých rizik nedošlo ke statisticky významné změně. U otázky B2 - Vnímání problémů životního prostředí v místě bydliště došlo k pozitivní změně v hodnocení Znečištění ovzduší v okolí bydliště ($p = 0,016$).

Tabulka 19: Počty osob zapojených v jednotlivých dotazníkových studiích

| Obec (místo trvalého bydliště) | Obyvatelé nad 15 let | 1. šetření | 2. šetření | 1. i 2. šetření | Celkem osob | Návratnost |
|--------------------------------|----------------------|------------|------------|-----------------|-------------|---------------|
| Václavice – Kontrolní oblast | 360 | 40 | 21 | 8 | 53 | 14,7 % |
| Oldřichov na Hranicích | 178 | 30 | 21 | 6 | 45 | 25,3 % |
| Uhelná | 42 | 10 | 12 | 7 | 15 | 35,7 % |
| Celkem | 580 | 80 | 54 | 21 | 113 | 19,5 % |

5.2.3 Vyhodnocení dotazníkového šetření

Celkově byl získán dotazník od 113 osob z 580 osob starších 15 let, návratnost 19,5 %, včetně nerespondentů 23,3 % (Tabulka č. 19). Každý účastník je do studie zařazen 1krát na základě prvního vstupu do studie. Exponovanou oblast tvoří obce Uhelná ($n = 16$) a Oldřichov ($n = 43$), kontrolní oblast obec Václavice ($n = 54$).

Pro analýzu dat byla použita základní popisná statistika včetně 95% intervalu spolehlivosti. Vyhodnocení rozdílů mezi oblastmi byl použit chí-kvadrát test, Fisherův exaktní test a Mann–Whitney test na hladině významnosti 5 %. Pro vnímání obecných problémů a problémů životního prostředí v místě bydliště a faktorů, které je mohou ovlivňovat byl použit model binární logistické regrese, bylo vypočteno hrubé (crude) OR (odds ratio) a plně adjustované OR s 95 % intervaly spolehlivosti. Pro vyhodnocení byl použit program Stata verze 17.

A – Všeobecné otázky

V sociodemografických charakteristikách se respondenti statisticky významně nelišili mezi oblastmi – Tabulka č. 20. Do studie vstoupilo 54 % žen a 46 % mužů, rozdíl mezi oblastmi nebyl statisticky významný ($p = 0,748$). Lidé zapojení do studie bydlí v dané lokalitě v průměru 21 let. Průměrný věk byl 51,1 let, v rozmezí 17 až 91 let. Respondenti byli dle věku rozděleni do 6 kategorií, nejvíce byla zastoupena věková skupina 61-70 let a dále skupina 41-50 let, rozdělení bylo obdobné u obou oblastí ($p = 0,961$). Dle rodinného stavu byly osoby rozděleny na žijící s partnerem (65,5 %) a žijící samy (34,5 %), opět se oblasti statisticky významně nelišily ($p = 0,801$). Dle vzdělání byly nejvíce zastoupeny osoby s nižším vzděláním (bez maturity) (42,5 %) a s maturitou (45,1 %) ($p = 0,874$). Na základě uvedeného sociálního postavení byli respondenti rozděleni dle převažující činnosti na ekonomicky aktivní a neaktivní, kdy rozdělení bylo přibližně shodné (48 % aktivní a 52 % neaktivní), z ekonomicky aktivních osob 37 % vykonává práci mimo domov. Na otázku, do jaké míry si respondenti myslí, že práce ovlivňuje jejich zdraví, odpovědělo přibližně 10 %, že ano. Necelých 10 % respondentů pokládá svou ekonomickou situaci za špatnou.

Tabulka 20: Srovnání oblastí v sociodemografických charakteristikách (otázky A)

| Oblast Proměnná | Kategorie | 1: Exponovaná (n = 59) | 2: Kontrolní (n = 54) | Celkem (n = 113) | p-hod. |
|------------------------|--|---|--|---|--------------------|
| A1: Pohlaví | 1: muž 2: žena | 28 (47,5 %) 31 (52,5 %) | 24 (44,4 %) 30 (55,6 %) | 52 (46,0 %) 61 (54,0 %) | 0,748 ¹ |
| A2: Věk (roky) | ar. průměr ±sd | 50,5±16,93 | 51,8±19,95 | 51,1±18,38 | 0,767 ² |
| Kategorie | 1: 15-30 2: 31-40 3: 41-50 4: 51-60 5: 61-70 6: 71+ chybějící hod. | 8 (13,6 %) 8 (13,6 %) 13 (22,0 %) 7 (11,9 %) 12 (20,3 %) 7 (11,9 %) 4 (6,8 %) | 9 (16,7 %) 5 (9,3 %) 11 (20,4 %) 6 (11,1 %) 13 (24,1 %) 8 (14,8 %) 2 (3,7 %) | 17 (15,0 %) 13 (11,5 %) 24 (21,2 %) 13 (11,5 %) 25 (22,1 %) 15 (13,3 %) 6 (5,3 %) | 0,961 ¹ |
| A3: Rodinný stav | 1: svobodný/á 2: ženatý/vdaná 3: partnerské soužití 4: rozvedený/á 5: vdovec/vdova | 14 (23,7 %) 30 (50,8 %) 8 (13,6 %) 5 (8,5 %) 2 (3,4 %) | 10 (18,5 %) 32 (59,3 %) 4 (7,4 %) 3 (5,6 %) 5 (9,3 %) | 24 (21,2 %) 62 (54,9 %) 12 (10,6 %) 8 (7,1 %) 7 (6,2 %) | 0,482 ² |
| Kategorie | 0: partner 1: sám | 38 (64,4 %) 21 (35,6 %) | 36 (66,7 %) 18 (33,3 %) | 74 (65,5 %) 39 (34,5 %) | 0,801 ¹ |
| A4: Vzdělání | 1: ZŠ (i neukončené) 2: UŠ, SŠ bez maturity 3: SŠ s maturitou 4: VOŠ 5: VŠ | 8 (13,6 %) 16 (27,1 %) 28 (47,5 %) 1 (1,7 %) 6 (10,2 %) | 5 (9,3 %) 19 (35,2 %) 23 (42,6 %) 1 (1,9 %) 6 (11,1 %) | 13 (11,5 %) 35 (31,0 %) 51 (45,1 %) 2 (1,8 %) 12 (10,6 %) | - |
| Kategorie | 1: ZŠ, SŠ bez mat. 2: SŠ s maturitou 3: VOŠ, VŠ | 24 (40,7 %) 28 (47,5 %) 7 (11,9 %) | 24 (44,4 %) 23 (42,6 %) 7 (13,0 %) | 48 (42,5 %) 51 (45,1 %) 14 (12,4 %) | 0,874 ¹ |
| A5: Sociální postavení | 1: V zaměstnanecém poměru 2: Soukromý p. (OSVČ) 3: V domácnosti (včetně RD) | 25 (42,4 %) 8 (13,6 %) 6 (10,2 %) | 23 (42,6 %) 4 (7,4 %) 1 (1,9 %) | 48 (42,5 %) 12 (10,6 %) 7 (6,2 %) | - |

ZDRAVOTNÍ ÚSTAV SE SÍDLEM V OSTRAVĚ

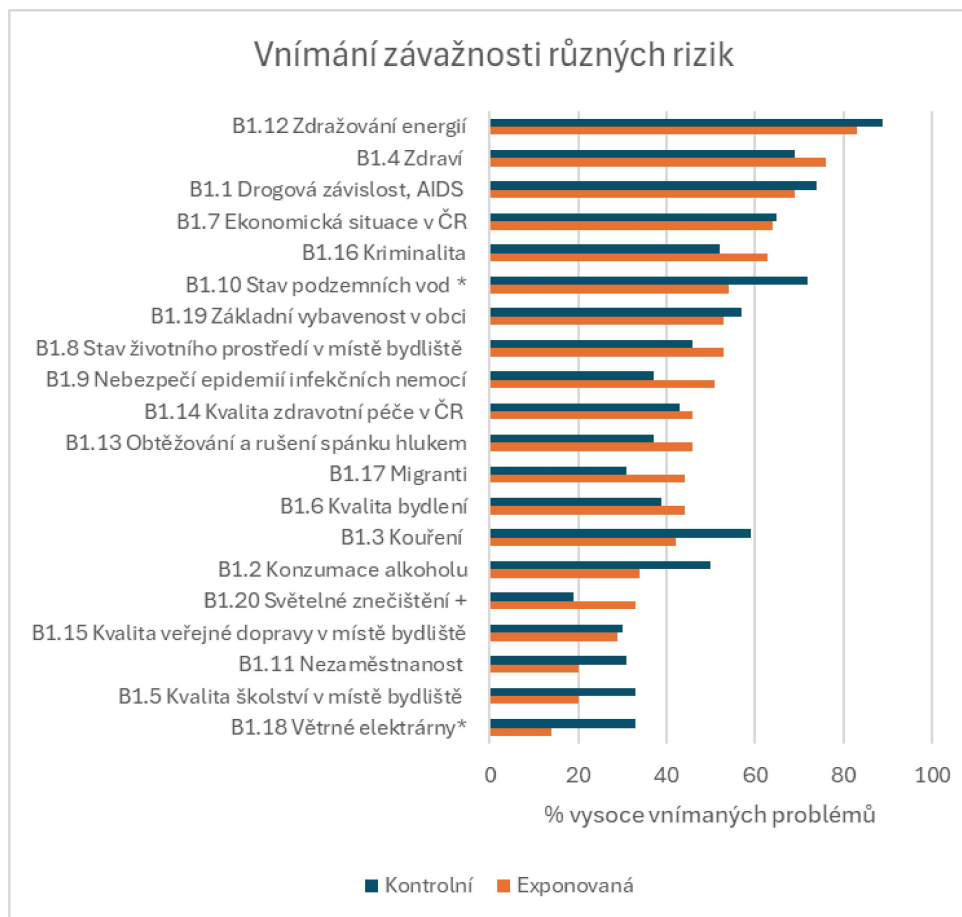
SOUHRNNÁ VÝZKUMNÁ ZPRÁVA projektu SS05010044 „PROBLEMATIKA HODNOCENÍ VZTAHU EXPOZICE-ODEZVA OSOB EXPONOVANÝCH V ŽIVOTNÍM PROSTŘEDÍ HLUKEM Z DŮLní ČINNOSTI“

| Oblast Proměnná | Kategorie | 1: Exponovaná (n = 59) | 2: Kontrolní (n = 54) | Celkem (n = 113) | p-hod. |
|---------------------------------|--|--|--|---|--------------------|
| | 4: Trvale pečující o os. blízkou 5: Důchodce 6: Nezaměstnaný 7: Ostatní (upřesněte) student brigáda | 0 (0,0 %) 15 (25,4 %) 2 (3,4 %) 5 (8,5 %) 3 (5,1 %) 2 (3,4 %) | 1 (1,9 %) 23 (42,6 %) 2 (3,7 %) 5 (9,3 %) 4 (7,4 %) 1 (1,9 %) | 1 (0,9 %) 38 (33,6 %) 4 (3,5 %) 10 (8,8 %) 7 (6,2 %) 3 (2,7 %) | |
| Ekonomická aktivita | 0: ne 1: ano | 26 (44,1 %) 33 (55,9 %) | 28 (51,9 %) 26 (48,1 %) | 54 (47,8 %) 59 (52,2 %) | 0,408 ¹ |
| A6: Výkon povolání | 1: V bytě/domě 2: V místě bydliště (v obci) 3: Mimo obec | 2 (3,4 %) 10 (16,9 %) 22 (37,3 %) | 2 (3,7 %) 5 (9,3 %) 20 (37,0 %) | 4 (3,5 %) 15 (13,3 %) 42 (37,2 %) | - |
| Kategorie | 0: práce mimo obec 1: přibližně 24 hod. v obci | 22 (37,3 %) 37 (62,7 %) | 20 (37,0 %) 34 (63,0 %) | 42 (37,2 %) 71 (62,8 %) | 0,978 ¹ |
| A7: Zdrav. stav. ovlivněn prací | 1: vůbec 2: 3: 4: 5: silně | 8 (13,6 %) 11 (18,6 %) 6 (10,2 %) 5 (8,5 %) 2 (3,4 %) | 2 (3,7 %) 8 (14,8 %) 11 (20,4 %) 4 (7,4 %) 1 (1,9 %) | 10 (8,8 %) 19 (16,8 %) 17 (15,0 %) 9 (8,0 %) 3 (2,7 %) | 0,179 ³ |
| A9: Ekonomická situace rodiny | 1: vynikající 2: 3: 4: 5: velmi špatná chybějící hod. | 2 (3,4 %) 15 (25,4 %) 30 (50,8 %) 5 (8,5 %) 7 (11,9 %) | 1 (1,9 %) 12 (22,2 %) 35 (64,8 %) 6 (11,1 %) 0 (0,0 %) | 3 (2,7 %) 27 (23,9 %) 65 (57,5 %) 11 (9,7 %) 0 (0,0 %) | 0,351 ³ |

¹chi-kvadrát test, ²Fisherův exaktní test, ³Mann–Whitney test, n – počet, sd – směrodatná odchylka

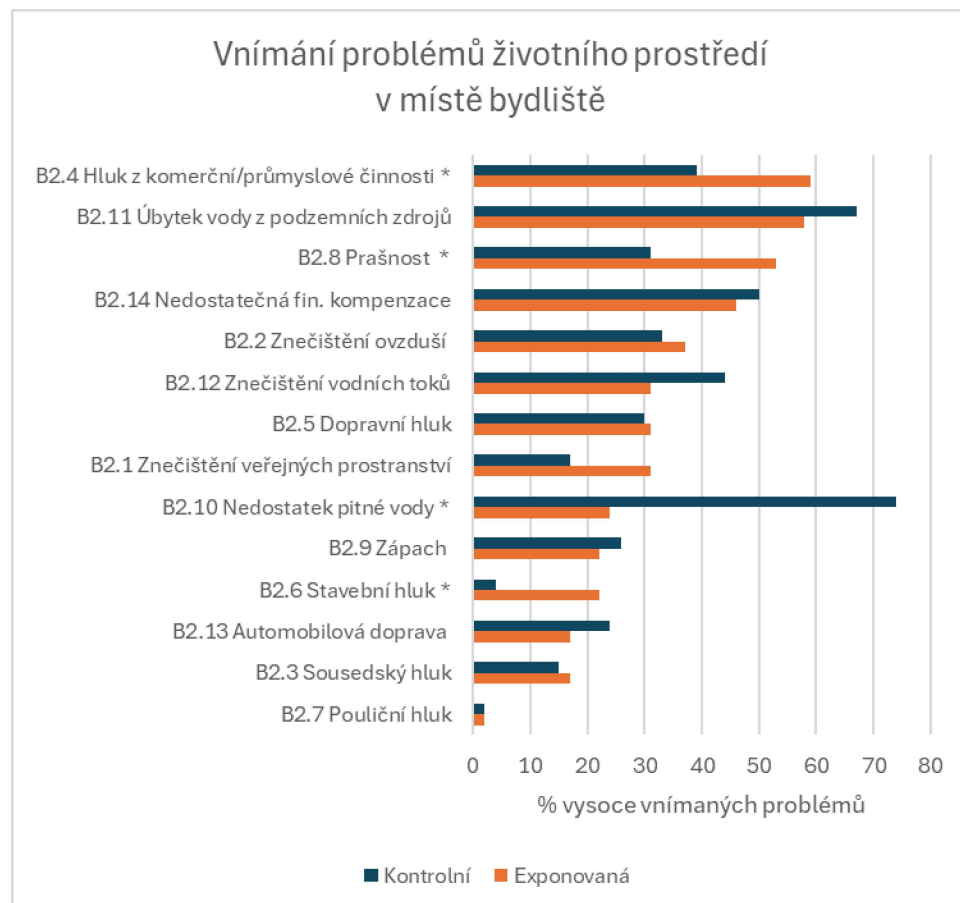
B – Vnímání rizik

Ze všeobecných problémů lidé z obou oblastí nejvíce vnímali zdražování energií, zdraví a drogovou závislost a problematiku AIDS – Obrázek č. 34. Statisticky významný rozdíl mezi oblastmi byl zjištěn u vnímání stavu podzemních vod a také problematiky větrných elektráren, oba tyto problémy lidé vnímali více v kontrolní oblasti. Obtěžování a rušení spánku hlukem vnímalo jako závažný problém celkem 42 % osob, ale mezi oblastmi nebyl zjištěn statisticky významný rozdíl – Tabulka č. 21.



Obrázek 34: Pořadí vnímání různých problémů dle oblasti

V okolí bydliště nejvíce trápí osoby z kontrolní oblasti nedostatek pitné vody, zde byl zjištěn statisticky významný rozdíl proti exponované populaci – Tabulka č. 21. V exponované oblasti nejvíce vnímají problém hluku z průmyslové/komerční činnosti, také stavební hluk a prašnost, u těchto problémů byl zjištěn statisticky významný rozdíl proti kontrolní oblasti – Obrázek č. 35, Tabulka č. 21.



Obrázek 35: Pořadí vnímání problémů životního prostředí v místě bydliště dle oblastí

Tabulka 21: Srovnání oblastí ve vnímání obecných problémů a problému životního prostředí (otázky B1 a B2)

| Duh problému | Oblast | Exponovaná (n = 59) | Kontrolní (n = 54) | p-hod.* |
|-----------------|---|------------------------|------------------------|--------------|
| | | Problém | % (95% IS) | |
| Obecné problémy | Drogová závislost, AIDS | 69 (56,1; 80,8) | 74 (60,3; 85,0) | 0,589 |
| | Konzumace alkoholu | 34 (22,1; 47,4) | 50 (36,1; 63,9) | 0,083 |
| | Kouření | 42 (29,6; 55,9) | 59 (45,0; 72,4) | 0,073 |
| | Zdraví | 76 (63,4; 86,4) | 69 (54,4; 80,5) | 0,356 |
| | Kvalita školství v místě bydliště | 20 (11,0; 32,8) | 33 (21,1; 47,5) | 0,118 |
| | Kvalita bydlení | 44 (31,2; 57,6) | 39 (25,9; 53,1) | 0,577 |
| | Ekonomická situace v ČR | 64 (50,9; 76,4) | 65 (50,6; 77,3) | 0,964 |
| | Stav životního prostředí v místě bydliště | 53 (39,1; 65,7) | 46 (32,6; 60,4) | 0,507 |
| | Nebezpečí epidemí infekčních nemocí | 51 (37,5; 64,1) | 37 (24,3; 51,3) | 0,140 |
| | Stav podzemních vod | 54 (40,8; 67,3) | 72 (58,4; 83,5) | 0,048 |
| | Nezaměstnanost | 20 (11,0; 32,8) | 31 (19,5; 45,6) | 0,176 |
| | Zdražování energií | 83 (71,0; 91,6) | 89 (77,4; 95,8) | 0,374 |
| | Obtěžování a rušení spánku hlukem | 46 (32,7; 59,2) | 37 (24,3; 51,3) | 0,347 |
| | Kvalita zdravotní péče v ČR | 46 (32,7; 59,2) | 43 (29,2; 56,8) | 0,735 |
| | Kvalita veřejné dopravy v místě bydliště | 29 (17,8; 42,1) | 30 (18,0; 43,6) | 0,924 |

ZDRAVOTNÍ ÚSTAV SE SÍDLEM V OSTRAVĚ

SOUHRNNÁ VÝZKUMNÁ ZPRÁVA projektu SS05010044 „PROBLEMATIKA HODNOCENÍ VZTAHU EXPOZICE-ODEZVA OSOB EXPONOVANÝCH V ŽIVOTNÍM PROSTŘEDÍ HLUKEM Z DŮLní ČINNOSTI“

| Duh problému | Oblast | Exponovaná (n = 59) | Kontrolní (n = 54) | p-hod.* |
|-------------------|--|------------------------|-----------------------|---------|
| | | % (95% IS) | % (95% IS) | |
| Životní prostředí | Kriminalita | 63 (49,1; 75,0) | 52 (37,8; 65,7) | 0,243 |
| | Migranti | 44 (31,2; 57,6) | 31 (19,5; 45,6) | 0,169 |
| | Větrné elektrárny | 14 (6,0; 25,0) | 33 (21,1; 47,5) | 0,013 |
| | Základní vybavenost v obci | 53 (39,1; 65,7) | 57 (43,2; 70,8) | 0,604 |
| | Světelné znečištění * | 33 (18,0; 51,8) | 19 (5,4; 41,9) | 0,086 |
| Duh problému | Znečištění veřejných prostranství | 31 (19,2; 43,9) | 17 (7,9; 29,3) | 0,085 |
| | Znečištění ovzduší v okolí bydliště | 37 (25,0; 50,9) | 33 (21,1; 47,5) | 0,661 |
| | Sousedský hluk | 17 (8,4; 29,0) | 15 (6,6; 27,1) | 0,757 |
| | Hluk z komerční/průmyslové činnosti | 59 (45,7; 71,9) | 39 (25,9; 53,1) | 0,030 |
| | Dopravní hluk | 31 (19,2; 43,9) | 30 (18,0; 43,6) | 0,919 |
| | Stavební hluk | 22 (12,3; 34,7) | 4 (0,5; 12,7) | 0,005 |
| | Pouliční hluk | 2 (0,0; 9,1) | 2 (0,0; 9,9) | 0,950 |
| | Prašnost v okolí bydliště | 53 (39,1; 65,7) | 31 (19,5; 45,6) | 0,024 |
| | Zápach v okolí bydliště | 22 (12,3; 34,7) | 26 (15,0; 39,7) | 0,628 |
| | Nedostatek pitné vody v místě bydliště | 24 (13,6; 36,6) | 74 (60,3; 85,0) | <0,001 |
| | Úbytek vody z podzemních zdrojů | 58 (44,1; 70,4) | 67 (52,5; 78,9) | 0,323 |
| | Znečištění vodních toků v okolí bydliště | 31 (19,2; 43,9) | 44 (30,9; 58,6) | 0,126 |
| | Automobilová doprava v okolí bydliště | 17 (8,4; 29,0) | 24 (13,5; 37,6) | 0,347 |
| | Nedostatečná fin. kompenzace | 46 (32,7; 59,2) | 50 (36,1; 63,9) | 0,652 |

% odpovědi 4 a 5 na škále 1-5 (1 = není problém, ..., 5 = závažný problém), IS - interval spolehlivosti, * otázka až v 2. šetření v roce 2023 (n = 33/21), * chí-kvadrát test pro dva výběry

Respondenti, kteří uvedli, že jsou obtěžováni hlukem z průmyslové činnosti na škále 3-5 (n = 80), uvedli, že nejčastěji se jedná o hučení a také, že hluk je proměnný v čase, ale statisticky významný rozdíl mezi oblastmi nebyl zjištěn – Tabulka č. 22. V exponované oblasti respondenti hodnotí hlukovou situaci za posledních 5 let jako významně horší proti kontrolní oblasti. Životní prostředí v místě bydliště pokládá jako problematické 66 % osob a o problematiku dolu Turów se zajímá 89 % osob jak ve sledované, tak kontrolní oblasti – Tabulka č. 22.

Tabulka 22: Srovnání doplňujících otázek na vnímání rizik (B3-B6) mezi oblastmi

| Oblast Proměnná | Kategorie | 1: Exponovaná (n = 59) | 2: Kontrolní (n = 54) | Celkem (n = 113) | p-hod. * |
|------------------------------|-----------------------|---------------------------|--------------------------|---------------------|--------------|
| B3 Zdroj hluku+ | dunění | 20 (42,6 %) | 11 (33,3 %) | 31 (38,8 %) | 0,405 |
| | hučení | 40 (85,1 %) | 25 (75,8 %) | 65 (81,3 %) | 0,292 |
| | pískání | 8 (17,0 %) | 2 (6,1 %) | 11 (13,8 %) | 0,311 |
| | rachot | 17 (36,2 %) | 6 (18,2 %) | 23 (28,8 %) | 0,080 |
| | proměnný | 30 (63,8 %) | 17 (51,5 %) | 47 (58,8 %) | 0,271 |
| B4 Hluková situace za 5 let | lepší | 3 (5,1 %) | 2 (3,7 %) | 5 (4,4 %) | |
| | stejná | 19 (32,2 %) | 32 (59,3 %) | 51 (45,1 %) | 0,011 |
| | horší | 37 (62,7 %) | 20 (37,0 %) | 57 (50,4 %) | |
| B5 ŽP - problematické řešení | ne | 16 (27,1 %) | 22 (40,7 %) | 38 (33,6 %) | |
| | ano | 43 (72,9 %) | 32 (59,3 %) | 75 (66,4 %) | 0,126 |
| | Místní zastupitelstvo | 14 (23,7 %) | 10 (18,5 %) | 24 (21,2 %) | 0,499 |
| | Krajské úřady | 12 (20,3 %) | 7 (13,0 %) | 19 (16,8 %) | 0,295 |
| | Vláda a instituce EU | 11 (18,6 %) | 12 (22,2 %) | 23 (20,4 %) | 0,637 |
| B6 Informace - Turów | Žádná ze jmenovaných | 11 (18,6 %) | 12 (22,2 %) | 23 (20,4 %) | 0,637 |
| | ne | 6 (10,2 %) | 6 (11,1 %) | 12 (10,6 %) | |
| | ano | 53 (89,8 %) | 48 (88,9 %) | 101 (89,4 %) | 0,871 |

+ Zdroj hluku byl zjišťován jen u osob, které hodnotily obtěžování hlukem (B2,4) na škále 3-5 (n = 47 exp./43 kontrolní)

C – Zdravotní stav

Subjektivně hodnotí svůj zdravotní stav respondenti jako dobrý a uspokojivý, mezi exponovanou a kontrolní oblastí nebyl zjištěn statisticky významný rozdíl (72,9 % vs. 85,1 %). Chronicke onemocnění se vyskytuje u 31 % osob. Ze zdravotních problémů/nemocí se nejčastěji vyskytuje vysoký krevní tlak a poruchy spánku. Ve výskytu vysokého TK byl zjištěn mezi oblastmi statisticky významný rozdíl ($p = 0,024$), vyšší výskyt byl v kontrolní oblasti (30,5 %) proti exponované oblasti (15,3 %). Fyzickou aktivitu hodnotí respondenti také převážně jako dobrou nebo průměrnou (73,5 %) – Tabulka č. 23.

Tabulka 23: Srovnání hodnocení zdravotního stavu a výskytu nemocí (C1-C4) mezi oblastmi

| Oblast Proměnná | Kategorie | 1: Exponovaná (n = 59) | 2: Kontrolní (n = 54) | Celkem (n = 113) | p-hod. |
|--|--------------------------------------|------------------------------|-----------------------------|---------------------|--------|
| C1: Zdrav. stav subjektivně kategorie | ar. průměr/medián (IQR) | 2,5/2 (2-3) | 2,5/3 (2-3) | 2,5/2,5 (2-3) | 0,562 |
| | 1: velmi dobrý | 4 (6,8 %) | 4 (7,4 %) | 8 (7,1 %) | 0,928 |
| | 2: dobrý | 23 (39,0 %) | 22 (40,7 %) | 45 (39,8 %) | |
| | 3: uspokojivý | 20 (33,9 %) | 24 (44,4 %) | 44 (38,9 %) | |
| | 4: špatný | 5 (8,5 %) | 4 (7,4 %) | 9 (8,0 %) | |
| | 5: velmi špatný | 0 (0,0 %) | 0 (0,0 %) | 0 (0,0 %) | |
| | chybějící odpověď | 7 (11,9 %) | 0 (0,0 %) | 7 (6,2 %) | |
| C2: Chronicke nemoci | 0: ano | 22 (37,3 %) | 13 (24,1 %) | 35 (31,0 %) | 0,129 |
| | 1: ne | 37 (62,7 %) | 41 (75,9 %) | 78 (69,0 %) | |
| C3: Onemocnění | KVO (infarkt, mrtvice...) | 2 (3,4 %) | 2 (3,4 %) | 2 (1,8 %) | 0,999 |
| | Vysoký krevní tlak | 9 (15,3 %) | 18 (30,5 %) | 27 (23,9 %) | 0,024 |
| | Diabetes II. typu | 4 (6,8 %) | 6 (10,2 %) | 10 (8,8 %) | 0,515 |
| | Migréna a jiné závažné bolesti hlavy | 5 (8,5 %) | 5 (8,5 %) | 10 (8,8 %) | 0,883 |
| | Poruchy spánku, nespavost | 10 (16,9 %) | 10 (16,9 %) | 20 (17,7 %) | 0,827 |
| | Deprese | 5 (8,5 %) | 3 (5,1 %) | 8 (7,1 %) | 0,719 |
| | Jiné (alergie, pohybové, ...) | 14 (23,7 %) | 13 (22,0 %) | 27 (23,9 %) | 0,966 |
| C4: Fyzická kondice | ar. průměr/medián (IQR): min.-max. | 2,6/3 (2-3) | 2,7/3 (2-3) | 2,6/3 (2-3) | 0,877 |
| kategorie | 1: velmi dobrá | 4 (6,8 %) | 3 (5,1 %) | 7 (6,2 %) | 0,683 |
| | 2: dobrá | 20 (33,9 %) | 20 (33,9 %) | 40 (35,4 %) | |
| | 3: průměrná | 19 (32,2 %) | 24 (40,7 %) | 43 (38,1 %) | |
| | 4: nepříliš dobrá | 9 (15,3 %) | 6 (10,2 %) | 15 (13,3 %) | |
| | 5: špatná | 0 (0,0 %) | 1 (1,7 %) | 1 (0,9 %) | |
| | chybějící odpověď | 7 (11,9 %) | 0 (0,0 %) | 7 (6,2 %) | |

D – Životní styl

Ve faktorech životního stylu nebyl zjištěn mezi oblastmi významný rozdíl. Za týden mají respondenti čas na své koníčky přibližně 14 hodin (medián). Méně než 6 hodin spí přibližně 15 % osob. Více než čtvrtina udává špatnou kvalitu spánku. Kouří kolem čtvrtiny osob a převažují klasické cigarety, 27 % již přestalo kouřit a 43 % jsou nekuřáci – Tabulka č. 24.

Tabulka 24: Srovnání vybraných faktorů životního stylu (D1-D4) mezi oblastmi

| Oblast Proměnná | Kategorie | 1: Exponovaná (n = 59) | 2: Kontrolní (n = 54) | Celkem (n = 113) | p-hod. |
|---------------------------------------|------------------------------------|---------------------------|-----------------------------|---------------------|--------|
| D1: Volný čas (hod./týden) | ar. průměr/medián (IQR) | 16,9/10 (5-25) | 26,9/15 (7-31,3) | 21,7/14 (5,5-30) | 0,078 |
| D2: Délka spánku | 1: Méně než 6 hodin | 6 (11,5 %) | 10 (18,5 %) | 16 (15,1 %) | 0,645 |
| | 2: 6-7 hodin včetně | 23 (44,2 %) | 25 (46,3 %) | 48 (45,3 %) | |
| | 3: 7-8 hodin včetně | 18 (34,6 %) | 16 (29,6 %) | 34 (32,1 %) | |
| | 4: Více než 8 hodin | 5 (9,6 %) | 3 (5,6 %) | 8 (7,6 %) | |
| D3: Kvalita spánku | 1: velmi dobrá | 4 (6,8 %) | 3 (5,1 %) | 7 (6,2 %) | 0,125 |
| | 2: spíše dobrá | 24 (40,7 %) | 17 (31,5 %) | 41 (36,3 %) | |
| | 3: spíše špatná | 2 (3,4 %) | 8 (14,8 %) | 10 (8,9 %) | |
| | 4: velmi špatná | 13 (22,0 %) | 9 (16,7 %) | 22 (19,5 %) | |
| | chybějící odpověď | 16 (27,1 %) | 12 (22,2 %) | 28 (24,8 %) | |
| D4: Kouření | 1: ano, pravidelně ≥1/den kl. cig. | 12 (20,3 %) | 9 (16,7 %) | 21 (18,6 %) | 0,321 |
| | 2: ano, pravidelně ≥1/den el. cig. | 4 (6,8 %) | 0 (0 %) | 4 (3,5 %) | |
| | 3: ano, příležitostně | 4 (6,8 %) | 5 (9,3 %) | 9 (8,0 %) | |
| | 4: ne, dříve jsem kouřil | 17 (28,8 %) | 14 (25,9 %) | 31 (27,4 %) | |
| | 5: ne, nikdy jsem nekouřil | 22 (37,3 %) | 26 (48,2 %) | 48 (42,5 %) | |

E – Spokojenost se životem/kvalita života

Kvalitu života subjektivně hodnotí jako dobrou 46 % osob v exponované oblasti, v kontrolní oblasti je toto procento statisticky významně vyšší (74 %). Časté kontakty s přáteli udržuje přibližně 80 % a problémové vztahy udává kolem 22 % osob. Největší problém jsou vztahy se sousedy (16 %) a vztahy v rodině (4 %) – Tabulka č. 25.

Tabulka 25: Kvalita života a jejich faktorů (E1-E3) ve sledovaných oblastech

| Oblast Proměnná | Kategorie | 1: Exponovaná (n = 59) | 2: Kontrolní (n = 54) | Celkem (n = 113) | p-hod. |
|-------------------------------------|---|---|--|--|--------|
| E1: Kvalita života | 1: velmi dobrá 2: dobrá 3: ani dobrá, ani špatná 4: špatná 5: velmi špatná chybějící odpověď | 4 (6,8 %) 29 (49,2 %) 15 (25,4 %) 4 (6,8 %) 0 (0 %) 7 (11,9 %) | 2 (3,7 %) 38 (70,4 %) 14 (25,9 %) 0 (0 %) 0 (0 %) 0 (0 %) | 6 (5,3 %) 67 (59,3 %) 29 (25,7 %) 4 (3,5 %) 0 (0 %) 7 (6,2 %) | 0,044* |
| E2: Časté kontakty s přáteli | 1: ano 2: ne | 46 (78,0 %) 13 (20,0 %) | 44 (81,5 %) 10 (18,5 %) | 90 (79,7 %) 23 (20,4 %) | 0,643 |
| E3: Problémové vztahy | 1: ano 2: ne | 11 (18,6 %) 48 (81,4 %) | 14 (25,8 %) 40 (74,1 %) | 25 (22,1 %) 88 (77,9 %) | 0,352 |

*testováno pro sloučené kategorie (1+2/zbytek)

Faktory ovlivňující kvalitu života a vnímání problémů spojených se životním prostředí

Cílem analýzy je zjistit, jaké faktory se podílejí na subjektivním hodnocení kvality života a vnímání vybraných faktorů životního prostředí.

Kvalita života byla hodnocena na 5stupňové škále, kdy velmi dobrou a dobrou kvalitu života (KŽ) uvedlo 64,6 % (0 – dobrá, 1 – ani dobrá/ani špatná a špatná). Na základě hrubého OR (Odds Ratio) bylo zjištěno, že v našem souboru KŽ ovlivňuje oblast. Šanci na horší KŽ mají osoby v exponované oblasti více než 2krát vyšší než v kontrolní oblasti, jedná se o statisticky významný vztah (Tab. 7). KŽ také ovlivňuje prašnost v okolí bydliště a chronické onemocnění. U chronického onemocnění je vztah na hranici statistické významnosti. Po adjustaci na všechny faktory již nebyly vztahy statisticky významné, ale OR vyšší než 2 zůstalo u oblasti a prašnosti v místě bydliště – Tabulka č. 26.

Tabulka 26: Faktory ovlivňující kvalitu života

| Kvalita života* | Hrubé OR OR (95% IS) | p-hod. | Adjustované OR OR (95% IS) | p-hod. |
|--------------------------------------|-------------------------|--------------|-------------------------------|--------|
| Exponovaná oblast | 2,25 (1,01-4,99) | 0,046 | 2,07 (0,87-4,90) | 0,099 |
| Ženy | 1,07 (0,49-2,31) | 0,872 | 1,04 (0,44-2,48) | 0,930 |
| Věk (roky) | 1,02 (1,00-1,05) | 0,045 | 1,02 (0,99-1,04) | 0,203 |
| SŠ s maturitou | 0,83 (0,37-1,88) | 0,659 | 0,89 (0,36-2,17) | 0,799 |
| VOŠ, VŠ | 0,42 (0,10-1,69) | 0,220 | 0,67 (0,14-3,21) | 0,612 |
| Žije bez partnera | 0,87 (0,38-1,97) | 0,739 | 1,03 (0,40-2,63) | 0,957 |
| Ek. aktivní | 0,64 (0,29-1,39) | 0,257 | 0,62 (0,25-1,52) | 0,292 |
| Chronické onemocnění | 2,26 (0,99-5,14) | 0,052 | 1,51 (0,60-3,83) | 0,381 |
| Stav podzemních vod (B1) | 0,83 (0,38-1,83) | 0,645 | 1,05 (0,43-2,57) | 0,916 |
| Hluk z průmyslové činnosti (B2) | 1,20 (0,55-2,60) | 0,643 | 0,99 (0,42-2,36) | 0,991 |
| Prašnost v okolí bydliště (B2) | 2,60 (1,18-5,73) | 0,018 | 2,16 (0,90-5,16) | 0,084 |
| Úbytek vody z podzemních zdrojů (B2) | 1,45 (0,64-3,26) | 0,369 | 1,68 (0,67-4,20) | 0,271 |
| Nedostatek pitné vody v m. (B2) | 0,61 (0,28-1,34) | 0,221 | 1,27 (0,46-3,55) | 0,645 |
| Nedostatečná fin. kompenzace (B2) | 1,34 (0,62-2,90) | 0,458 | 1,61 (0,67-3,90) | 0,288 |

*Kvalita života – 0: dobrá kvalita, obecká rizika (otázky B1) a rizika spojená s životním prostředím (B2) – kat. 4 a 5 – vnímáno negativně (1: riziko), OR – Odds Ratio, IS – interval spolehlivosti

Vnímání stavu podzemních vod jako závažný problém bylo hodnoceno v případě, že respondent odpověděl na 5stupňové škále známkou 4 nebo 5 (závažný nebo velmi závažný problém). U jediného faktoru (ze sledovaných faktorů), byl zjištěn statisticky významný vztah, a to u oblasti, kdy v exponované oblasti tento problém nebyl vnímán jako problémový. Po adjustaci tento vztah již nebyl statisticky významný – Tabulka č. 27.

Tabulka 27: Faktory ovlivňující vnímání rizika spojeného se stavem podzemních vod

| Stav podzemních vod (B1x10) | Hrubé OR | | Adjustované OR | |
|--------------------------------|-------------------------|--------------|------------------|--------|
| | OR (95% IS) | p-hod. | OR (95% IS) | p-hod. |
| Exponovaná oblast | 0,46 (0,21-1,00) | 0,050 | 0,44 (0,19-1,02) | 0,056 |
| Ženy | 1,11 (0,52-2,38) | 0,793 | 1,15 (0,49-2,67) | 0,748 |
| Věk (roky) | 1,00 (0,97-1,02) | 0,720 | 0,99 (0,96-1,01) | 0,292 |
| SŠ s maturitou | 1,20 (0,53-2,71) | 0,659 | 1,36 (0,56-3,30) | 0,489 |
| VOŠ, VŠ | 1,18 (0,34-4,06) | 0,794 | 1,41 (0,35-5,74) | 0,628 |
| Žije bez partnera | 0,78 (0,35-1,73) | 0,538 | 0,66 (0,27-1,64) | 0,371 |
| Ek. aktivní | 0,62 (0,29-1,35) | 0,233 | 0,59 (0,24-1,44) | 0,248 |
| Chronické onemocnění | 1,20 (0,52-2,76) | 0,671 | 1,75 (0,67-4,55) | 0,252 |

Hluk z průmyslové činnosti byl statisticky významně více vnímán jako problém v exponované oblasti, a tento vztah i po adjustaci o sledované faktory zůstal statisticky významný (OR = 2,24). Více tento problém vnímají ženy proti mužům, ale tento vztah nebyl statisticky významný – Tabulka č. 28.

ZDRAVOTNÍ ÚSTAV SE SÍDLEM V OSTRAVĚ

SOUHRNNÁ VÝZKUMNÁ ZPRÁVA projektu SS05010044 „PROBLEMATIKA HODNOCENÍ VZTAHU EXPOZICE-ODEZVA OSOB EXPONOVANÝCH V ŽIVOTNÍM PROSTŘEDÍ HLUKEM Z DŮLní ČINNOSTI“

Tabulka 28: Faktory ovlivňující vnímání rizika hluku z průmyslové činnosti

| Hluk z průmyslové činnosti (B2x4) | Hrubé OR | | Adjustované OR OR (95% IS) | p-hod. |
|--------------------------------------|-------------------------|--------------|-------------------------------|--------------|
| | OR (95% IS) | p-hod. | | |
| Exponovaná oblast | 2,29 (1,08-4,87) | 0,031 | 2,24 (1,01-4,99) | 0,048 |
| Ženy | 1,49 (0,71-3,13) | 0,297 | 1,55 (0,69-3,50) | 0,293 |
| Věk (roky) | 1,00 (0,98-1,02) | 0,716 | 1,00 (0,97-1,02) | 0,779 |
| SŠ s maturitou | 1,33 (0,60-2,93) | 0,480 | 1,10 (0,47-2,59) | 0,819 |
| VOŠ, VŠ | 1,18 (0,36-3,89) | 0,783 | 1,09 (0,29-4,18) | 0,895 |
| Žije bez partnera | 0,95 (0,44-2,06) | 0,897 | 0,77 (0,32-1,87) | 0,567 |
| Ek. aktivní | 0,84 (0,40-1,76) | 0,641 | 0,63 (0,27-1,48) | 0,289 |
| Chronické onemocnění | 0,94 (0,43-2,10) | 0,888 | 0,75 (0,30-1,89) | 0,543 |

Prašnost v okolí bydliště je vnímána statisticky významně více v exponované oblasti, a to i po adjustaci o sledované faktory (OR = 2,51). Více tento problém vnímají lidé s chronickým onemocněním, ale tento vztah nebyl statisticky významný – Tabulka č. 29.

Tabulka 29: Faktory ovlivňující vnímání rizika prašnosti v okolí bydliště

| Prašnost v okolí bydliště (B2x8) | Hrubé OR | | Adjustované OR | |
|-------------------------------------|-------------------------|--------------|-------------------------|--------------|
| | OR (95% IS) | p-hod. | OR (95% IS) | p-hod. |
| Exponovaná oblast | 2,41 (1,12-5,20) | 0,025 | 2,51 (1,11-5,68) | 0,027 |
| Ženy | 1,01 (0,48-2,14) | 0,973 | 1,13 (0,49-2,59) | 0,777 |
| Věk (roky) | 1,01 (0,99-1,03) | 0,543 | 1,00 (0,97-1,02) | 0,955 |
| SŠ s maturitou | 1,06 (0,48-2,33) | 0,893 | 0,88 (0,37-2,08) | 0,775 |
| VOŠ, VŠ | 0,51 (0,14-1,87) | 0,313 | 0,52 (0,12-2,25) | 0,384 |
| Žije bez partnera | 0,91 (0,42-2,00) | 0,821 | 0,94 (0,38-2,30) | 0,889 |
| Ek. aktivní | 0,55 (0,26-1,17) | 0,123 | 0,57 (0,24-1,35) | 0,199 |
| Chronické onemocnění | 2,01 (0,89-4,50) | 0,091 | 1,39 (0,56-3,50) | 0,479 |

Menší obavy spojené s **úbytkem vody z podzemních zdrojů** jsou spojeny u osob s vyšším věkem, naopak osoby s chronickým onemocněním tento problém vnímají jako více závažný proti osobám bez chronického onemocnění. Tyto vztahy byly významné v plně adjustovaném modelu – Tabulka č. 30.

Tabulka 30: Faktory ovlivňující vnímání rizika úbytku vody z podzemních zdrojů

| Úbytek vody z podzemních zdrojů (B2x11) | Hrubé OR | | Adjustované OR | |
|--|------------------|--------|-------------------------|--------------|
| | OR (95% IS) | p-hod. | OR (95% IS) | p-hod. |
| Exponovaná oblast | 0,68 (0,32-1,46) | 0,324 | 0,52 (0,22-1,19) | 0,122 |
| Ženy | 1,03 (0,48-2,21) | 0,934 | 0,88 (0,38-2,07) | 0,776 |
| Věk (roky) | 0,98 (0,96-1,00) | 0,073 | 0,96 (0,94-0,99) | 0,013 |
| SŠ s maturitou | 1,20 (0,53-2,71) | 0,659 | 1,28 (0,52-3,11) | 0,592 |
| VOŠ, VŠ | 0,87 (0,26-2,92) | 0,826 | 0,88 (0,22-3,54) | 0,859 |
| Žije bez partnera | 1,36 (0,61-3,07) | 0,454 | 1,09 (0,43-2,75) | 0,849 |
| Ek. aktivní | 0,79 (0,37-1,70) | 0,548 | 0,65 (0,26-1,62) | 0,358 |
| Chronické onemocnění | 1,52 (0,65-3,53) | 0,333 | 2,86 (1,06-7,71) | 0,037 |

Nedostatek pitné vody vnímají významně více obyvatel kontrolní oblasti proti exponované oblasti, další faktory se statisticky významně neprojevily, ale je vidět, že čím mají osoby vyšší vzdělání, vnímají tento problém více – Tabulka č. 31.

Tabulka 31: Faktory ovlivňující vnímání rizika nedostatku pitné vody v místě bydliště

| Nedostatek pitné vody v místě bydliště skb2x10 | Hrubé OR | | Adjustované OR | |
|---|-------------------------|------------------|-------------------------|------------------|
| | OR (95% IS) | p-hod. | OR (95% IS) | p-hod. |
| Exponovaná oblast | 0,11 (0,05-0,26) | <0,001 | 0,09 (0,03-0,24) | <0,001 |
| Ženy | 0,74 (0,35-1,54) | 0,417 | 0,52 (0,19-1,39) | 0,194 |
| Věk (roky) | 0,99 (0,97-1,01) | 0,374 | 0,98 (0,95-1,01) | 0,172 |
| SŠ s maturitou | 1,46 (0,66-3,22) | 0,354 | 2,23 (0,80-6,22) | 0,124 |
| VOŠ, VŠ | 1,87 (0,56-6,22) | 0,310 | 3,56 (0,71-17,99) | 0,124 |
| Žije bez partnera | 0,77 (0,35-1,69) | 0,517 | 0,50 (0,18-1,40) | 0,188 |
| Ek. aktivní | 0,63 (0,30-1,33) | 0,229 | 0,43 (0,16-1,15) | 0,092 |
| Chronické onemocnění | 0,53 (0,24-1,21) | 0,132 | 0,78 (0,26-2,32) | 0,658 |

5.3 Spolupráce s LF Ústavem hygieny – Univerzita Komenského Bratislava

Vzhledem k nízké návratnosti celého dotazníkového šetření kontaktovali autoři v rámci úzkých pracovních kontaktů s odborníky pracoviště LF Univerzity Komenského v Bratislavě, které se dlouhodobě věnuje hlukové problematice. Cílem bylo ověření validity připraveného dotazníku. V první fázi byl připraven překlad dotazníků do slovenštiny. A dále byly hledány možnosti otestování dotazníku přímo v terénu. Jednou z možností bylo realizovat dotazníkové šetření v okolí uzlů železniční nákladní dopravy jako alternativa průmyslového hluku. V roce 2023 ve spolupráci s Regionálným úřadem verejného zdravotnictva byly hledány další možnosti – zdroje průmyslového hluku. Ve finální fázi bylo rozhodnuto realizovat dotazníkové šetření v okolí průmyslové zóny Slovnaftu, a. s. se sídlem v Bratislavě. Z této oblasti jsou na hluk evidovány stížnosti obyvatel. V roce 2024 proběhlo dotazníkové šetření na území Bratislavы v exponované oblasti. A bylo provedeno srovnání odpovědí mezi exponovanou oblastí Turów a oblastí v Bratislavě (Slovnaft, a. s.).

5.3.1 Srovnání vnímání environmentálních problém obyvateli v oblasti Turów a Slovnaftu

Česká data pocházela z období 2022-2023 ze souboru respondentů v oblasti povrchového dolu Turów - Oblast 1, kde si obyvatelé dlouhodobě stěžovali především na hluk z důlní činnosti a úbytek spodních vod, slovenská data pochází z roku 2024 z okolí průmyslového podniku Slovnaft, a. s. - Oblast 2, kde obyvatelstvo trápí hluk a zápach z provozu rafinérie Slovnaft. Pro sběr dat byl použit hlukový dotazník a byly vyhodnocovány rozdíly vnímání rizika obecných a environmentálních problémů pomocí průměrů 5-bodové Likertovy škály. Rozdíly mezi zeměmi byly analyzovány Pearson chi-kvadrát testem a Kruskal-Wallis testem na 5procentní hladině významnosti. Při analýzách byl použit SW STATA v.17.

Studie se zúčastnilo celkem 59 respondentů v Oblasti 1 a 137 v Oblasti 2. Ze sociodemografických faktorů bylo jediným statisticky významným rozdílem vzdělání ($p < 0,001$) s převahou vzdělanějších respondentů v Bratislavě. Vnímání závažnosti obecných problémů se v obou oblastech lišilo, v Oblasti 1 bylo považováno za nejvýznamnější zdražování energií (průměrná hodnota 4,4), zdraví vlastní a rodiny (4,3), ekonomická situace (3,9) a drogová závislost a AIDS (3,9); v Oblasti 2 to byla kvalita zdravotní péče (3,8), ekonomická situace (3,7) a zdražování energií (3,7). Z výčtu obtěžujících problémů životního prostředí v Oblasti 1 dominoval hluk z průmyslové činnosti (3,6), úbytek vody z podzemních zdrojů (3,5) a prašnost v okolí bydliště (3,4), v Oblasti 2 znečištění ovzduší (3,6) a zápach v okolí bydliště (3,2), hluk z průmyslové činnosti (3,1) a znečištění veřejných prostranství (3,1). Mezi všemi problémy (tzn. obecnými i problémy životního

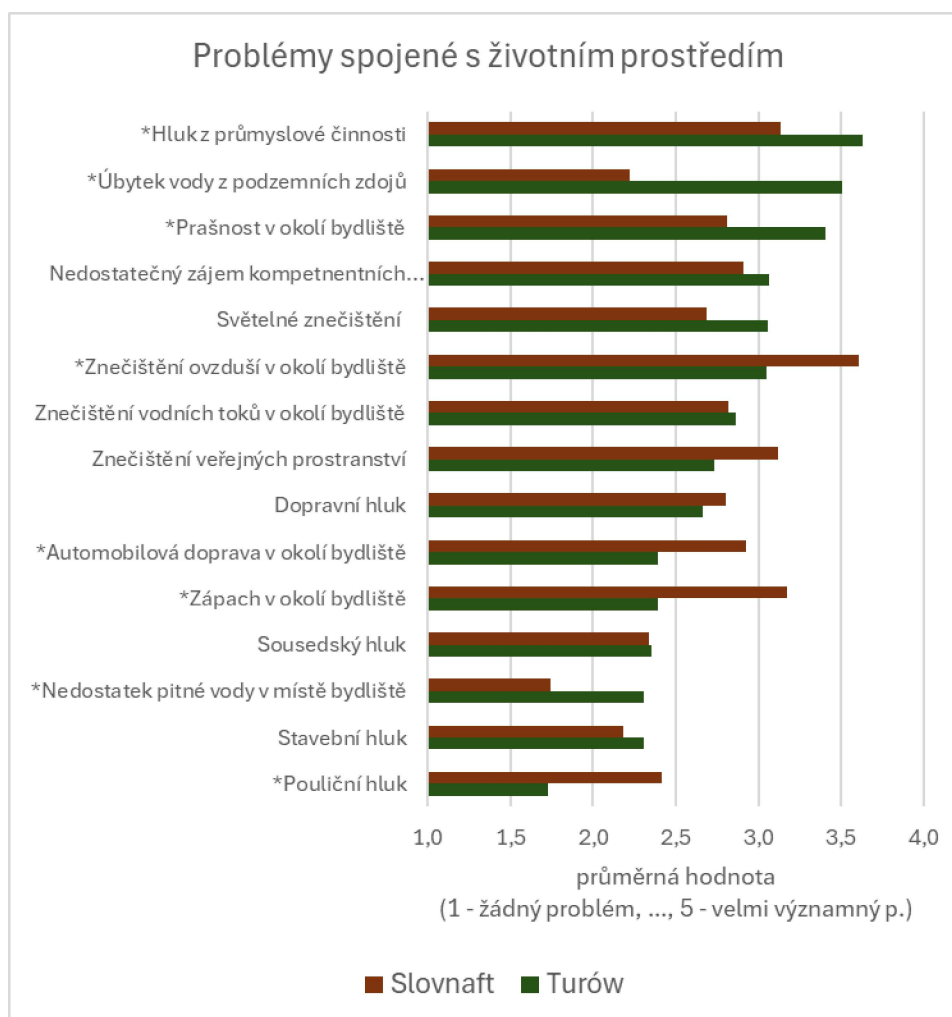
prostředí zaujímá hluk z průmyslové činnosti 6. místo v Oblasti 1, resp. 11. v Oblasti 2 a obtěžování a rušení spánku hlukem 14., resp. 13. místo – Obrázek č. 3.

Studie potvrdila předpokládané nejzávažnější problémy spojené s životním prostředím v obou oblastech.

Obecně lze říct, že se sledované oblasti liší v prioritách jednotlivých problémů, přičemž výsledky poukazují na specifické charakteristiky lokalit. V oblasti okolí dolu Turów převažuje vnímání environmentálních problémů přímo spojených s těžebními aktivitami, zatímco v oblasti rafinérie Slovnaft jsou vyšší hodnoty přisuzovány sociálním a ekonomickým otázkám.

Navzdory stížnostem obyvatel na hluk a úbytek spodních vod v okolí Turowa a na hluk a zápach v Bratislavě v okolí rafinérie Slovnaft je zřejmé, že aktuální společenské souvislosti silně ovlivňují míru, jakou daný problém vnímají ve chvíli výzkumu v porovnání s jinými problémy.

V okolí dolu Turów bylo v popředí zájmu zdražování energií a zdraví v souvislosti s pandemií Covid-19, v okolí rafinérie Slovnaft obavy ve vztahu ke kvalitě zdravotní péče a ekonomické situaci pravděpodobně souvisely s turbulentními politickými změnami v roce 2024.



Obrázek 36: Srovnání vnímání problémů životního prostředí v místě bydliště mezi oblastí v okolí Turowa a Slovnaftu a.s. (statisticky významné rozdíly mezi oblastmi)*

5.4 Socio-akustická studie – souhrn

V rámci projektu TA ČR SS05010044 bylo realizováno dotazníkové šetření v obcích zasažených činností povrchového dolu Turów (Uhelná, Oldřichov – n = 59) a v kontrolní obci (Václavice – n = 54), jehož cílem bylo zjistit faktory, které ovlivňují kvalitu života a vnímání faktorů životního prostředí (ŽP). Průměrný věk respondentů byl $51,1 \pm 18,4$ let, v dané lokalitě žijí v průměru 21 let. Dle pohlaví bylo zastoupeno 46 % mužů a 54 % žen. Třetina osob trpí některým chronickým onemocněním. Ekonomicky aktivních osob bylo 52 %, převládalo nižší (43 %) a středoškolské vzdělání s maturitou (45 %). Svou ekonomickou situaci hodnotilo 10 % osob jako špatnou, převládalo hodnocení průměrné (57,5 %). Z obecných problémů obyvatelé vnímají především ekonomickou situaci a zdraví, v kontrolní oblasti obyvatele znepokojuje významně více stav podzemních vod proti exponované oblasti (72 % vs. 54 %, p = 0,048). V rámci faktorů životního prostředí lidé v exponované oblasti především vnímají problém hluku spojeného s průmyslovou činností (59 % vs. 39 %, p = 0,030), prašnost (53 % vs. 31 %, p = 0,024) a také úbytek vody z podzemních zdrojů (58 % vs 67 %, p = 0,323). V kontrolní oblasti, kde není zaveden veřejný vodovod, převládají obavy o nedostatek pitné vody (24 % vs. 74 %, p < 0,001). Hlukovou situaci vnímá jako horší významně větší podíl osob z exponované oblasti (63 % vs. 37 %, p = 0,011). Kvalitu života hodnotí hůře v exponované oblasti, velmi dobrou až dobrou udává 46 % osob proti 74 % v kontrolní oblasti (p = 0,044). Na základě modelů logistické regrese (hrubé a adjustované OR – adjustace na věk, pohlaví, vzdělání, rodinný stav, ekonomickou aktivitu, chronické onemocnění, oblast, faktory ŽP) byly zjištovány faktory, které ovlivňují kvalitu života a vnímání vybraných faktorů životního prostředí. Kvalitu života negativně ovlivňuje bydlení v exponované oblasti, chronické onemocnění a také prašnost v místě bydliště, po adjustaci již tyto faktory nebyly významné. Vnímání faktorů ŽP je především ovlivněno oblastí, hluk z průmyslové činnosti je i po adjustaci statisticky významně závažněji vnímán v exponované oblasti proti kontrolní (OR = 2,24; 95% IS: 1,01-4,99) a podobně tomu bylo i u prašnosti (OR = 2,51; 95% IS: 1,11-5,68). Závěrem lze konstatovat, že kvalita života v oblasti exponované průmyslovou činností je hodnocena hůře proti kontrolní oblasti a hlavními negativními faktory ŽP je vnímám hluk z průmyslové činnosti a prašnost v okolí bydliště.

Největší limitací výsledků studie je neochota obyvatel zapojit se do dotazníkového průzkumu.

Na základě mezinárodní spolupráce lze konstatovat, že navržený dotazník, v rámci realizované socio-akustické studie, je vhodný nástroj pro identifikaci nejvíce vnímaných problémů, a to jak obecných, tak také problémů životního prostředí v okolí bydliště, ale vnímání je ovlivněno aktuální celospolečenskou situací.

6. Propojení výstupů socio-akustické studie a akustického modelu

6.1 Analýzy vztahu výstupů socio-akustické studie a výsledků měření – prostorová interpretace dat

Ke zjištění hlukové zátěže u jednotlivých obytných objektů byl vypracován akustický model šíření hluku z prostoru dolu (SW LimA v. 2019.3) v prostředí ArcGIS Pro na území o rozloze 20 km², které pokrývá lokalizaci zdrojů hlukové zátěže na polské straně a dotčené území na české straně. Model byl validován v 8 místech měření dlouhodobého monitoringu výpočtem hodnot $L_{Aeq,T}$, resp. L_n (dB) ve všech 3 zájmových lokalitách.

Na základě hodnot z modelu, kdy byla přiřazena hluková zátěž všem obytným budovám v obou oblastech, bylo možné srovnat hlukovou zátěž u osob zapojených do dotazníkového šetření a osob, které se do šetření nezapojily. Z tabulky č. 32 je vidět, že expozice se mezi zapojenými a nezapojenými osobami statisticky významně nelišila ($p = 0,385$ resp. $p = 0,210$).

Tabulka 32: Srovnání hlukové zátěže u osob zapojených/nezapojených do dotazníkového šetření dle oblastí

| Oblast | dotazník | Hluková zátěž (výstup modelu) | | | | | | p-hod. * |
|------------|----------|-------------------------------|--------|------------|------|------|------|----------|
| | | počet | medián | ar. průměr | sd | min. | max. | |
| Kontrolní | ne | 139 | 30,8 | 30,7 | 2,08 | 24,2 | 35 | 0,385 |
| | ano | 27 | 30,5 | 30,3 | 2,27 | 23,5 | 33,9 | |
| Exponovaná | ne | 82 | 35,6 | 35,9 | 2,52 | 30,1 | 43,1 | 0,210 |
| | ano | 34 | 35,4 | 35,2 | 2,17 | 31,1 | 38,7 | |

* Mann–Whitney test, sd – směrodatná odchylka

Následně byla provedena prostorová interpretace dat, kdy k nejvyšší vypočtené hodnotě L_n (dB) pro každý adresní bod ve sledovaném území byly přiřazeny informace z dotazníků (informace o rušení spánku hlukem). V tabulce č. 33 jsou respondenti zapojení do studie rozděleni dle hodnoty L_n a počtu osob, které označily rušení spánku stupněm 4 a 5 na stupnici 1-5 (HSD – highly sleep disturbed). Podíl osob s vysokým spánkem v exponované i kontrolní oblasti se v hlukových pásmech pohyboval od 0 do 100 %. Celkové % HSD v exponované oblasti bylo 46 % (95% IS 32,7-59,2 %) a v kontrolní 37 % (95% IS 23,8-50,4 %) pro vypočtené hodnoty $L_n < 40$ dB.

Tabulka 33: Podíl osob s vysokým spánkem hlukem v exponované a kontrolní oblasti podle počtu respondentů v jednotlivých hlukových pásmech

| L_n dB | Exponovaná oblast | | | | Kontrolní oblast | | | | Celkem |
|-------------|-------------------|-----|-------|--------|------------------|-----|-------|--------|--------|
| | nerušení | HSD | % HSD | Celkem | nerušení | HSD | % HSD | Celkem | |
| 24 | | | | | 0 | 1 | 100 | 1 | |
| 25 | | | | | 2 | 0 | 0 | 2 | |
| 28 | | | | | 4 | 0 | 0 | 4 | |
| 29 | | | | | 6 | 6 | 50 | 12 | |
| 30 | | | | | 8 | 2 | 20 | 10 | |
| 31 | 0 | 2 | 100 | 2 | 7 | 7 | 50 | 14 | |
| 32 | 2 | 1 | 33 | 3 | 4 | 4 | 50 | 8 | |
| 33 | 4 | 8 | 67 | 12 | 3 | 0 | 0 | 3 | |
| 34 | 2 | 4 | 67 | 6 | | | | | |
| 35 | 2 | 6 | 75 | 8 | | | | | |
| 36 | 6 | 1 | 14 | 7 | | | | | |

| L_n dB | Exponovaná oblast | | | | Kontrolní oblast | | | | Celkem |
|---------------|-------------------|-----|--------------------|--------|------------------|-----|----------------------|--------|--------|
| | nerušení | HSD | % HSD | Celkem | nerušení | HSD | % HSD | Celkem | |
| 37 | 9 | 0 | 0 | 9 | | | | | |
| 38 | 5 | 2 | 29 | 7 | | | | | |
| 39 | 2 | 3 | 60 | 5 | | | | | |
| Celkem | 32 | 27 | 46 | 59 | 34 | 20 | 37 | 54 | |
| 95% IS | | | 32,7-59,2 % | | | | 23,8 - 50,4 % | | |

HSD = vysoce rušený spánek, IS – interval spolehlivosti

V následujícím kroku byla vypočítána populační **atributivní frakce (AF)**, tj. podíl osob, jejichž rušení spánku je možno přičíst hlukové zátěži z expozice, tzn. hluku z důlní činnosti.

Výpočet AF vychází z tabulky č. 34

Tabulka 34: Výskyt HSD (kumulativní počty osob) dle výskytu rizikového faktoru (RF)

| RF/HSD | HSD+ | HSD- | Celkem |
|-------------------------|-----------|-----------|------------|
| Exponovaná oblast (RF+) | 27 (a) | 32 (b) | 59 |
| Kontrolní oblast (RF-) | 20 (c) | 34 (d) | 54 |
| Celkem | 47 | 66 | 113 |

Výpočet AF:

$$AF = \frac{P_{RF+}(RR - 1)}{P_{RF+}(RR - 1) + 1} = \frac{0,522 \cdot (1,236 - 1)}{0,522 \cdot (1,236 - 1) + 1} = 0,1095 \quad (10,95\%)$$

Kde

$$P_{RF+} = \frac{a + b}{a + b + c + d} = \frac{27 + 32}{27 + 32 + 20 + 34} = 0,522$$

$$RR = \frac{\frac{a}{c}}{\frac{b}{d}} = \frac{\frac{27}{59}}{\frac{32}{54}} = 1,236$$

Ze srovnání HSD v exponované a neexponované populaci, **podíl osob, jejich rušení spánku je možné přičíst hluku z důlní činnosti, je 10,95 % (95% IS -11,88; 33,79)**, ale tento odhad má velkou variabilitu.

6.2 Srovnání počtu osob s vysoce rušeným spánkem z exponované oblasti s odhady na základě standardní křivky ERF

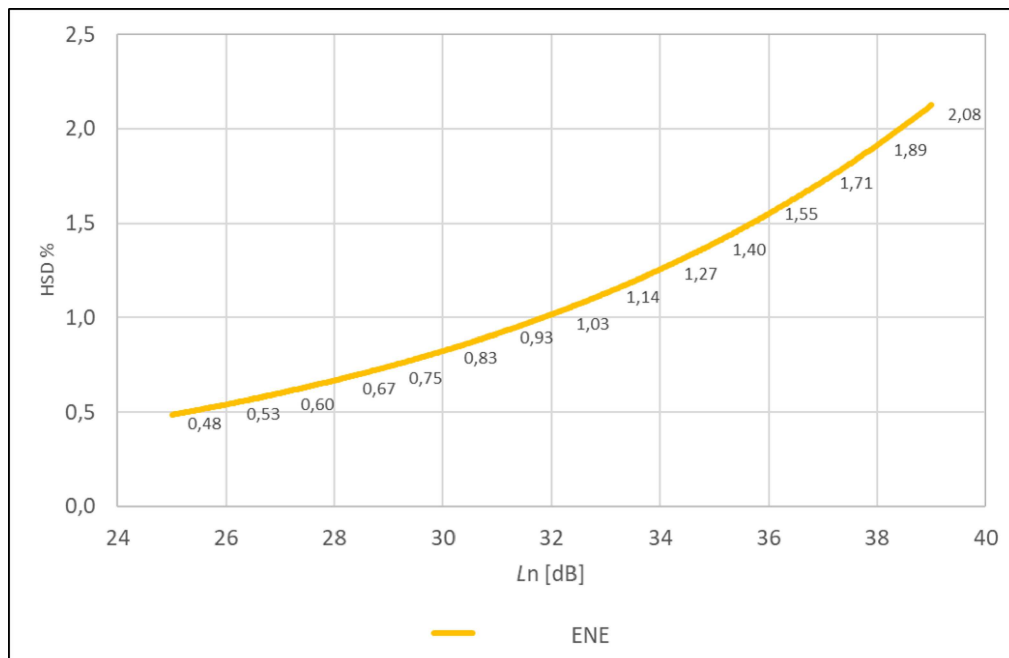
Výsledky šetření v exponované oblasti byly porovnány s výstupem zjištěným na základě standardní křivky ERF, publikované v Environmental Noise in Europe 2020, EEA Report No. 22/2019 (dále jen křivka ENE), která je pro běžné průmyslové zdroje dána rovnicí (1):

$$HSD = 1 - \text{normal} \left[\frac{(72 - (-90,70 + L_n) \times 1,80)}{\sqrt{1789 + 272}} \right] \quad (1)$$

HSD = vysoce rušený spánek

L_n = A-vážená dlouhodobá průměrná hladina akustického tlaku podle ISO 1996-2, stanovená po celou noční dobu roku.

Extrapolací byla získána křivka (Obrázek č. 35) vyjadřující odhad % HSD v závislosti expozice-odezva (ERF) pro stacionární (průmyslové) zdroje pro $L_n < 40$ dB.



Obrázek 37: Odhad % osob s vysoce rušeným spánkem v závislosti expozice-odezva (ERF) pro stacionární (průmyslové) zdroje pro $L_n < 40$ dB (křivka ENE (Environmental Noise in Europe 2020, EEA Report No. 22/2019))

Na základě uvedeného vztahu (rovnice 1) byl vypočten odhad % HSD pro exponované osoby zapojené do studie a pro všechny obyvatelé exponované oblasti dle přiřazení do jednotlivých pásem L_n , které jsou výstupem z modelu – Tabulka č. 35.

Na základě odhadu dle křivky ENE vychází počet HSD vlivem průmyslové činnosti na 1 osobu. Z celkového počtu exponovaných osob je odhadovaný počet přibližně 4. Na základě vypočtené AF pro $L_n < 40$ dB by počet HSD mohl dosahovat 7 osob z respondentů a až 24 osob z celkového počtu obyvatel ve věku 18 a více let, ale vzhledem k velké variabilitě odhadu způsobené nízkou návratností a také oblastmi s relativně malým počtem obyvatel jsou uvedené výsledky na základě AF zatíženy značkou nejistotou.

Tabulka 35: Odhad počtu osob HSD na základě křivky ENE a atributivní frakce pro exponovanou oblast

| L_n dB | Respondenti | Obyvatelé (18+ let) | %* | % HSD dle ENE | Odhad počtu osob HSD vlivem průmyslové činnosti dle ENE | |
|---------------|-------------|------------------------|-----------|---------------------|---|-------------|
| | | | | | Respondenti | Obyvatelé |
| 30 | 0 | 2 | 0 | 0,83 | 0,00 | 0,02 |
| 31 | 2 | 5 | 40 | 0,93 | 0,02 | 0,05 |
| 32 | 3 | 3 | 100 | 1,03 | 0,03 | 0,03 |
| 33 | 12 | 21 | 57 | 1,14 | 0,14 | 0,24 |
| 34 | 6 | 32 | 19 | 1,27 | 0,08 | 0,41 |
| 35 | 8 | 43 | 19 | 1,40 | 0,11 | 0,60 |
| 36 | 7 | 25 | 28 | 1,55 | 0,11 | 0,39 |
| 37 | 9 | 33 | 27 | 1,71 | 0,15 | 0,57 |
| 38 | 7 | 23 | 30 | 1,89 | 0,13 | 0,43 |
| 39 | 5 | 15 | 33 | 2,08 | 0,10 | 0,31 |
| 40 | 0 | 8 | 0 | 2,29 | 0,00 | 0,18 |
| 41 | 0 | 7 | 0 | 2,51 | 0,00 | 0,18 |
| 43 | 0 | 6 | 0 | 3,01 | 0,00 | 0,18 |
| Celkem | 59 | 223 | 26 | | 0,87 | 3,58 |

*% zapojených osob = respondentů z celkového počtu obyvatel ve věku 18 více let dle L_n

6.3 Doporučený postup pro odhad % HSD

Vzhledem k tomu, že křivka ENE byla sestavena pro odhad zdravotního rizika (HSD) pro běžné průmyslové zdroje a $L_n > 40$ dB, její explorační hodnoty $L_n < 40$ dB může být zatížena chybou.

Vyhodnocená atributivní frakce (AF) ze socio-akustické studie je zatížena značnou variabilitou.

Doporučený postup odhadu % HSD vychází z obou zmíněných nejistot a je navržen pro dvě varianty:

- 1) $L_n > 40$ dB je doporučeno odhad % HSD provést na základě křivky ENE (rovnice 1),
- 2) $L_n < 40$ dB je doporučeno odhadnout minimální % HSD na základě % HSD získaného extrapolací křivky ENE (obr. 1) pro $L_n < 40$ dB a maximální % HSD na základě AF = 10,9 %.

Výpočet absolutního počtu osob s vysoce rušeným spánkem bude vycházet:

- 1) pro $L_n > 40$ dB:
 - ze součtu osob vypočtených na základě % HSD dle křivky ENE (rovnice 1) pro každé decibelové pásmo,
- 2) pro $L_n < 40$ dB
 - ze součtu osob vypočtených na základě % HSD získaného extrapolací křivky ENE pro každé decibelové pásmo (minimální počet) a výpočtem na základě AF = 10,9 % (maximální počet).

7. Výstupy projektu

7.1 Hlavní výstupy/výsledky

1. SS05010044-V1 Metodika hodnocení vlivu hluku z důlní činnosti na exponované obyvatele

Tento výstup NmetS byl schválen v prodloužené době projektu Ministerstvem zdravotnictví ČR, hlavní hygieničkou s postavením vrchní ředitelky sekce ochrany a podporu veřejného zdraví MUDr. Barborou Mackovou, MHA dne 19. 3. 2025 pod č.j.: MZDR 7289/2025-2/OVZ (viz příloha v SISTA).

<https://www.hluk.nrl.cz/Content/files/Metodicke-navody/20250321-metodika-dulmet.pdf>

2. SS05010044-V2 Recenzovaný odborný článek – představení dosažených výsledků výzkumu

Tento výsledek Jost byl publikován v národním časopise Hygiena (viz příloha v SISTA).

Potužníková D, Hellmuth T, Kresl D, Junek P, Šlachtová H, Stanovská M, Tomášková H. Možnosti hodnocení vztahu expozice-odezva u osob exponovaných v životním prostředí hluku z důlní činnosti. Hygiena. 2024;69(4):120-129. doi: 10.21101/hygien.a1870.

<https://hygiena.szu.cz/pdfs/hyg/2024/04/02.pdf>

3. SS05010044-V3 Aktivní vystoupení na konferenci s mezinárodní účastí

Tento výsledek byl dosažen na XXX. Vedecko-odbornej konferencii s medzinárodnou účasťou „Životné podmienky a zdravie“, Kúpele Nový Smokovec, 23.-25. 9.2024 (viz příloha v SISTA).

4. SS05010044-V4 Souhrnná výzkumná zpráva

7.2 Prezentace a publikace nad rámec hlavních výstupů/výsledků

7.2.1 Publikace

1. Hellmuth T, Potužníková D, Kresl D: Problematika dlouhodobého monitoringu hluku z průmyslových zdrojů v hygienické praxi. XXVIII. vedecko-odborná konferencia s medzinárodnou účasťou Životné podmienky a zdravie, Kúpele Nový Smokovec, 26. - 28. 09. 2022 (https://www.fmed.uniba.sk/fileadmin/lf/sucasti/Teoreticke_ustavy/Ustav_hygieny/Webpic/Zborniky/ZPaZ_2023-1.pdf)
2. Stanovská M: Negativní vlivy důlní činnosti v oblasti Turów na život přilehlých obyvatel v ČR. Fyzikálne faktory prostredia (ročník XI. 02/2022 ISSN:1338-3922)
3. Stanovská M: Dopady důlní činnosti v oblasti Turów na život přilehlých obyvatel. Zborník vedeckých prác, Ed. Jurkovičová J, Štefániková Z, ÚH LF UK Bratislava, 2023. s. 77-84, ISBN 987-80-223-5676-3 (online) https://www.fmed.uniba.sk/fileadmin/lf/sucasti/Teoreticke_ustavy/Ustav_hygieny/Webpic/Zborniky/ZPaZ_2023-1.pdf
4. Potužníková D, Hellmuth T, Kresl D, Junek P: Výstupy dlouhodobého monitoringu hluku z dolu Turów. Česká akustická společnost, 103. Akustický seminář, Jičín 30.05. – 01.06.2023 <https://www.czakustika.cz/misc/seminare/103/sbornik103.pdf>
5. Stanovská M, Tomášková H, Šlachtová H, Potužníková D: Noise annoyance from mining in the Czech Republic.14th ICBEN Congress on Noise as a Public Health Problem, Belgrade, June 18-22, 2023, Proceedings /book of papers/

6. Stanovská M: Zkušenosti z terénního sběru dotazníků očima tazatelky. Životné podmienky a zdravie. Zborník vedeckých prác, Ed. Jurkovičová J, Štefániková Z, ÚH LF UK Bratislava, 2023. s. 291-296, ISBN 987-80-223-5676-3 (online)
https://www.fmed.uniba.sk/fileadmin/lf/sucasti/Teoreticke_ustavy/Ustav_hygiene/Webpic/Zbornik_y/ZPaZ_2023-1.pdf
7. Potužníková D, Hellmuth T, Kresl D, Junek P, Stanovská M, Šlachtová H, Tomášková H: Metodika hodnocení vztahu expozice-odezva osob exponovaných v životním prostředí hlukem z důlní činnosti. Zborník vedeckých prác, Ed. Jurkovičová J, Štefániková Z, ÚH LF UK Bratislava, 2024, s.10-18, ISBN 978-80-223-XXXX-X (online)
https://www.fmed.uniba.sk/fileadmin/lf/sucasti/Teoreticke_ustavy/Ustav_hygiene/Webpic/Zbornik_y/Zbornik_ZPaZ_2024.pdf
8. Stanovská M, Tomášková H, Šlachtová H, Potužníková D, Argalášová L: Health impact of environmental and industrial noise - a narrative review. Med Pr. 2024 Nov 28;75(5):425-431. doi: 10.13075/mp.5893.01491. Epub 2024 Oct 17. PMID: 39417331.
<https://doi.org/10.13075/mp.5893.01491>
9. Potužníková D, Hellmuth T, Kresl D, Junek P, Šlachtová H, Stanovská M, Tomášková H. Možnosti hodnocení vztahu expozice-odezva u osob exponovaných v životním prostředí hluku z důlní činnosti. Hygiena. 2024;69(4):120-129. doi: 10.21101/hygiena.a1870.
https://hygiena.szu.cz/cz/artkey/hyg-202404-0002_moznosti-hodnoceni-vztahu-expozice-odezva-u-osob-exponovanych-v-zivotnim-prostredi-hluku-z-dulni-cinnosti.php

7.2.2 Prezentace

1. **XXVIII. vedecko-odborná konferencia s medzinárodnou účasťou – Životné podmiENky a zdravie.** Kongresové centrum Kúpeľov Nový Smokovec, a. s. 26. –28. 9. 2022 Stanovská M: Dopady důlní činnosti v oblasti Turówa na život přilehlých obyvatel. (Praha, ČR)
2. **Konferencia Hodnotenie kvality prostredia,** hotel Kontakt, Stará Lesná 8.-10. 11. 2022 Stanovská M: Negativní vlivy důlní činnosti v oblasti Turówa na život přilehlých obyvatel v ČR
3. **Globální problémy veřejného zdravotnictví 2023,** ČR, Ostrava, 23.-24.2.2023 Stanovská M, Tomášková H, Šlachtová H, Potužníková D: Dopady důlní činnosti v oblasti Turówa na kvalitu života obyvatel
4. **8. celorepubliková porada hlukových odborníků KHS,** Rytířsko, 09.-11.05.2023 Potužníková D, Hellmuth T, Kresl D: Prezentace dosavadních výsledků projektu
5. **103. Akustický seminář,** Jičín 30.05. – 01.06.2023 Potužníková D, Hellmuth T, Kresl D, Junek P: Výstupy dlouhodobého monitoringu hluku z dolu Turów
6. **14th ICBEN Congress on Noise as a Public Health Problem,** Srbsko, Bělehrad, 18.-22.6.2023 Stanovská M: Noise annoyance from mining in the Czech Republic.
7. **XXIX. vedecko-odborná konferencia s medzinárodnou účasťou Životné podmienky a zdravie,** Slovensko, Nový Smokovec, 25.-27.9.2023 Stanovská M, Hellmuth T, Kresl D, Junek P, Stanovská M, Šlachtová H, Tomášková H: Metodika hodnocení vztahu expozice-odezva osob exponovaných v životním prostředí hlukem z důlní činnosti.

Stanovská M, Tomášková H, Šlachtová H, Potužníková D: Metodika hodnocení vztahu expozice-odezva osob exponovaných v životním prostředí hlukem z důlní činnosti. Část 2: Výsledky dotazníkového šetření ve sledovaných lokalitách při dolu Turów

Stanovská M, Šlachtová H, Argalášová L, Potužníková D, Tomášková H: Obtěžování průmyslovém hlukem – přehledová studie.

8. **5th Euro-Mediterranean conference for environmental integration**, Itálie, Rende, 2.-5.10.2023

Stanovská M, Šlachtová H, Argalášová L, Potužníková D, Tomášková H: Industrial noise annoyance – a narrative review (poster + abstrakt ve sborníku Springer)

Stanovská M, Šlachtová H, Argalášová L, Potužníková D, Tomášková H: Noise annoyance from mining activities of a foreign mine in the border area of the Czech Republic (poster + abstrakt ve sborníku Springer)

Slachtová H, Tomášková H, Zlotkowska R, Stanovská M, Mateja A, Madar R: Risk perception differences between the two states in the cross-border Silesian basin.

9. **Globální problémy veřejného zdravotnictví 2024**, Ostrava, 15.-16. 2. 2024 Tomášková H, Šlachtová H, Stanovská M, Potužníková D. Reliabilita dotazníku hodnotícího obtěžování hlukem z průmyslové činnosti

10. **9. CELOREPUBLIKOVÁ PORADA HLUKOVÝCH ODBORNÍKŮ KHS**, Rytířsko, 15.-17.05.2024

Potužníková D, Hellmuth, T, Kresl D: prezentace výsledků projektu DULMET TA ČR a konzultace a diskuse nad Metodikou s hygieniky

11. **6TH EMCEI (EURO-MEDITERRANEAN CONFERENCE FOR ENVIRONMENTAL INTEGRATION)**,

Marrakech, Maroko, 15-18 May, 2024

Tomášková H, Šlachtová H, Stanovská M, Argalášová L, Potužníková D: Reliability of the new risk perception questionnaire focusing on industrial noise

12. **XXX. Vedecko-odborná konferencia s medzinárodnou účasťou „ŽIVOTNÉ PODMIENKY A ZDRAVIE“**, Kúpele Nový Smokovec, 23.-25. 9.2024

Tomášková H, Šlachtová H, Stanovská M, Argalášová L, Potužníková D: Kvalita života obyvateľov žijúcich v blízkosti dolu Turów

Hellmuth T, Potužníková D, Kresl D, Junek P, Stanovská M: Metodika hodnocení vztahu expozice-odezva osob exponovaných v životním prostředí hlukem z důlní činnosti

13. **106. AKUSTICKÝ SEMINÁŘ**, Třešť, 14. – 16.10.2024

Hellmuth T, Kresl D, Potužníková D, Junek P: Zdravotní rizika expozice hluku z důlní činnosti

14. **GLOBÁLNÍ PROBLÉMY VEŘEJNÉHO ZDRAVOTNICTVÍ 2025**, Ostrava, 13.-14. 2. 2025

Tomášková H, Stanovská M, Šlachtová H, Potužníková D, Rams, Ondrusová V, Hirošová K, Krišáková M, Argalášová L: Vnímání environmentálních problémů ve dvou oblastech ČR a SR zatížených průmyslovým hlukem

8. Závěr

Pro hodnocení zdravotního rizika expozice hluku stacionárních zdrojů, konkrétně zjištění procenta osob s vysokým rušením spánku (HSD – High Sleep Disturbance) se obecně využívá analytický vztah závislosti expozice-odezva (ERF – Exposure Response Function) vyjadřující korelací mezi HSD (%) a dlouhodobou průměrnou ekvivalentní hladinou akustického tlaku v noční době L_n (dB). Tato závislost byla odvozena na základě objektivizace subjektivních hodnocení míry rušení spánku exponovaných osob použitím sociologických průzkumů využívajících validované dotazníky současně se zjištěním odpovídající hlukové expozice. Používá se v případě stacionárních zdrojů hluku, u kterých parametr L_n převyšuje 40 dB, a jedná se především o průmyslové provozy. Při konstrukci citované závislosti byly zohledněny různé typy stacionárních zdrojů hluku, nicméně je velmi nepravděpodobné, že byly zahrnuty i povrchové doly.

Úkolem výzkumného projektu TA ČR č. SS05010044 v rámci programu Prostředí pro život, s názvem „Metodika hodnocení vztahu expozice-odezva osob exponovaných v životním prostředí hlukem z důlní činnosti“, bylo proto zjistit, do jaké míry lze akceptovat citovanou standardní závislost v případě expozice obyvatel hluku z těžební činnosti povrchového dolu v podmírkách ČR.

Naměřené a také vypočtené hodnoty L_n v adresních bodech v exponovaných oblastech nepřekračovaly hodnotu 40 dB, což spolu s malým celkovým počtem exponovaných osob a nízkou návratností realizované socio-akustické studie neumožnilo proložit smysluplnou korelační křivku, která by mohla být porovnána s citovanou standardní křivkou závislosti %HSD vs. L_n .

S ohledem na uvedená zjištění byla vypracována Metodika, jejímž hlavním přínosem je:

- vlastní vytvoření metodiky pro dlouhodobý monitoring hluku, který dosud žádný Metodický návod Ministerstva zdravotnictví pro měření a hodnocení hluku v mimopracovním prostředí neřešil a neupravoval,
- ověření vytvořené metodiky pro dlouhodobý monitoring hluku v praxi v rámci realizace projektu včetně pilotní studie, tj. po dobu 4 let,
- doporučení pro sestavení výpočtového modelu včetně získání a přípravy vstupních dat pro vlastní výpočet,
- vytvoření dotazníku, doporučený postup realizace dotazníkového šetření, vyhodnocení dat a interpretace výsledků dotazníkového šetření,
- stanovení atributivní frakce pro vysoce rušený spánek (HSD) hlukem z důlní činnosti pro oblast $L_n < 40$ dB a doporučený postup odhadu % HSD pro hodnocení zdravotních rizik.

Realizací projektu a dosažením výstupů/výsledků bylo zcela naplněno zaměření programu Prostředí pro život a jeho 1. podprogramu.

Všechna hluková data, získaná v rámci dlouhodobého monitoringu v průběhu celého řešení projektu byla Ministerstvem životního prostředí využita zmocněncem České republiky při jednáních s Polskou republikou při výměně informací v průběhu plnění mezivládní dohody mezi vládou České republiky a vládou Polské republiky o spolupráci k řešení těžební činnosti v povrchovém hnědouhelném dole Turów. Tyto výsledky označuje MŽP při jeho roli v realizaci mezivládní dohody velmi důležité a nepostradatelné.

9. Literatura

- [1] SMETANA, C., HELLMUTH, T., JANDÁK, Z., JIŘÍČEK, O., KOZÁK, J., KRAHULEC, J., LIBERKO, M., MELLER, M., MILLEROVÁ, J. SCHWARZ, J. ŠULC, J. a VOTÝPKA, B.. *Hluk a vibrace, měření a hodnocení*. Praha : Sdělovací technika, 1998. ISBN 80-901936-2-5.
- [2] NOVÝ, R. *Hluk a chvění*. Praha : Česká technika – nakladatelství ČVUT, 2009. ISBN 978-80-01-04347-9.
- [3] HELLMUTH, T., POTUŽNÍKOVÁ, D., JUNEK, P., FIALA, Z. *Obtěžování hlukem: zdravotní problém nebo akustický komfort? Hygiena*. 2016, 61(1), 33-35. DOI: 10.21101/hygien.a1439. ISSN 18026281.
- [4] WORLD HEALTH ORGANIZATION. *Environmental Noise Guidelines for the European Region. [online]*. Copenhagen. WHO Regional Office for Europe. 2018.
<http://www.euro.who.int/en/publications/abstracts/environmental-noise-guidelines-for-the-european-region-2018>
- [5] SENSOGUT, C., CINAR, I.: *An empirical model for the noise propagation in open cast mines – A case study*. Appl. Acoust. 2007, 68, 1026–1035.
- [6] DEGAN, G., CIGNA, C., LIPPIELLO, D., LOVERA A, E., PATRUCCO, M., PINZARI, M.: *A simplified measurement and analysis approach for the assessment of the environmental noise from mining activities*. 2. Inter Noise 2005, 1567-1576.
- [7] PATHAK, K.: *Modelling and prediction of environmental noise levels near mechanized surface mines and quarries*. PhD thesis, Imperial college of science technology and medicine royal school of mines, London, October 1996.
- [8] PATHAK, K., DURUCAN, S., KUNIMATSU, S.: *Activity Accounting Technique for Environmental Noise Assessment in Mechanized Surface Mining*. Environmental Monitoring and Assessment, Environmental Monitoring and Assessment. ISSN: 1573-2959, Červen 1999.
- [9] LILIC, N., CVJETIC, A., MILISAVLJEVIC, V., PANTELIC, U., KOLONJA, L.: *Environmental noise management in the area of opencast mines*. Tehnika, 72. 47- 52.10.5937/tehnika1701047L, 2017.
- [10] LILIC, N., CVJETIC, A., MILISAVLJEVIC, V., PANTELIC, U.: *Dust and Noise Environmental Impact Assessment and Control in Serbian Mining Practice. Minerals*. ISSN 2075-163X, 2018.
- [11] Kontynuacja eksploatacji złoża węgla brunatnego Turów, Raport o oddziaływaniu na środowisko. Zpráva EIA, 2018.
- [12] Metodický návod MZ-HH, Věstník MZ ČR částka 11/2017, ze dne 18.10.2017, pro měření a hodnocení hluku v mimopracovním prostředí.
- [13] Metodický návod MZ-HH, Věstník MZ ČR částka 14/2023, ze dne 25.10.2023, pro měření a hodnocení hluku v mimopracovním prostředí.
- [14] Nařízení vlády č. 272/2011 Sb., o ochraně zdraví před nepříznivými účinky hluku a vibrací, ve znění nařízení vlády č. 433/2022 Sb. Sbírka zákonů ČR, 2022 prosinec 23; částka 196.
- [15] GJESTLAND, T. *Measuring Community Response to Noise—Factors Affecting the Results of Annoyance Surveys*. International Journal of Environmental Research and Public Health. 2024; 21(4):420. <https://doi.org/10.3390/ijerph21040420>

10. Použité zkratky a označení

| | |
|---------------|--|
| AF | atributivní frakce |
| ČSÚ | Český statistický úřad |
| EEA | European Environment Agency |
| EIA | Environmental Impact Assessment |
| ENE | Environmental Noise in Europe |
| ERF | Exposure - Response Function |
| HSD | High Sleep Disturbance |
| IS | interval spolehlivosti |
| KŽ | kvalita života |
| $L_{Aeq,16h}$ | ekvivalentní hladina akustického tlaku A, denní doba |
| $L_{Aeq,8h}$ | ekvivalentní hladina akustického tlaku A, noční doba |
| $L_{Aeq,T}$ | ekvivalentní hladina akustického tlaku A |
| L_d | hlukový ukazatel, indikátor pro denní dobu |
| L_n | hlukový ukazatel, indikátor pro noční dobu |
| L_v | hlukový ukazatel, indikátor pro večerní dobu |
| MM | místo měření |
| MTT | technické místo měření |
| MZ | Ministerstvo zdravotnictví |
| MŽP | Ministerstvo životního prostředí |
| n | počet osob v souboru |
| OR | Odds Ratio (poměr šancí) |
| p | p-hodnota (výsledek statistického testování) |
| SEA | Strategic Environmental Assessment |
| sd | směrodatná odchylka |
| TA ČR | Technologická agentura ČR |

11. Seznam obrázků a tabulek

11.1 Seznam obrázků

| | |
|---|----|
| Obrázek 1: Situace dolu Turów [11] | 8 |
| Obrázek 2: Situace obytné zástavby na území ČR s vyznačenými místy měření (MO, MU, TMP) a se zakreslenou státní hranicí a nejbližší hranou Dolu Turów před rozšířením (zdroj: www.mapy.cz) | 9 |
| Obrázek 3: Profil Oldřichov na Hranicích (zdroj: www.mapy.cz)..... | 11 |
| Obrázek 4: Profil Oldřichov na Hranicích – nejvyšší patra dolu (zdroj: www. mapy.cz)..... | 11 |
| Obrázek 5: Profil Uhelná – nejvyšší patra dolu (zdroj: www. mapy.cz)..... | 11 |
| Obrázek 6: Situace místa měření MO (zdroj: www.mapy.cz)..... | 12 |
| Obrázek 7: Situace místa měření MU (zdroj: www.mapy.cz)..... | 13 |
| Obrázek 8: Situace místa měření TMP (zdroj: www.mapy.cz) | 13 |
| Obrázek 9: Situace nového místa měření MU (zdroj: www.mapy.cz) | 14 |
| Obrázek 10: Reakce 1 minutových hladin $L_{Aeq,T}$ (červená křivka) a LA90 (modrá křivka) na krátkodobé rušivé události – štěkot psa | 16 |
| Obrázek 11: Ukázka průběhu akustického tlaku ve vybraném Bloku a odpovídající hladina $L_{Aeq,T}$ (40,4 dB), L_{A90avg} (39,2 dB) | 16 |
| Obrázek 12: Příklad grafu třetinooktavového frekvenčního spektra..... | 17 |
| Obrázek 13: Časově synchronizovaná (čas na ose x) prezentace časového průběhu hladin akustického tlaku (vlevo) a odpovídajícího spektrogramu (vpravo) | 18 |
| Obrázek 14: Frekvenční spektrum zvuku cvrčků – zvýšené hladiny v úzké oblasti vysokých frekvencí s maximem v pásmu $f_t = 10\text{kHz}$ | 18 |
| Obrázek 15: Frekvenční spektrum hluku Dolu Turów – výrazný pokles (cut-off) frekvencí od $f_t = 1600\text{ Hz}$, absence velmi nízkých frekvencí je dána i rozsahem měřící techniky..... | 19 |
| Obrázek 16: Frekvenční spektrum zvuku deště – vyrovnané spektrum až do vysokých frekvencí $f_t = 8\text{ kHz}$. Absence velmi nízkých frekvencí je dána i rozsahem měřící techniky..... | 19 |
| Obrázek 17: Frekvenční spektrum zvuku deště s výskytem velmi nízkých frekvencí způsobených větrem | 20 |
| Obrázek 18: Frekvenční spektrum hluku pozadí neovlivněného Dolem Turów, deštěm a větrem – přibližně lineární pokles hladin v oblasti vyšších frekvencí..... | 20 |
| Obrázek 19: Koláčový graf jako příklad zobrazení úhlového rozložení akustické energie. Osa výšeče směruje ke zdroji hluku. Červená výšeče reprezentuje směr s největším příspěvkem akustické energie do daného místa, zelená s nejmenším..... | 21 |
| Obrázek 20: Příklad triangulace na základě směrovosti na místech MO (vlevo) a MU (vpravo) (zdroj: www.mapy.cz)..... | 21 |
| Obrázek 21: Třetinooktavové spektrum akustického signálu z vnitřního prostoru č.p. 4, Uhelná | 27 |
| Obrázek 22: Třetinooktavové spektrum akustického signálu z vnitřního prostoru č.p. 100, Oldřichov na Hranicích | 27 |
| Obrázek 23: Souhrnné údaje o četnosti směru větru za celý monitoring pro obě MM za celé měření v roce 2022..... | 29 |
| Obrázek 24: Souhrnné údaje o četnosti směru větru za celý monitoring pro obě MM za celé měření v roce 2023..... | 29 |
| Obrázek 25: Souhrnné údaje o četnosti směru větru za celý monitoring pro obě MM za celé měření v roce 2024..... | 29 |
| Obrázek 26: Vizualizace vytvořeného digitálního model reliéfu na polské straně území..... | 31 |
| Obrázek 27: Umístění TMM na leteckém snímku (mapy.cz) | 32 |
| Obrázek 28: Znázornění výstupu modelu hlukové zátěže | 33 |
| Obrázek 29: Umístění velkých zdrojů hluku v dole Turów v průběhu validačního měření..... | 34 |
| Obrázek 30: Umístění TMM na leteckém snímku (mapy.cz) | 35 |
| Obrázek 31: Znázornění jednoho z výstupů zpřesněného modelu hlukové zátěže | 36 |
| Obrázek 32: Znázornění jednoho z výstupů prostorové interpretace naměřených dat hlukové zátěže | 37 |
| Obrázek 33: Hluková zátěž z provozu povrchového dolu Turów | 37 |
| Obrázek 34: Pořadí vnímání různých problémů dle oblastí..... | 45 |
| Obrázek 35: Pořadí vnímání problémů životního prostředí v místě bydliště dle oblastí..... | 46 |
| Obrázek 36: Srovnání vnímání problémů životního prostředí v místě bydliště mezi oblastí v okolí Turowa a Slovnaftu a.s. (* statisticky významné rozdíly mezi oblastmi)..... | 55 |

Obrázek 37: Odhad % osob s vysoce rušeným spánkem v závislosti expozice-odezva (ERF) pro stacionární (průmyslové) zdroje pro Ln <40 dB (krivka ENE (Environmental Noise in Europe 2020, EEA Report No. 22/2019)) 59

11.2 Seznam tabulek

| | |
|--|----|
| Tabulka 1: Těžební zařízení provozovaná v dole Turów v roce 2022 [11] | 9 |
| Tabulka 2: Použité přístroje a zařízení k dlouhodobému monitoringu v roce 2022 | 14 |
| Tabulka 3: Použité přístroje a zařízení k dlouhodobému monitoringu v roce 2023 | 14 |
| Tabulka 4: Použité přístroje a zařízení k dlouhodobému monitoringu v roce 2024 | 15 |
| Tabulka 5: Přehled objektů pro krátkodobé měření hluku | 22 |
| Tabulka 6: Místo měření MO – naměřené průměrné časově vážené hodnoty hladin akustického tlaku A v roce 2022 | 24 |
| Tabulka 7: Místo měření MU – naměřené průměrné časově vážené hodnoty hladin akustického tlaku A v roce 2022 | 24 |
| Tabulka 8: Místo měření MO – naměřené průměrné časově vážené hodnoty hladin akustického tlaku A v roce 2023 | 25 |
| Tabulka 9: Místo měření MU – naměřené průměrné časově vážené hodnoty hladin akustického tlaku A v roce 2023 | 25 |
| Tabulka 10: Místo měření MO – naměřené průměrné časově vážené hodnoty hladin akustického tlaku A v roce 2024 | 25 |
| Tabulka 11: Místo měření MU – naměřené průměrné časově vážené hodnoty hladin akustického tlaku A v roce 2024 | 26 |
| Tabulka 12: Naměřené průměrné časově vážené hodnoty hladin akustického tlaku A (nezohledněna nejistota $\pm 1,8$ dB) | 26 |
| Tabulka 13: Výsledky modelových výpočtů a jejich srovnání s naměřenými hodnotami | 32 |
| Tabulka 14: Přehled velkých zdrojů hluku v dole Turów v průběhu validačního měření | 34 |
| Tabulka 15: Výsledky modelových výpočtů a jejich srovnání s naměřenými hodnotami | 35 |
| Tabulka 16: Počet trvale obydlených budov, počet obyvatel a obyvatel starších 15 let v obcích zájmového území | 39 |
| Tabulka 17: Počty ne-respondentů dle oblastí | 41 |
| Tabulka 18: Hlavní důvody nezájmu zapojit se do dotazníkového šetření | 41 |
| Tabulka 19: Počty osob zapojených v jednotlivých dotazníkových studiích | 42 |
| Tabulka 20: Srovnání oblastí v sociodemografických charakteristikách (otázky A) | 43 |
| Tabulka 21: Srovnání oblastí ve vnímání obecných problémů a problému životního prostředí (otázky B1 a B2) | 46 |
| Tabulka 22: Srovnání doplňujících otázek na vnímání rizik (B3-B6) mezi oblastmi | 48 |
| Tabulka 23: Srovnání hodnocení zdravotního stavu a výskytu nemocí (C1-C4) mezi oblastmi | 49 |
| Tabulka 24: Srovnání vybraných faktorů životního stylu (D1-D4) mezi oblastmi | 50 |
| Tabulka 25: Kvalita života a jejich faktorů (E1-E3) ve sledovaných oblastech | 51 |
| Tabulka 26: Faktory ovlivňující kvalitu života | 52 |
| Tabulka 27: Faktory ovlivňující vnímání rizika spojeného se stavem podzemních vod | 52 |
| Tabulka 28: Faktory ovlivňující vnímání rizika hluku z průmyslové činnosti | 53 |
| Tabulka 29: Faktory ovlivňující vnímání rizika prašnosti v okolí bydliště | 53 |
| Tabulka 30: Faktory ovlivňující vnímání rizika úbytku vody z podzemních zdrojů | 53 |
| Tabulka 31: Faktory ovlivňující vnímání rizika nedostatku pitné vody v místě bydliště | 54 |
| Tabulka 32: Srovnání hlukové zátěže u osob zapojených/nezapojených do dotazníkového šetření dle oblastí | 57 |
| Tabulka 33: Podíl osob s vysoce rušeným spánkem hlukem v exponované a kontrolní oblasti podle počtu respondentů v jednotlivých hlukových pásmech | 57 |
| Tabulka 34: Výskyt HSD (kumulativní počty osob) dle výskytu rizikového faktoru (RF) | 58 |
| Tabulka 35: Odhad počtu osob HSD na základě krivky ENE a atributivní frakce pro exponovanou oblast | 60 |

Přílohy

ID respondenta

štítek

Dotazník můžete vyplnit v tištěné podobě nebo načíst QR kód a vyplnit online. V obou případech najdete další pokyny na konci tohoto dotazníku.

Každý člen domácnosti starší 18 let vyplňuje jeden dotazník.



A Všeobecná část

A1-A3 Základní demografické údaje

| | | | |
|----|---------|---|------|
| A1 | Pohlaví | 1 | muž |
| | | 2 | žena |

| | | |
|----|------------------|--|
| A2 | Váš rok narození | |
|----|------------------|--|

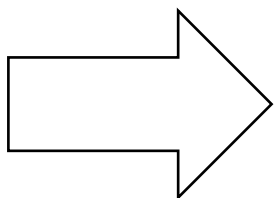
| | | | |
|----|--------------|---|--------------------|
| A3 | Rodinný stav | 1 | svobodný/á |
| | | 2 | ženatý/vdaná |
| | | 3 | partnerské soužití |
| | | 4 | rozvedený/á |
| | | 5 | vдovec/vдova |

A4-A7 Vzdělání, pracovní aktivita a ekonomická situace

| | | |
|----|---------------------------------|--|
| A4 | Vaše nejvyšší dosažené vzdělání | |
| | 1 | Základní (i neukončené) |
| | 2 | Vyučen, střední odborné bez maturity |
| | 3 | Středoškolské s maturitou (všeobecné i odborné) |
| | 4 | Vyšší odborné (pomaturitní, DiS) |
| | 5 | Vysokoškolské a vyšší (Bc., Mgr., Ing., Ph.D...) |

| | |
|----|---|
| A5 | Vaše sociální postavení a současná ekonomická aktivita |
| | <i>Uveďte všechny odpovídající možnosti</i> |
| 1 | V zaměstnaneckém poměru |
| 2 | Soukromý podnikatel/OSVČ/svobodné povolání |
| 3 | V domácnosti (včetně rodičovské dovolené) |
| 4 | Trvale pečující o osobu blízkou |
| 5 | Důchodce (starobní/invalidní) |
| 6 | Nezaměstnaný |
| 7 | Ostatní (<i>upřesněte</i>) |

Otázka pro ekonomicky aktívni (A5 odpověď 1 nebo 2)



| | |
|----|---|
| A6 | Kde převážně vykonáváte Vaši pracovní činnost ? |
| | 1 V bytě/domě |
| | 2 V místě bydliště (v obci) |
| | 3 Mimo obec (za prací dojízdím) |

| | | | | | | |
|----|--|---------------------------|---|---|---|-------------------------|
| A7 | Do jaké míry Vaše práce ovlivňuje Váš zdravotní stav ? | | | | | |
| | Prosíme, označte číslo vyjadřující Váš názor od 1 do 5 | 1 neovlivňuje vůbec | 2 | 3 | 4 | 5 silně ovlivňuje |

| | | | | | | |
|----|--|-----------------|---------------------|-----------------|-------------|----------------------|
| A8 | Jak byste hodnotil/a ekonomickou situaci své rodiny ? | | | | | |
| | Prosíme, označte číslo vyjadřující Váš názor | 1 Vynikající | 2 Velmi dobrá | 3 Uspokojivá | 4 Špatná | 5 Velmi špatná |

B Vnímání rizik

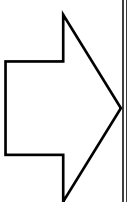
B1 Vnímání závažnosti různých rizik

| | | | | | | |
|----|--|---|---|---|---|---|
| | Za jak závažné považujete následující problémy? Prosíme, označte v každém řádku křížkem ve sloupci podle závažnosti problému | 1 | 2 | 3 | 4 | 5 |
| B1 | (1-nezávažné vůbec/neřeším,, 5-velmi závažné) | | | | | |
| 1 | Drogová závislost, AIDS | | | | | |
| 2 | Konzumace alkoholu | | | | | |
| 3 | Kouření tabákových výrobků (cigaret, doutníků, dýmek) | | | | | |
| 4 | Zdraví (mé vlastní zdraví, zdraví mých dětí) | | | | | |
| 5 | Kvalita školství v místě bydliště | | | | | |
| 6 | Kvalita mého bydlení | | | | | |
| 7 | Ekonomická situace v ČR | | | | | |
| 8 | Stav životního prostředí v místě bydliště | | | | | |
| 9 | Nebezpečí epidemií infekčních nemocí | | | | | |
| 10 | Stav podzemních vod | | | | | |
| 11 | Nezaměstnanost | | | | | |
| 12 | Zdražování energií | | | | | |
| 13 | Obtěžování a rušení spánku hlukem | | | | | |
| 14 | Kvalita zdravotní péče v ČR | | | | | |
| 15 | Kvalita veřejné dopravy v místě bydliště | | | | | |
| 16 | Kriminalita | | | | | |
| 17 | Migranti | | | | | |
| 18 | Větrné elektrárny | | | | | |
| 19 | Základní vybavenost v obci | | | | | |
| 20 | Světelné znečištění (rušivé osvětlení noční oblohy) | | | | | |

B2 Vnímání problémů životního prostředí v místě bydliště

| | | | | | | |
|----|--|---|---|---|---|---|
| B2 | V každém řádku označte číslo, vyjadřující do jaké míry Vás v okolí Vašeho bydliště obtěžují následující problémy život. prostředí: (1 – vůbec ne/neřeším, 5 - velmi silně) | 1 | 2 | 3 | 4 | 5 |
| 1 | znečištění veřejných prostranství | | | | | |
| 2 | znečištění ovzduší v okolí bydliště | | | | | |
| 3 | sousedský hluk | | | | | |
| 4 | hluk pocházející z komerční/průmyslové činnosti | | | | | |
| 5 | dopravní hluk | | | | | |
| 6 | stavební hluk | | | | | |
| 7 | pouliční hluk | | | | | |
| 8 | prašnost v okolí bydliště | | | | | |
| 9 | zápach v okolí bydliště | | | | | |
| 10 | nedostatek pitné vody v místě bydliště | | | | | |
| 11 | úbytek vody z podzemních zdrojů | | | | | |
| 12 | znečištění vodních toků v okolí bydliště | | | | | |
| 13 | automobilová doprava v okolí bydliště | | | | | |
| 14 | nedostatečná finanční kompenzace činnosti Turówa | | | | | |

Doplnění informací k otázce B2, bod d) – pokud jste odpověděli hodnotou 3-5



| | | | |
|--|---|-----|----|
| B3 | Jste schopen/a určit zdroj hluku , který Vás obtěžuje? | 1 | 2 |
| | | Ano | Ne |
| Uveďte, jak tento obtěžující hluk vnímáte | | | |
| Označte všechny odpovídající možnosti | | | |
| 1 | dunění | | |
| 2 | hučení | | |
| 3 | pískání | | |
| 4 | rachot | | |
| 5 | je proměnný v čase | | |
| 6 | jinak – uveďte | | |

| | | | | |
|----|--|-------|--------|-------|
| B4 | Jak byste hodnotil/a hlukovou situaci v místě bydliště v průběhu posledních 5 let? | | | |
| | Prosíme, označte číslo vyjadřující Váš názor | 1 | 2 | 3 |
| | | Lepší | Stejná | Horší |

B5 Důvěra k příslušným institucím v oblasti životního prostředí

| | | | |
|--|--|-----|----|
| B5 | Považujete životní prostředí v místě Vašeho bydliště za problematické? | 1 | 2 |
| | | Ano | Ne |
| Pokud ano, označte instituci, která se dle Vašeho názoru nejvíce zasadí o řešení problému? | | | |
| 1 | Místní zastupitelstvo | | |
| 2 | Krajské úřady | | |
| 3 | Vláda a instituce EU | | |
| 4 | Žádná ze jmenovaných | | |

B6 Zájem o informace týkající se dolu Turów

| | | | |
|----|---|-----|----|
| B6 | Sledujete aktuální informace o vývoji situace a jednání o dolu Turów? | Ano | Ne |
|----|---|-----|----|

C Zdravotní stav

C1 Subjektivní hodnocení zdravotního stavu

| | | | | | | |
|----|---|-------------|-------|------------|--------|--------------|
| C1 | Jak celkově hodnotíte svůj zdravotní stav? | | | | | |
| | Prosíme, označte číslo vyjadřující Váš názor | 1 | 2 | 3 | 4 | 5 |
| | | Velmi dobrý | Dobrý | Uspokojivý | Špatný | Velmi špatný |

C2-C3 Výskyt onemocnění, léčba

| | | | |
|----|---|-----|----|
| C2 | Trápí Vás nějaké chronické onemocnění? | Ano | Ne |
|----|---|-----|----|

| | | |
|----|---|--|
| C3 | Léčíte se s některým onemocněním nebo poruchou zdraví? | |
| | <i>Označte všechny odpovídající možnosti</i> | |
| 1 | Kardiovaskulární onemocnění (infarkt, mrtvice...) | |
| 2 | Vysoký krevní tlak (hypertenze) | |
| 3 | Diabetes (cukrovka) II. typu | |
| 4 | Migréna a jiné závažné bolesti hlavy | |
| 5 | Poruchy spánku, nespavost | |
| 6 | Deprese | |
| 7 | Jiné – uveděte: | |

| | | | | | | | | | | | | |
|--------------|--|--|-----------------|---------|---|---|---|--------------|--------|-----------|-----------------|---------|
| C4 | Jak hodnotíte svou fyzickou kondici ? | | | | | | | | | | | |
| | Prosíme, označte číslo vyjadřující Váš názor | <table border="1" style="margin-left: auto; margin-right: auto;"> <tr> <td>1</td> <td>2</td> <td>3</td> <td>4</td> <td>5</td> </tr> <tr> <td>Velmi dobrou</td> <td>Dobrou</td> <td>Průměrnou</td> <td>Nepříliš dobrou</td> <td>Špatnou</td> </tr> </table> | 1 | 2 | 3 | 4 | 5 | Velmi dobrou | Dobrou | Průměrnou | Nepříliš dobrou | Špatnou |
| 1 | 2 | 3 | 4 | 5 | | | | | | | | |
| Velmi dobrou | Dobrou | Průměrnou | Nepříliš dobrou | Špatnou | | | | | | | | |

D Životní styl

| | | |
|----|--|--|
| D1 | Kolik hodin volného času průměrně týdně máte opravdu jen pro sebe a své záliby? | |
| | <i>Uveďte počet hodin:</i> | |

| | | |
|----|---|----------------------------|
| D2 | Kolik hodin v průměru denně spíte? | <i>Uveďte počet hodin:</i> |
| | 1 | Méně než 6 hodin |
| | 2 | 6-7 hodin včetně |
| | 3 | 7-8 hodin včetně |
| | 4 | Více než 8 hodin |

| | | | | | |
|----|--|-------------|-------------|--------------|--------------|
| D3 | Jak byste obecně hodnotil/a kvalitu svého spánku za poslední měsíc? | 1 | 2 | 3 | 4 |
| | | Velmi dobrá | Spíše dobrá | Spíše špatná | Velmi špatná |

| | | | | | | |
|----|---|---|--|--|--|--|
| D4 | Kouříte cigarety, doutníky, dýmky? | | | | | |
| | 1 | ano, pravidelně denně alespoň 1 a více klasických cigaret | | | | |
| | 2 | ano, pravidelně denně alespoň 1 a více elektronických cigaret | | | | |
| | 3 | ano, příležitostně | | | | |
| | 4 | ne, dříve jsem kouřil, ale přestal jsem | | | | |
| | 5 | ne, nikdy jsem nekouřil | | | | |

E Spokojenost se životem/kvalita života

| | | | | | | |
|----|--|------------|---------------------------|-------------|-------------------|--|
| E1 | Jak byste ohodnotil/a kvalitu svého života? * Prosíme, označte číslo vyjadřující Váš názor | | | | | |
| | 1 Velmi dobrá | 2 Dobrá | 3 Ani dobrá ani špatná | 4 Špatná | 5 Velmi špatná | |

*Celkové zhodnocení spokojenosti zahrnuje životní podmínky a prostředí, ve kterém žijete, práci, volný čas a vykonávání každodenních aktivit, zdravotní stav, finanční a ekonomickou situaci, rodinné a sociální zázemí, osobní vztahy atd.

E2-E4 Kvalita sociálních kontaktů

| | | | |
|----|-------------------------------------|-----|----|
| E2 | Udržujete časté kontakty s přáteli? | Ano | Ne |
|----|-------------------------------------|-----|----|

| | | | |
|----|--|-----|----|
| E3 | Jsou některé Vaše vztahy k okolí problémové ? | Ano | Ne |
|----|--|-----|----|

Otázka pro respondenty, kteří uvedli, že mají i některé problematické vztahy

| | | |
|----|---|-----------------------|
| E4 | Které své vztahy považujete za problematické ? <i>Uvedte i více možných odpovědí</i> | |
| | 1 | Na pracovišti |
| | 2 | V rodině |
| | 3 | V partnerském soužití |
| | 4 | V okruhu přátel |
| | 5 | V místě bydliště |

F Délka bydliště ve sledované obci

| F1 | Ve které ze sledovaných obcí bydlíte? | Označte křížkem |
|----|---------------------------------------|-----------------|
| | Oldřichov na Hranicích | |
| | Uhelná | |
| | Václavice | |

| | | | |
|----|--|-----|----|
| F2 | Zapojil/a jste se do dotazníkového šetření už v loňském roce (2022)? | Ano | Ne |
|----|--|-----|----|

**Toto je konec dotazníku.
Děkujeme za jeho vyplnění.**

Nyní je důležité, aby se řešitelům projektu vrátil kromě vyplněného dotazníku i Vámi podepsaný **Informovaný souhlas s vyplněním Vaší identifikace a souhlasu s účastí ve studii. Platí i pro ty, kteří vyplnili online.**

Papírový dotazník a Informovaný souhlas (při vyplnění online pouze Informovaný souhlas) můžete předat pověřenému pracovníkovi.

Děkujeme za spolupráci, o výsledcích Vás budeme informovat prostřednictvím časopisu Hrádecko.

Poznámky:

| |
|--|
| |
| |
| |

T
A
Č
R

Program **Prostředí pro život**

Tento projekt je spolufinancován se státní podporou
Technologické agentury ČR a Ministerstva životního
prostředí v rámci programu **Prostředí pro život**



OSTRAVSKÁ UNIVERZITA
LÉKAŘSKÁ FAKULTA

ID ne-respondenta

Dotazník pro ne-respondenty

| N1 | Místo trvalého bydliště | číslo domu |
|----|-----------------------------|------------|
| | 1 Hrádek nad Nisou – Uhelná | |
| | 2 Oldřichov na Hranicích | |
| | 3 Václavice u Hrádku | |

| | | |
|----|--|--|
| N2 | Nemám zájem zapojit se do dotazníkového šetření z následujících důvodů: | |
| | <i>Zakroužkujte všechny odpovídající možnosti</i> | |
| | 1 | Nezajímá mě téma |
| | 2 | Nemám čas |
| | 3 | Obávám se, že nebude zachována anonymita |
| | 4 | Vadí mi medializace problematiky Túrowa |
| | 5 | Nedostatečná finanční motivace |
| | 6 | Problém v lokalitě není hluk |
| | 7 | Problém Túrowa v lokalitě není významný |
| | 8 | Ostatní (<i>upřesněte</i>) _____ |

| | | | |
|----|---------|---|------|
| N3 | Pohlaví | 1 | muž |
| | | 2 | žena |

| | |
|----|--------------|
| N4 | Věk |
| | 1 18-30 let |
| | 2 31-60 let |
| | 3 nad 60 let |